

IMPLEMENTERING AV MASKINSYN FOR MONTERING AV FASADEPLATER

Remi Bendiksen Askeland

Veileder

Professor Geir Hovland

Masteroppgaven er gjennomført som ledd i utdanningen ved Universitetet i Agder og er godkjent som del av denne utdanningen. Denne godkjenningen innebærer ikke at universitetet inntår for de metoder som er anvendt og de konklusjoner som er trukket.

Forord

Denne avhandlingen er et produkt av kurset MAS500, Masteroppgave i mekatronikk ved Universitetet i Agder (UiA). Kurset går over et semester og er kreditert 30 studiepoeng. Prosjektet ser på implementering av maskinsyn for montering av fasadeplater. Motivasjonen bak dette prosjektet er et samarbeid mellom Universitetet i Agder og MacGregor Norway AS.

Jeg ønsker å takke alle som har bidratt med sin ekspertise under prosjektperioden. Første takk går til professor Geir Hovland, for jevnlig veiledning og hjelp under arbeidet med avhandlingen. Vil takke lab assistent Erind Ujkani for sin ekspertise innen C++ og OpenCV under perioden. Takk til Beckhoff Norge som har vært til stor hjelp med sin gode kundesupport. Ønsker også å takke MacGregor og UiA for tildeling av en spennende og utfordrende oppgave samt for samarbeidet under perioden. Til slutt ønsker jeg å takke Phd. Kandidat Sondre Sanden Tørdal som var til stor hjelp under avhandlingsperioden med sin ekspertise innen robotikk og maskinsyn.



Remi B. Askeland

26.01.2018

Universitetet i Agder, Grimstad

Sammendrag

Effektivisering av byggebransjen har fått mye oppmerksomhet de siste årene. MacGregor i samarbeid med Universitetet i Agder vil bruke kran- og løfteteknologi til å effektivisere enkelte byggeprosesser. Fasadeplater brukes mye på grunn av enkel installasjon og krever minimalt med vedlikehold. Prosessen assosiert med installasjon har et automatiserings potensiale.

Denne avhandlingen ser på implementering av maskinsyn for montering av fasadeplater. Montering blir utført med en ABB IRB6600 industrirobot og et vakuumverktøy. Maskinsynet er basert på OpenCV biblioteket og C++. Hovedkomponentene i kontrollsystemet er en Beckhoff CX2040 Embedded-PC, Basler acA2500 kamera og Techspec 4mm linse.

Maskinsynet er bygget opp med OpenCV algoritmer som lokaliserer og estimerer fasadeplatens lokasjon. Maskinsynet brukes også til å plassere fasadeplaten ut fra allerede monterte plater. Utfordringene i avhandlingen var kalibrering av linse og kamera for å fjerne geometrisk forvrenging forårsaket av linsen. Gjentatte tester viser god ytelse i senter av kamera og mindre tilfredsstillende resultater andre steder i kameraets synsfelt.

Beckhoff CX2040 brukes som hovedkontroller i systemet og styrer inngang- og utgangssignaler, systemlogikk, maskinsyn og HMI. Kontrolleren viser seg å takle enkle maskinsyn-oppgaver og fungerte utmerket under avhandlingens periode.

Summary

The construction industry has seen a surge in efficiency and automation solutions in recent years. MacGregor, in cooperation with the University of Agder want to use crane and lifting technology to streamline construction processes. Facade panels are widely used due to ease of installation and require minimal maintenance. The process associated with installation has an automation potential.

This thesis looks at the implementation of machine vision for installation of facade panels. Installation is done using a ABB IRB6600 industrial robot and a vacuum tool. The machine vision is based on OpenCV and C++. The main components of the control system are a Beckhoff CX2040 Embedded-PC, Basler acA2500 camera and a Techspec 4mm lens.

The machine vision is developed using OpenCV algorithms that locate and estimate the position of the facade panels. The machine vision is also used to install the facade panels according other objects on the wall. The challenges were the calibration of lens and camera to remove geometric distortion. Repeated testing shows good performance in the center of the camera and less sufficient results elsewhere in the camera's field of view.

The Beckhoff CX2040 is used as the main controller in the system. It controls input and output signals, system logic, machine vision and HMI. The controller turns out to handle simple machine vision tasks and worked excellent during the dissertation period.

Innholdsfortegnelse

Forord.....	i
Sammendrag	ii
Summary	iii
Tabeller	vi
Figurer.....	vii
Forkortelser	ix
1 Introduksjon	1
1.1 Oppgavebeskrivelse	2
1.2 Avhandlingens oppbygging.....	2
2 Teori.....	3
2.1 Maskinsyn	3
2.1.1 Kamera.....	3
2.1.2 Kameramodellen	4
2.1.3 Kamerakalibreing.....	5
2.1.4 Bildebehandling	7
2.1.5 Konturer	10
2.1.6 Posisjonsestimering.....	11
2.1.7 OpenCV	12
2.2 Kontrollsystem	14
2.2.1 Programmerbar logisk styring.....	14
2.2.2 Beckhoff.....	15
2.3 Kommunikasjon	17
2.3.1 Internett protokoller	17
2.3.2 Andre protokoller.....	18
2.4 Robot.....	19
2.4.1 ABB IRB 6600.....	19
2.4.2 Kalibrering av verktøy	20
2.4.3 Øye-hånd kalibrering	22
2.5 Kinematikk	23
2.5.1 Homogen transformasjon.....	23
2.5.2 Rotasjonsmatrise og Euler vinkler	24

3	Metode	26
3.1	System	26
3.2	Maskinsyn	28
3.2.1	Kamera og linse	28
3.2.2	Kamera kalibrering	29
3.2.3	Bilde behandling	30
3.2.4	Kinematikk.....	33
3.3	Kontrollsystem	35
3.3.1	Implementering av CX2040 Embedded PC.....	35
3.3.2	Oppbygging av PLS logikk.....	37
3.3.3	HMI.....	39
3.3.4	Avstandsmåling.....	43
3.4	Kommunikasjon	44
3.4.1	TCP/IP.....	45
3.4.2	ADS.....	46
3.5	Kalibrering av robot	47
3.5.1	Verktøy kalibrering	47
3.5.2	Øye-hånd kalibrering	48
4	Resultat	49
4.1	Kalibrering	49
4.1.1	Kamera kalibrering	49
4.1.2	Verktøy kalibrering.....	51
4.1.3	Øye-hånd kalibrering	52
4.2	Maskinsyn	53
4.2.1	Bildebehandling	53
4.2.2	Repeterbare av maskinsyn	55
4.2.3	Tidsforbruk og ressursforbruk	60
5	Diskusjon	62
6	Konklusjon.....	64
7	Referanser	65
8	Vedlegg.....	69
A.	Masteroppgave MAS500, høst 2017:.....	
B.	I/O liste.....	
C.	Koblingsskjema.....	
D.	Kode	

Tabeller

Tabell 2.1 OpenCV moduler.....	13
Tabell 3.1 Basler aAC2500 kamera	28
Tabell 4.1 Resultater fra kamera kalibrering	50
Tabell 4.2 Resultater av verktøysenter kalibrering	51
Tabell 4.3 Resultat av øye-hånd kalibrering	52
Tabell 4.4 Tidsbruk maskinsyn.....	60

Figurer

Figur 2.1 Hullkameramodellen	4
Figur 2.2 Matematisk hullkameramodell [3]	4
Figur 2.3 Pikksele representasjon	7
Figur 2.4 Grenseverdi operasjon	7
Figur 2.5 Bimodal fordeling	8
Figur 2.6 Otsu grenseverdi metode	8
Figur 2.7 Nabolagsoperasjon	9
Figur 2.8 Gaussisk filter	9
Figur 2.9 Illustrasjon av konturalgoritme	10
Figur 2.10 Posisjonsestimering [10]	11
Figur 2.11 OpenCV struktur	12
Figur 2.12 Beckhoff internstruktur	15
Figur 2.13 TCP/IP	17
Figur 2.14 ABB IRB 6600	19
Figur 2.15 Koordinatsystemer [23]	20
Figur 2.16 Manuell kalibrering	21
Figur 2.17 Bulls Eye Kalibrering	21
Figur 2.18 Øye hånd kalibrering	22
Figur 2.19 Representasjon av punkt P i forskjellige koordinat rammer	23
Figur 3.1 Platehåndterings verktøy	26
Figur 3.2 Robotcelle	27
Figur 3.3 Platelager	27
Figur 3.4 Vegg	27
Figur 3.5 Hovedoppgaven til maskinsyn	30
Figur 3.6 Plate ved platelager	31
Figur 3.7 Plate på vegg	31
Figur 3.8 Platekonturer	31
Figur 3.9 Posisjonsestimering	32
Figur 3.10 Systemets koordinatsystemer	33
Figur 3.11 System oppbygging	35
Figur 3.12 CX2040 struktur	36
Figur 3.13 Utvidet CX2040 struktur	37
Figur 3.14 HMI i PLS	39
Figur 3.15 Auto funksjon	40
Figur 3.16 HMI i bruk	41
Figur 3.17 Maskinsyn HMI	42
Figur 3.18 1000 målinger med Lidar sensor	43
Figur 3.19 System kommunikasjon	44
Figur 3.20 IRC5 og CX2040 kommunikasjon	45
Figur 3.21 ADS kommunikasjon	46

Figur 3.22 Verktøy kalibrering	47
Figur 3.23 Øye-hånd kalibrering.....	48
Figur 4.1 Reprojeksjons feil.....	49
Figur 4.2 Reprojeksjons feil etter korrigering.....	50
Figur 4.3 Original bilde.....	50
Figur 4.4 Korrigert bilde	50
Figur 4.5 Verktøyets koordinatsystem.....	51
Figur 4.6 Platelager, grenseverdi 35	53
Figur 4.7 Platelager, grenseverdi 120	53
Figur 4.8 Platelager grenseverdi 190	53
Figur 4.9 Vegg, grenseverdi 100.....	53
Figur 4.10 Vegg, OTSU grenseverdi metode	53
Figur 4.11 Maskinsyn arbeidsflyt	54
Figur 4.12 Testoppsett 1	55
Figur 4.13 Illustrasjon av resultat ved test 1.1	56
Figur 4.14 Illustrasjon av resultat ved test 3.1	56
Figur 4.15 Avvik X ved test 1 til 4	56
Figur 4.16 Avvik Y ved test 1 til 4	57
Figur 4.17 Platelager sektorer.....	57
Figur 4.18 Testoppsett 2	58
Figur 4.19 Distanse mellom platene ved test 5 og 6.....	59
Figur 4.20 Estimert X-posisjon ved vegg	59
Figur 4.21 Ressursforbruk maskinsyn	60
Figur 4.22 Ressursforbruk ved optimalisering.....	60

Forkortelser

Forkortelse	Forklaring
UiA	Universitetet i Agder
MS	Maskinsyn
PLS	Programbar logisk styring
I/O	Innganger/Utganger (engelsk: input/output)
MMG	Menneske-maskin grensesnitt
HMI	Human maskin interface
CCD	Charge-coupled device
CMOS	Complementary metal oxide semiconductor
Mp	Megapiksler
LPF	Lavpassfilter
HPF	Høypassfilter
PnP	Perspektiv-til-Punkt
ML	Maskinlæring
IP	Internettprotokoll
ADS	Automation device specification
VS	Verktøy senter
POU	Programorganiseringsenheter
FB	Funksjons blokk
PGR	Program
STL	Structured text list
RT	Sanntid (engelsk: real time)
N-RT	Ikke sanntid (engelsk: Non-Real time)

1 Introduksjon

MacGregor Norge vil bruke kran- og løfteteknologi fra offshore industrien for å automatisere og effektivisere byggeprosesser [1]. I samarbeid med Universitetet i Agder ser MacGregor på mulighetene for å utvikle en robotarm til byggebransjen. Denne er i første omgang tenkt for montering av fasadeplater på utsiden av bygg.

Prosessen med å montere fasadeplater er i dag en tidkrevende og arbeidsintensiv prosess som krever mye utstyr assosiert med montering og for å sikre involvert personell. Prosessen er repetitiv og har en del variabler som gjør det mulig å utforske mulighetene for å automatisere prosessen.

Oppgaven med monterering av fasadeplater er krevende for en robot. Platene skal plasseres ut i fra andre plater, vinduer, dører, kanter på veggene eller lignende. Monteringen må være nøyaktig for å få et symmetrisk resultat. For å kunne utføre oppgaven med å plassere fasadeplater med robot trengs sensorer for lokalisering, måling og kvalitetskontroll. En teknologi som kan utføre alle disse oppgavene er maskinsyn(MS)

Maskinsyn er et fagfelt som er blitt veldig populært de senere årene da kamerateknologien blir bedre og datakraften nødvendig blir billigere. Industrien bruker maskinsyn-teknologi til blant annet å sortere frukt og kvalitetskontrollere maskindeler. Teknologien er også blitt populær kommersielt og brukes blant annet til å låse opp I-Phone med ansiktsgjenkjenning eller innen selvkjørende biler. Utviklingen av maskinsyn skjer fort på grunn av store nettbaserte samfunn med åpen kildekode. OpenCV er utviklet av slike nettsamfunn og er et bibliotek med algoritmer for maskinsyn.

Hovedformålet med denne avhandlingen er å bygge opp et robotsystem som bruker maskinsyn. OpenCV skal implementeres og testes ut i denne avhandlingen. Robotcellen er bygget opp for å simulere prosessen med og montere fasadeplater. Eksperimentelle tester gir basis for resultatene presentert i denne avhandlingen.

1.1 Oppgavebeskrivelse

Denne avhandlingen vil se på implementering av maskinsyn og OpenCV. Avhandlingen vil også se på repeterbarhet ved bruk av maskinsyn. Det ble spesifisert at Beckhoff CX2040 brukes som hovedkontroller i systemet. Roboten tildelt for dette prosjektet er en ABB IRB6000 1.75/2.55. Systemet skal simulere prosessen med å montere fasadeplater.

Underoppgaver:

- Finne og implementere et kamera.
- Sette opp Beckhoff CX2040 for kontroll av hovedfunksjoner, inngangs- og utgangssignaler (I/O) og kommunikasjon.
- Implementere OpenCV for objektetektering og kantetektering samt måle behandlingstid og ressursforbruk.
- Bygge en vegg for å teste plasserings nøyaktighet.
- Lage menneske-maskin grensesnitt som kjører på Beckhoff CX2040

Se vedlegg A for oppgavebeskrivelse gitt av UiA og MacGregor.

1.2 Avhandlingens oppbygging

Denne avhandlingen er bygget opp av 5 hovedkapitler, referanser og vedlegg. Dette kapitlet introduserte avhandlingen med oppgavebeskrivelsen. Kapittel 2 går gjennom den relevante teorien for å finne en god løsning. Videre i kapittel 3 vil metodene og teknologien brukt for å løse oppgave forklares. Oppnådde resultater og systemets ytelse er beskrevet i kapittel 4. Kapittel 5 diskuterer systemets ytelse og hvordan det kan forbedres. Konklusjonen er presentert i kapittel 6. Referansene brukt i avhandlingen finnes i kapittel 7, og nødvendige vedlegg i kapittel 8

2 Teori

2.1 Maskinsyn

En robot er en målbevisst maskin som kan føle, planlegge og utføre, dette er definisjonen av en robot beskrevet i *Robotics, Vision and Control* [2]. I dette kapittelet blir det sett på teorien bak kamera teknologi og maskinsyn. Dette danner basen for hvordan maskinsyn kan brukes til å hjelpe en robot å navigere.

2.1.1 Kamera

Maskinsyn starter med bildeinnsamling. Et kamera inneholder en sensor som registrerer lys som passerer gjennom en optisk linse. Nærmere bestemt måler normale kamera energi eller elektromagnetiske bølger som reflekteres fra omgivelsene. Den optiske linsen begrenser hvor mye lys som kan treffe sensoren som gir et lesbart bilde.

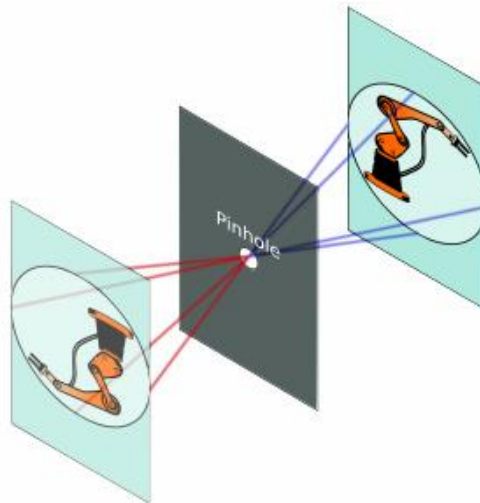
Det er to hovedprinsipper som brukes for å konvertere lysbølger til digitale verdier: CCD (engelsk: charge-coupled device) og CMOS (engelsk: complementary metal oxide semiconductor). Sensorer med CCD måler spenningen akkumulert under sensorens eksponeringstid. Dette spenningssignalet blir forsterket og konvertert til digital verdi etter eksponeringstiden er over. Sensorer med CMOS teknologi måler og forsterker spenningen direkte i hver piksel, denne type sensor er den mest vanlige. Sensoren består av mange piksler, der en piksel registrerer mengden lys eller energi som den blir utsatt for. Eksponeringstiden bestemmer hvor mye energi pikselen blir utsatt for. Dersom eksponeringstid er for høy blir bildet overeksponert og for lyst, for liten eksponeringstid og bilde blir mørkt og under eksponert. De fleste kamera måler mengden innkommende lys for å få korrekt eksponeringstid. Mengden piksler bestemmer oppløsningen og detaljnivået i bildet. Dette betyr at objekter i bilde kan beskrives av flere piksler jo høyere piksel antallet blir. Oppløsning beskrives med antall mega piksler (Mp). 5 Mp betyr at sensoren har fem millioner individuelle piksler.

Kamera og bildeelektronikk spiller en viktig rolle i ytelsen i maskinsyn. Riktig integrering av alle komponenter som kamera, programvare og kabler er viktig for systemets stabilitet og ytelse. For å velge riktig kamera til applikasjonen må noen punkter vurderes:

- Oppløsning.
- Grensesnitt for dataoverføring (GigE, USB, og så videre)
- Grensesnitt for strøm.
- Enkelfarge- eller fargesensor
- Antall bilder per sekund
- Fysisk størrelse på kamera

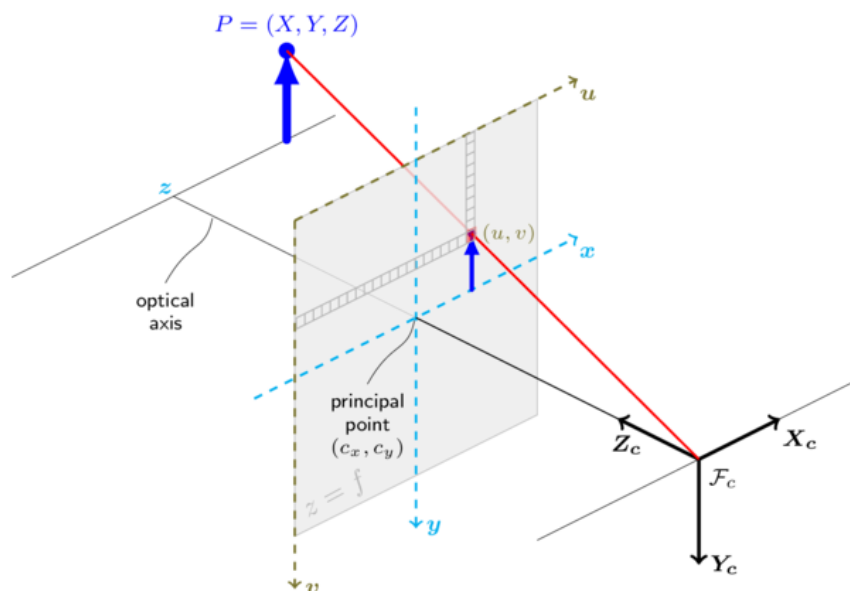
2.1.2 Kameramodellen

Hullkameramodellen blir brukt for å beskrive det matematiske forholdet mellom et punkt i det tredimensjonale rom og punktet projisert i bildeplanet. Denne modellen blir brukt av OpenCV [3] og andre [2]. Modellen beskriver hvordan lys reflekteres av et objekt og passerer gjennom et veldig lite hull i kameraet. Resultatet er 2D-projeksjon av et 3D-punkt eller objektet på bildeplanet. Hullkamera modellen er illustrert i Figur 2.1



Figur 2.1 Hullkameramodellen

Når et 3D-punkt projiseres til et 2D-plan forsvinner en dimensjon, nemlig dybden. Dette kan observeres i Figur 2.2. Punktet $P(X, Y, Z)$ blir projisert over til bildeplanet og representeres av $p(u, v)$.



Figur 2.2 Matematisk hullkameramodell [3]

Hullkameramodellen er idealistisk og tar ikke hensyn til effekter som geometrisk forvrenging og sløring. Disse effektene kan motvirkes ved å kalibrere kamera for å skape et bilde som bedre representerer virkeligheten.

2.1.3 Kamerakalibrering

Når et kamera skal brukes i maskinsyn for posisjonsestimering må det kalibreres for å ta hensyn til at sensor og linse ikke er perfekt. Kameraet må kalibreres for å finne de interne parametrene, beskrevet av K . En sensor med 5 Mp og en bredde på 2592 piksler og høyde på 1944 piksler skal idealt ha sitt senter i 1296, 972. Sensoren er derimot ikke helt perfekt og kan hypotetisk sett ha sitt senter i 1295,973. Senterpunktet er beskrevet i piksler av u_0 og v_0 . De interne parametrene beskrevet i ligning 1 tar også hensyn til fokallengde f i mm og bredde p_w og høyde p_h av hver piksel.

$$K = \begin{bmatrix} \frac{f}{p_w} & 0 & u_0 \\ 0 & \frac{f}{p_h} & v_0 \\ 0 & 0 & 1 \end{bmatrix} \quad (1)$$

Kameraets rotasjon $R(3 \times 3)$ og translasjon $T(3 \times 1)$ kombineres til T_c^0 vist i ligning 2. T_c^0 er en homogen transformasjonsmatrise og er en generisk og kompakt måte å beskrive forholdet mellom to koordinatsystemer, dette forklares bedre i 2.5

$$T_c^0 = \begin{bmatrix} R_{3 \times 3} & T_{3 \times 1} \\ 0_{1 \times 3} & 1 \end{bmatrix} \quad (2)$$

Punkt $\tilde{p}(p, 1)$ i ligning 3 beskriver verdens punkt P i homogene piksel koordinater. De indre og ytre parametrene kombineres til kameramatriksen C . $\tilde{P}(P, 1)$ er den homogene beskrivelsen av punktet P

$$\begin{aligned} \tilde{p} &= \begin{bmatrix} \frac{f}{p_w} & 0 & u_0 \\ 0 & \frac{f}{p_h} & v_0 \\ 0 & 0 & 1 \end{bmatrix} \begin{bmatrix} 1 & 0 & 0 & 0 \\ 0 & 1 & 0 & 0 \\ 0 & 0 & 1 & 0 \end{bmatrix} T_c^0 \tilde{P} \\ &= K P_0 T_c^0 \tilde{P} \\ &= C \tilde{P} \end{aligned} \quad (3)$$

Under kamerakalibrering kan også forvrenging i linsen modelleres. Forskjellige typer avvik dannes av ujevnheter i linsen og sensorens vinkel i forhold til linsen. Disse avvikene er kromatisk avvik, sfærisk avvik, fokus avvik og geometrisk forvrenging. Geometrisk forvrenging er den mest problematiske effekten [2] når kamera skal brukes til posisjonsestimering. Geometrisk forvrenging kan modelleres og beskrives av ligning 4 der δ_u og δ_v er forskyvning i henholdsvis u og v retning

$$\begin{aligned} u^d &= u + \delta_u \\ v^d &= v + \delta_v \end{aligned} \quad (4)$$

Geometrisk forvrenging består av to komponenter, radiell og tangentiell forvrenging, disse modelleres ved å bruke ligning 5. Radiell fører til at punkter forflyttes langs radielle linjer fra senterpunktet. Tangentiell forårsaker punktene til å forflytte seg rettviskelt i forhold til de radielle linjene. Radiell forvrengning er den mest dominerende av de geometriske forvrengningene.

$$\begin{pmatrix} \delta_u \\ \delta_v \end{pmatrix} = \begin{pmatrix} u(k_1 r^2 + k_2 r^4 + k_3 r^6 + \dots) \\ v(k_1 r^2 + k_2 r^4 + k_3 r^6 + \dots) \end{pmatrix} + \begin{pmatrix} 2p_1 uv + p_2(r^2 + 2u^2) \\ p_1(r^2 + 2v^2) + 2p_1 uv \end{pmatrix} \quad (5)$$

Radiell

Tangentiell

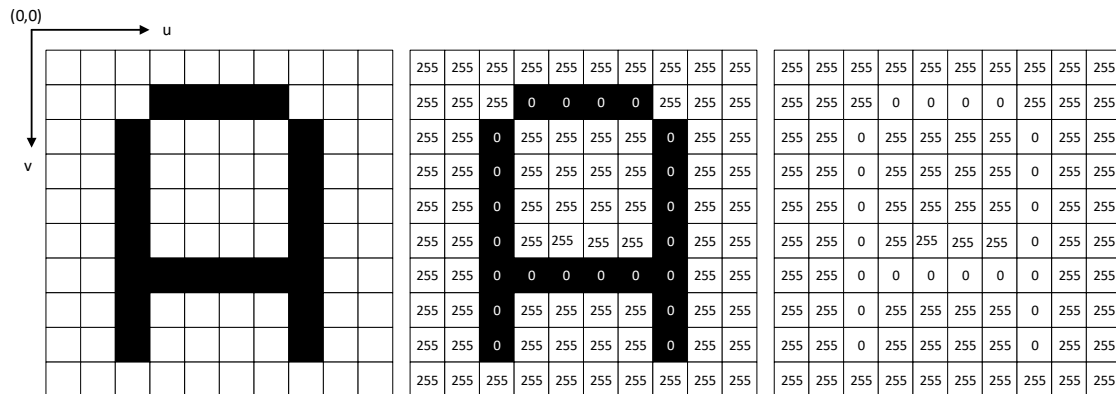
Kamera kalibrering finne alle parameterne beskrevet i dette kapitlet. Det finnes en rekke metoder og algoritmer for å estimere indre- og ytre parametere samt forvrenging. MATLAB og OpenCV har innebygde algoritmer for kamera kalibrering. MATLABs kalibrering er basert på "*A Flexible New Technique for Camera Calibration*" [4] og "*A Four-step Camera Calibration Procedure with Implicit Image Correction*" [5].

Kalibreringsprosedyren gjennomføres på følgende metode [4]:

- Bruk et mønster av kjent dimensjon festet til et plant underlag.
- Ta bilder av mønsteret fra forskjellige vinkler og avstander.
- Detekter kjente punkter i bilde.
- Estimer parametere og forvrenging.

2.1.4 Bildebehandling

Et bilde er ofte representert av 8bit (1byte) for hver piksel. Dette gir 256 mulige verdier. 0 representerer svart mens 255 representerer hvit. Alt imellom er forskjellige nyanser av grå. Figur 2.3 viser hvordan et bilde er representert med menneske til venstre og maskin perspektiv til høyre. Figur 2.3 viser også den mest brukte konvensjonen når det kommer til koordinatsystem i bildeplanet, nullpunktet ligger oppe i venstre hjørne av bilde.

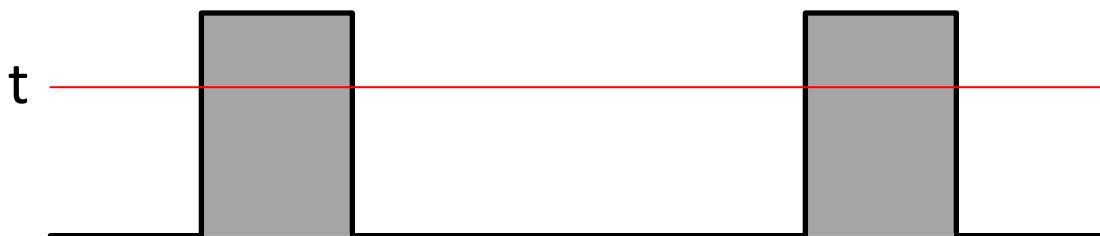


Figur 2.3 Piksel representasjon

For å representere farger brukes flere sensorer. Lyset blir splittet opp gjennom speil og optiske filtre. Normalen er å bruke de 3 primærfargene rød, grønn og blå for å representere forskjellige farger. Hver av fargene representeres av 8 bit som gir $256^3 = 16,777,214$ mulige verdier en piksel kan ha. Et fargebilde er mer komplisert matematisk enn et gråtone bilde.

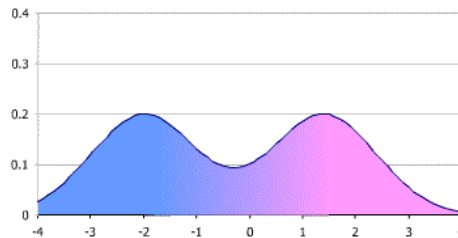
Det er mange strategier for å manipulere et bilde for å få ønsket resultat, to av disse er punktoperasjoner og nabolagsoperasjoner. Punktoperasjoner utfører en operasjon på en enkel piksel $f(u, v)$ som fører til endringen $g(u, v)$. Et eksempel på er å legge til en verdi til en piksel for å gjøre den lysere eller mørkere. En vital punktoperasjon er grenseverdi (engelsk: thresholding). Ved binær grenseverdi operasjon settes en grenseverdi, t , vist i Figur 2.4. Pikselerdiene blir da omgjort til 0 eller 255 uti fra om den er over eller under grenseverdien. Formel for binær grenseverdi operasjoner beskrevet i OpenCV [6] er gitt i ligning 6

$$g(u, v) \begin{cases} 255 & \text{dersom } f(u, v) > t \\ 0 & \text{dersom } f(u, v) \leq t \end{cases} \quad (6)$$



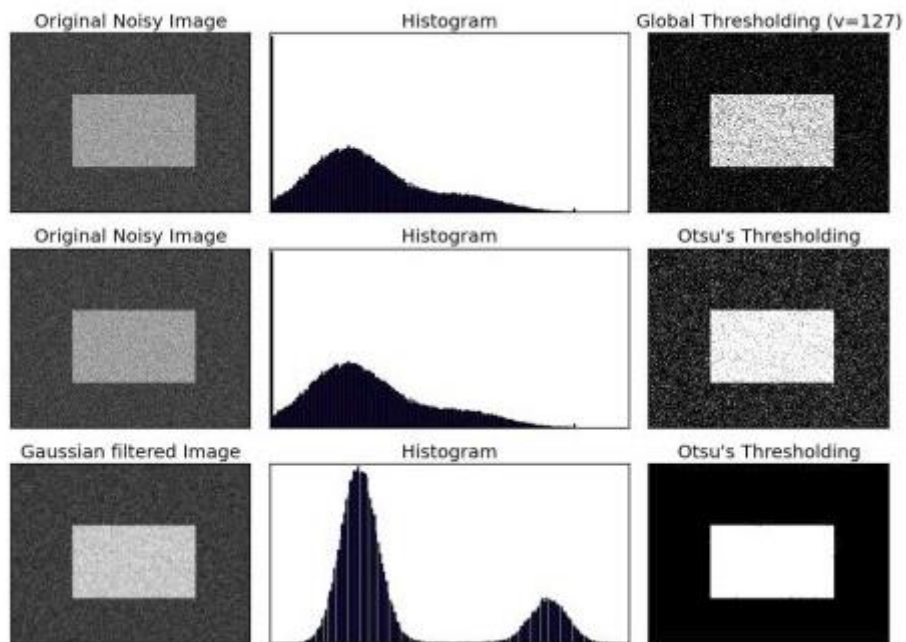
Figur 2.4 Grenseverdi operasjon

Otsu metoden [7] er en grenseverdi metode som velger passende grenseverdi selv. Metoden antar at bilde inneholder to klasser med piksler, bakgrunn og forgrunn(objekt), og at disse følger en bimodal fordeling. En bimodal fordeling er en kontinuerlig sannsynlighetsfordeling med to ulike moduser. Disse opptrer som distinkte topper eller lokale maksimum som vist Figur 2.5.



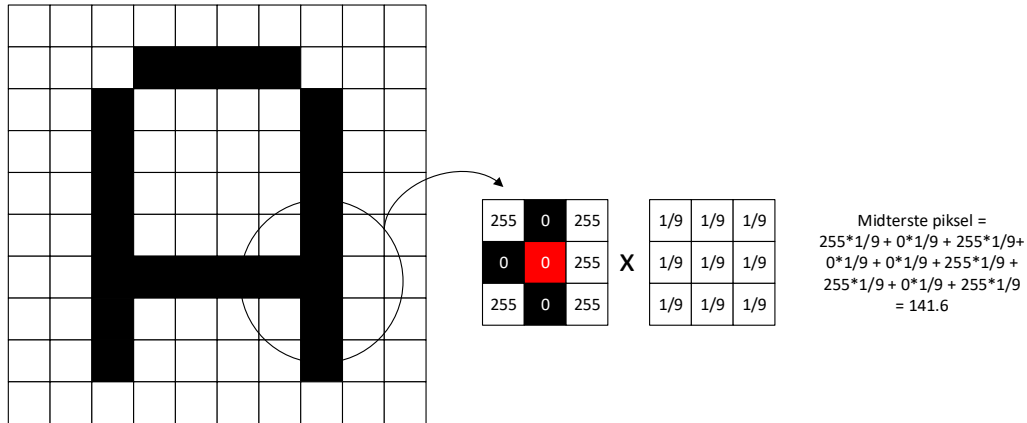
Figur 2.5 Bimodal fordeling

Otsu metoden finner den optimale grenseverdien slik at de to klassene blir separert så mye som mulig og den indre variansen i hver klasse minimeres, se Figur 2.6. Metoden har sine begrensninger og når objektet i bilde er lite i forhold til bakgrunnen kan dette føre til dårlig bimodal fordeling. En annen begrensning er dersom bilde inneholder mye tilført støy som fører til at dalene i histogrammet ikke er bratt nok kan dette føre til ukorrekt grenseverdi



Figur 2.6 Otsu grenseverdi metode

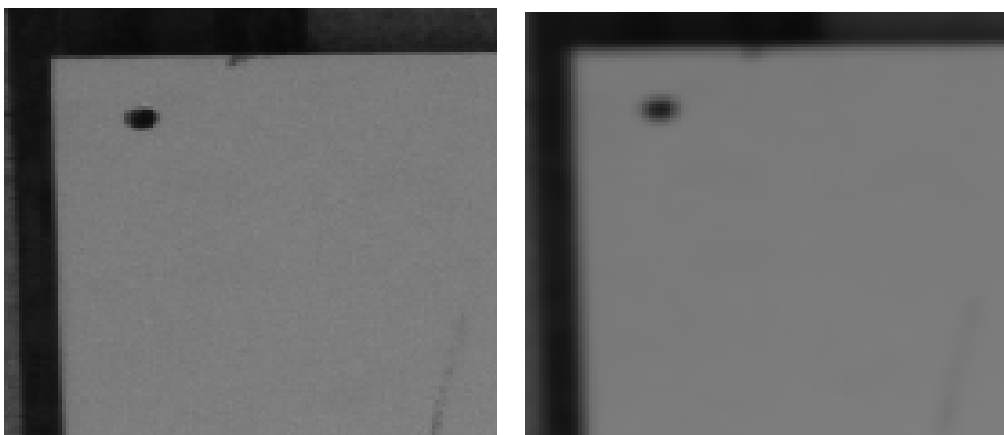
Nabolagsoperasjoner utfører operasjoner på en piksel basert på pikslene rundt. Nabolagsoperasjoner kan virke som lavpassfilter(LPF) eller høypassfiltre(HPF). Slør filter (engelsk: blur) er et lavpassfilter som reduserer støy. Filteret tar gjennomsnittet av pikslene rundt den aktuelle pikselen og erstatter med gjennomsnittsverdien. Hvor mange piksler rundt senter som brukes kalles en kjerne. Figur 2.7 viser en enkel 3x3 kjerne og resulterende verdi på senterpikselen.



Figur 2.7 Nabolagsoperasjon

Normalfordelt LPF eller Gaussisk LPF bruker et filter med varierende vektning av pikslene rundt senter. Filteret fjerner høyfrekvente komponenter og støy. Ligning 7 viser hvordan verdien for hver piksel er kalkulert. u og v er koordinatene og σ er standard avviket av den gaussiske fordelingen. σ bestemmer hvor mye bilde blir glattet. Figur 2.8 viser til venstre et platehjørne uten filter og til høyre et Gaussisk LPF tilført samme bilde

$$G(u, v) = \frac{1}{2\pi\sigma^2} e^{-\frac{u^2+v^2}{2\sigma^2}} \quad (7)$$



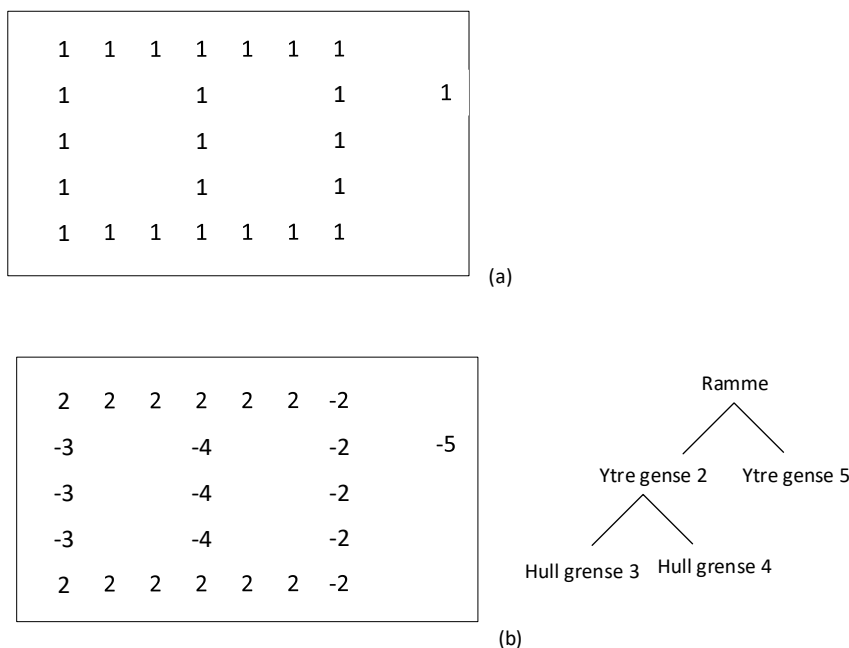
Figur 2.8 Gaussisk filter

2.1.5 Konturer

En vital del av maskinsyn er å finne konturer og former. Analyse av binære bilder og topologisk struktur har gitt forskjellige algoritmer som løser dette. En slik algoritme er «Suzuki & Abe» grensefølging (engelsk: border following) [8]. Og finne en grense eller kontur av et objekt blir gjort ved å følge sammenhengende piksler med samme intensitet eller farge. Denne metoden krever et binært bilde.

Algoritmen antar at bildet består av 0-piksler som beskriver bakgrunn og hull, og 1-piksler som beskriver sammenhengende konturer. Konturalgoritmen skanner bildet f_{ij} linje for linje og pikslene blir merket (i, j) , hvor i beskriver rad og j beskriver kolonne hvor pikselen befinner seg i. Hvis en piksel blir funnet som tilfredsstillende kravene for begynnelse på en grense blir den gitt et sekvensielt nummer og navnet NBD. Dette er ikke en forkortelse men er navnet gitt til piksler som er den nyeste grensen funnet. Når algoritmen finner slutt på en grense eller et hull blir pikselen notert LNBD som beskriver den sist funne grensen.

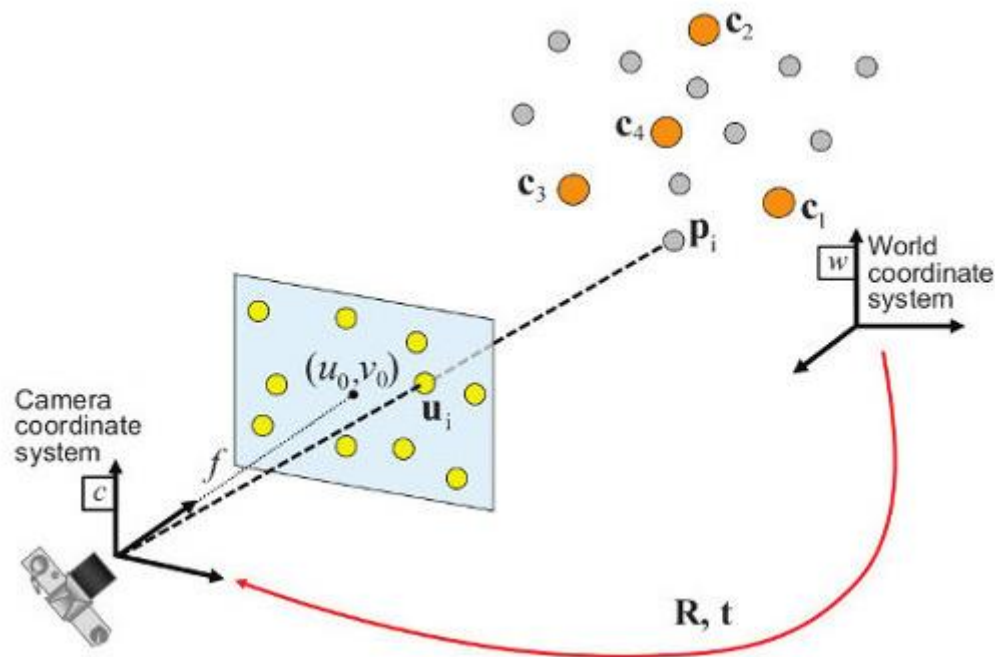
Figur 2.9a er et bilde der 1-pikslene er sammenhengende konturer og alt som ikke er 1-piksler er 0-piksler. Algoritmen skanner bilde, finner starten og slutten på konturene og hull. Figur 2.9b viser hvordan algoritmen har merket pikslene ut i fra om det er kontur start, slutt eller hull.



Figur 2.9 Illustrasjon av konturalgoritme

2.1.6 Posisjonsestimering

Kameraets posisjon kan beskrives av 6-frihetsgrader. Disse består av rotasjon om tre akser og 3D translasjon i forhold til et kjent koordinatsystem, dette forklares mer i et senere kapittel. Kameraets posisjon kan estimeres dersom et n-antall 3D-punkter i verden og deres korresponderende 2D-punkter i bildeplanet er kjent. Dette er kjent som et perspektiv-til-punkt (PnP) problem [9]. Dette problemet stammer fra kamera kalibrering men har mange andre bruksområder innen maskinsyn som inkluderer 3D posisjonsestimering.



Figur 2.10 Posisjonsestimering [10]

Gitt et sett med 3D-punkter $p_i (X, Y, Z)$ uttrykket i referanse koordinatsystem og deres 2D projiserte punkter $u_i (u, v)$ kan kameras relative posisjon R og T finnes ved å løse ligning 8. Dette er illustrert i Figur 2.10 Posisjonsestimering . For å estimere kameraets posisjon må de indre kamera parametrene være kjent. Forskjellige metoder kan brukes for å estimere den relative posisjonen. "Levenberg–Marquardt" algoritmer [11] finner en posisjon som minimerer reprosjeksjons-feilene, dette gjøres ved å summere de kvadratiske avstandene mellom de observerte punktene u_i og objekt punktene p_i .

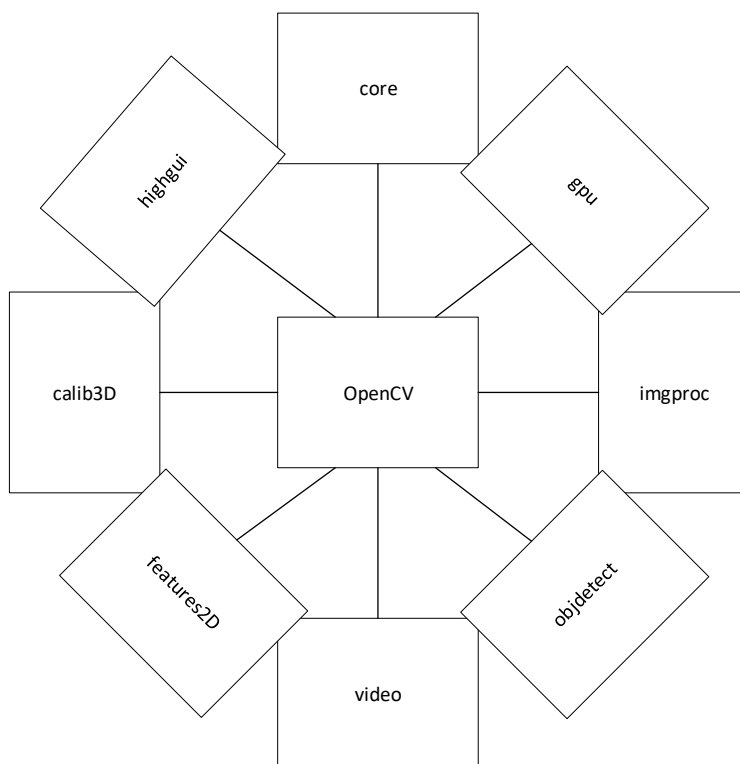
$$s \begin{bmatrix} u \\ v \\ 1 \end{bmatrix} = \begin{bmatrix} f_x & \gamma & u_0 \\ 0 & f_y & v_0 \\ 0 & 0 & 1 \end{bmatrix} \begin{bmatrix} R_{11} & R_{12} & R_{13} & T_1 \\ R_{21} & R_{22} & R_{23} & T_2 \\ R_{31} & R_{32} & R_{33} & T_3 \end{bmatrix} \begin{bmatrix} X \\ Y \\ Z \\ 1 \end{bmatrix} \quad (8)$$

2.1.7 OpenCV

Open Source Computer Vision Library (OpenCV) er åpen kilde maskinsyn og maskinlærings programvarebibliotek. OpenCV er bygget for å gi en felles infrastruktur for maskinsyn utvikling. Biblioteket inneholder algoritmer, dokumentasjon og eksempler og dekker alt fra klassiske metoder til nymoderne algoritmer. Bibliotekene er åpen kildekode og lastes ned fra "OpenCV.org" [12]. OpenCV er lisensiert under 3-klausul av BSD [13] som gjør det enkelt for bedrifter å bruke eller modifisere kode. Store selskaper som Google, Toyota og Microsoft har tatt i bruk OpenCV. Det er også stor begeistring innen oppstartsmiljøet for bruk av biblioteket.

OpenCV har støtte for utvikling innen høynivå språk som C, C++, Python, Java og MATLAB. Biblioteket er originalt skrevet i C++ men har grensesnitt som støtter disse andre språkene. OpenCV har også støtte for bruk på de største plattformene som Windows, Linux, Android og Mac OS. Biblioteket lener seg mer mot sanntid bilde og video applikasjoner. Derfor er det i dag aktiv utvikling av grensesnitt mellom OpenCV, CUDA og OpenGL. Dette er for å senke prosesseringstiden ved bruk av GPU framfor CPU.

OpenCV har et utvikler- og brukersamfunn på ca 47000 registrerte brukere og er blitt lastet ned 14 millioner ganger. Dette gjør at det er mye dokumentasjon angående funksjoner og bruk av OpenCV. Dette store nettsamfunnet gjør det enkelt å få svar på spørsmål angående bruk, funksjoner og problemer. Det er heller ikke mangel på eksempler for bruk av OpenCV. Forum som Stackoverflow [14] og kode delings sider som Github [15] er gode ressurser. OpenCV blir løpende oppdatert med nytt innhold.



Figur 2.11 OpenCV struktur

OpenCV har en modulær struktur og er i hovedtrekk bygget opp som vist i Figur 2.11. En kort beskrivelse av modulene er gitt i Tabell 2.1.

Modul	Egenskap
Core	En kompakt modul som inneholder de grunnleggende data strukturene, som multidimensjonal matriser, <code>cv::Mat</code> , brukt av alle andre modulene
Improc	Bildeprosesseringsmodul som inkluderer lineær og ikke-lineære filtre, geometriske transformasjoner, fargespekter konvertering, histogram og lignende.
Video	Video analyse modul som inneholder bevegelses estimering, bakgrunns subtraksjon og objekt sporings algoritmer.
Calib3d	Modul som inneholder grunnleggende algoritmer for flere synsvinkler, enkelkamera kalibrering, stereokamera kalibrering, posisjonsestimering og 3D-rekonstruksjon
Features2d	Inneholder algoritmer for estimering av framtrede egenskaper og egenskaps gjenkjenning.
Objdetect	Modul med algoritmer for gjenkjenning av predefinerte objekter som mennesker, biler, katter og lignende.
Highgui	Et brukervennlig grensesnitt for video opptak, bilde og video kodeker
Gpu	GPU – algoritmer som kan brukes sammen med andre OpenCV moduler

Tabell 2.1 OpenCV moduler

2.2 Kontrollsystem

I dette kapittelet beskrives grunnleggende teori rundt industriell IT og kontrollsystemer. Teorien her danner grunnlaget for metodene og resultatene senere i avhandlingen.

2.2.1 Programmerbar logisk styring

En programmerbar logisk styring (PLS) er en robust datamaskin som er bygget for automatisering og industrielle applikasjoner. PLS brukes i produksjonslinjer, robotikk og andre aktiviteter som krever høy pålitelighet, enkel implementasjon og diagnose. Det finnes et stort utvalg av PLSer, fra små enkle med integrerte innganger og utganger til kraftige modulbaserte modeller. Leverandører av PLS og tilhørende utstyr er Beckhoff, Siemens, Allen Bradley og Omron for å nevne noen.

Hovedforskjellen mellom vanlige datamaskiner og PLS er muligheten til å koble til inngangs og utgangs signaler (I/O). Signalene kan enten være digital eller analoge. I/O håndteringen gjør det mulig å lese av sensorer og kontrollere aktuatorer.

PLSen opererer i en repeterende syklus. Selv om en prosess oppnår stasjonær tilstand kreves kontinuerlig overvåkning dersom forstyrrelser skulle oppstå. PLS utfører de samme 4 operasjonene under en normal syklus beskrevet i *Programmerbar Logisk Styring* [16]. Disse er intern prosessering, lese innganger, programutførelse og oppdatere utganger

En PLS programmeres ved å bruke programvare utformet for oppgaven på en vanlig PC. PLS programmet blir så overført til PLS gjennom USB, Ethernet eller RS kabler. PLS programmet blir lagret på PLS. PLS blir programmert under IEC 61131-3 standarden. Denne definerer blant annet fem språk for programmering:

- Funksjonsblokk diagram (FBD),
- Ladder diagram (LD)
- Strukturert tekst (ST)
- Instruksjonslister (IL)
- Sekvensielle funksjonskart (SFC).

De fundamentale konseptene for PLS programmering er lik for alle fabrikantene som bruker IEC 61131-3 standarden, men adressering av I/O signaler og organisering av minne er ofte forskjellig. Dette betyr at PLS programmer sjeldent kan byttes mellom PLS av forskjellig leverandører.

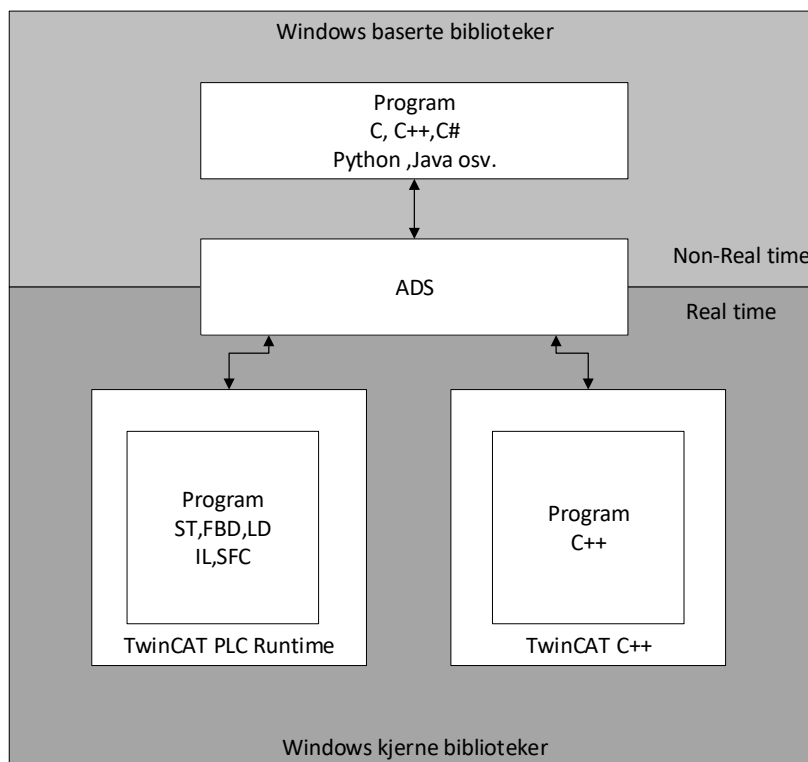
Enkelte leverandører har kombinert PCens allsidighet og PLS'ens robusthets og sanntids egenskaper i et system. I slike systemer kombineres PC og PLS i en enhet hvor de kan kommunisere sammen. Slike systemer åpner for å bruke langt flere programmeringsspråk som gjerne har andre egenskaper enn de gitt av IEC 61131-3 standarden. Et eksempel på dette er maskinsyn. Det krever mange matematiske operasjoner som er vanskelig å implementere inn i språkene angitt av IEC 61131-3. Ved å bruke en PC i systemet åpner dette for bruk av språk som C++, Python, MATLAB og andre høynivå språk.

2.2.2 Beckhoff

Beckhoff Automation ble etablert i 1980 og leverte sin første PC baserte kontroller 6 år senere. Siden den tid har Beckhoff stått for en rekke oppfinnelser innen automatiseringsteknikk som Lightbus, busklemmene, EtherCAT og automatiseringsprogramvaren TwinCAT [17]. Selskapet har en raskt voksende tilstedeværelse og er med sitt verdensomspennende samarbeid tilstede i mer enn 75 land. Beckhoff leverer en rekke løsninger og er representert i industrier som maskin konstruksjon, prosess, vind, bygg automasjon, medisin og partikkel akseleratorer.

Beckhoff's CX serier er en modulbasert Embedded-PC. CX serien kombinerer PC og PLS teknologi i en pakke og kommer med en rekke konfigurasjoner og I/O moduler. Dette gjør serien skalerbar til mange forskjellige applikasjoner. CX-serien kommer med Windows operativsystem. CX2040 har en fire kjernet Intel Core i7 CPU, 4GB RAM.

Figur 2.12 viser internoppbygging av CX serien og hvordan PLS og PC kommuniserer. Sanntid (engelsk: real time, forkortet RT) operasjoner og ikke sanntid (engelsk: Non-Real Time forkortet N-RT) operasjoner kan kjøres samtidig og kommuniserer gjennom ADS protokollen. N-RT delen som kjører Windows kan bruke alle interne og eksterne Windows baserte biblioteker. RT delene er todelt med en PLS og en C++ del. C++ bibliotekene som er tilgjengelig i RT delen er veldig begrenset, og det er ikke mulig å bruke utenforstående biblioteker i denne delen.



Figur 2.12 Beckhoff internstruktur

Beckhoff har utviklet TwinCAT som står for The Windows Control and Automation Technology. TwinCAT er en programvare som brukes til å utvikle kontrollsystemer for deres produkter. TwinCAT kan også konvertere nesten alle PC baserte systemer til RT systemer. TwinCAT støtter IEC 61131-3, C og C++ samt gir mulighet for samspill med MATLAB og Simulink for enklere utvikling. TwinCAT er gratis å laste ned men de krever lisens for kommersielt bruk. TwinCAT 3 er nyeste versjon av programvaren og er brukt i dette prosjektet for all PLS utvikling. Beckhoff kjører en åpen tilnærming når det kommer til dokumentasjon. Alt av produkt og programvare dokumentasjon kan enkelt finnes på deres nettside [17].

2.3 Kommunikasjon

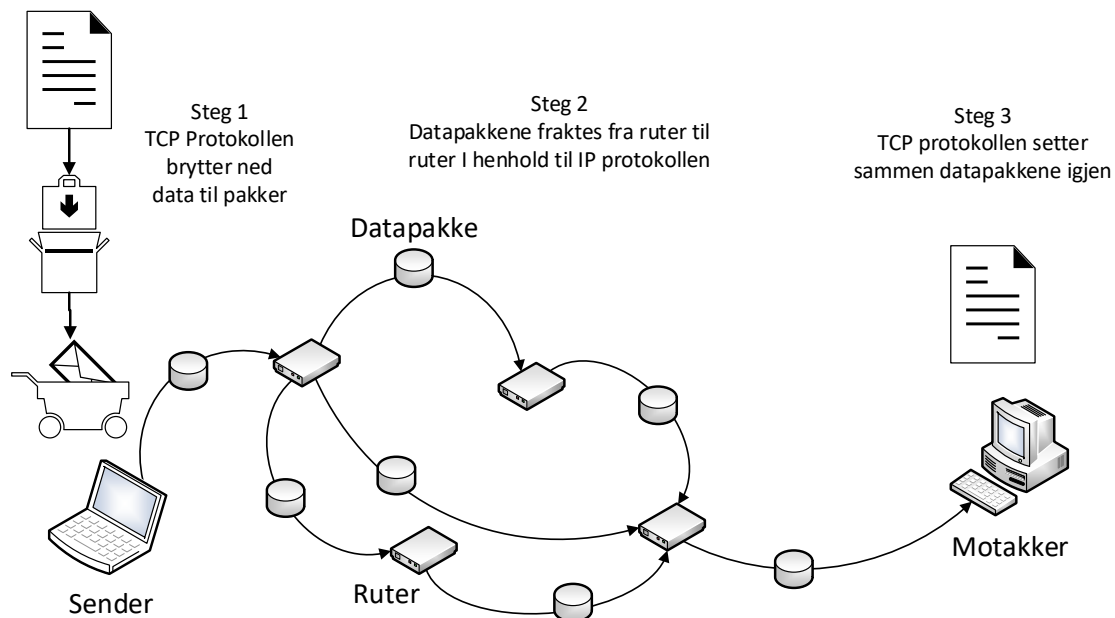
Dette kapittelet forklarer noen grunnleggende begreper innen data kommunikasjon.

2.3.1 Internett protokoller

"Internett Protocol" (IP) gjør det mulig å koble sammen flere forskjellige nett til et felles nett [18]. IP er en forbindelsesløst og upålitelig pakkeleveringstjeneste, men transportlagsprotokollen "Transmission Control Protocol" (TCP) gjør det mulig å sende data pakker. TCP sikrer pålitelig transport av datapakker. I en TCP forbindelse er det en klient og en server. En klient "ringer" til serveren ved bruk av en IP-adresse. Serveren hører etter om noen "ringer" og kan enten ta imot samtalen eller avise den. Når samtalen er godtatt kan både server og klient sende beskjeder til hverandre. Samtalen er pågående til enten server eller klienten terminerer samtalen.

Figur 2.13 illustrerer det grunnleggende TCP/IP prinsippet hvor TCP protokollen bryter ned data til pakker og sender disse fra node til node i nettverket. Nettverket kan bestå av så lite som en sender og en mottaker med direkte kontakt eller mange sendere og mottakere med mange noder i form av rutere.

TCP/IP er en transportprotokoll som egner seg godt når en må være sikker på at beskjeden kommer fram og at det ikke er noe tap på veien. Denne sikkerheten gjør TCP/IP noe saktere enn andre protokoller som ikke har så streng oppfølging av kommunikasjonen. Det finnes alternativer til TCP da denne typen kommunikasjon ikke egner seg til alle typer applikasjoner.



Figur 2.13 TCP/IP

2.3.2 Andre protokoller

Automation Device Specification (ADS) er et transportlag innen TwinCAT systemet [19]. Protokollen ble utviklet for at data kunne utveksles mellom forskjellige programvaremoduler. ADS brukes blant annet for å kommunisere mellom N-RT og RT i Beckhoff produkter. Protokollen er ikke begrenset til internkommunikasjon innen TwinCAT miljøet. Om nødvendig kan det kommuniseres med andre PCer da ADS protokollen legger seg oppå TCP/IP eller UDP/IP protokollen. Dette betyr at i et nettverk system så er all data tilgjengelig fra ethvert ønskelig punkt.

ADS protokollen gir lese og skrive tilgang av data. For å få tilgang til variabler gjennom protokollen kan de kalles med adresse eller med variabelnavn. ADS har programmeringsgrensesnitt (API) til følgende programmeringsspråk:

- C/C++
- .Net
- Delphi
- Java
- WebServices

2.4 Robot

2.4.1 ABB IRB 6600

ABB er en verdensledende leverandør av industri roboter og robotprogramvare, utstyr og komplette løsninger [20]. Med 300 000 roboter er de representert i de fleste næringer. ABB's roboter er brukt i alt fra plukke- og plasseringsløsninger innen matvare og legemiddel industrien til sveise, maling og sammenstillings løsninger innen automobil industrien. ABB leverer alt fra industri roboter ment for tunge og raske operasjoner til robotløsninger som skal samhandle med mennesker.

ABB IRB 6600 -175/2.55 vist i Figur 2.14 er en industri robot ment for punktsveising, materialhåndtering og maskin mating. Den har en stasjonær base, maks løftekapasitet på 175kg og maks rekkevidde på 2.55m. Roboten har en posisjons repeterbarhet på 0.1mm og bane repeterbarhet på 1.88mm [21]. ABB IRB 6600 leveres med IRC5 robotkontroller som gjør det mulig å kjøre roboten manuelt via en håndholdt kontroller, Flexpendant ,eller programmeres ved bruk av høynivå språket Rapid.

RobotStudio er ABBs verktøy for offline og online programmering av deres roboter. Offline programmering gjør det mulig å simulere robot, kontroller og dens oppgaver uten å ha direkte tilgang på roboten. Et visuelt brukergrensesnitt gjør RobotStudio enkel i bruk. For at roboten skal kunne utføre handlinger spesifisert i RobotStudio konverteres dette til Rapid kode.



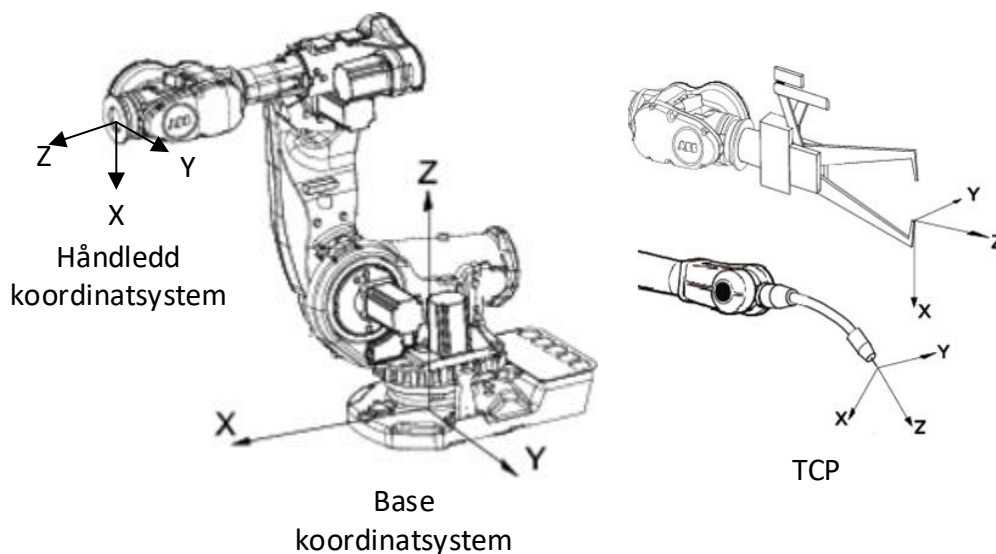
Figur 2.14 ABB IRB 6600

2.4.2 Kalibrering av verktøy

Når en robots bevegelse er programmert ved å spesifisere en bane eller posisjoner som roboten skal følge er dette normalt i forhold til verktøyets senter. Verktøyets senter forkortet VS i resten av avhandlingen (engelsk: tool centerpoint TCP). Normalt er VS definert som det aktive punket til verktøyet som senter av et gripeverktøy eller munnstykket til en sveise verktøy. Flere VS kan defineres men bare et kan være aktivt om gangen. Når et VS er aktivert vil robotarmen prøve å følge den gitte banen og treffe de ønskede punkt med VS.

For at robot armen skal kunne treffe ønskede posisjoner, brukes et kartesisk koordinatsystem. VS flyttes i forhold til base koordinatsystemet eller andre predefinerte koordinatsystemer. Kontrollsystemet kan da ved kinematikk og inverskinematikk regne ut vinkelhastighet og vinkelposisjonene til hvert enkelt led for å oppnå ønsket posisjon. Matematikken bak kinematikken og inverskinematikken er forklart i detaljer i "*Modelling and Control of Robot Manipulators*" [22].

Base koordinatsystemet definerer posisjonen og orienteringen til roboten. Som standard er base koordinatsystemet likt verdenskoordinatsystemet. Håndleddets koordinatsystem definerer posisjonen til handledet i forhold til basen. Verktøyet som skal utføre ønskede operasjoner er montert på håndleddet og får sitt eget koordinatsystem. Dette koordinatsystemet definerer VS er i forhold til håndleddet. Figur 2.15 viser de forskjellige koordinatsystemene.



Figur 2.15 Koordinatsystemer [23]

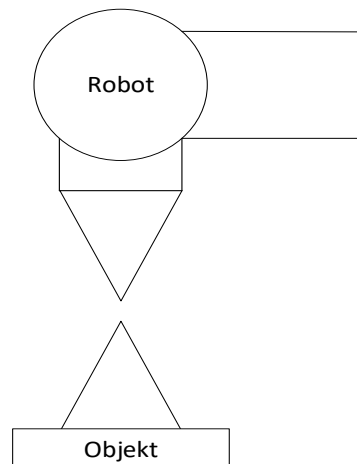
Verktøy som monteres på robot må kalibreres og VS defineres ut i fra kjente referanser. Det finnes en rekke metoder for å kalibrere VS og det er en rekke fordeler og ulemper med disse.

3D-Model kalibrering

Det er mulig å finne VS ut i fra 3D-modellen. Dette er en enkel og billig metode. Det er stor usikkerhet med tanke på nøyaktighet ved denne metoden da den er avhengig av høy nøyaktighet ved produksjon av verktøyer. Det er ofte avvik fra 3D-modeller og den produserte komponenten. Høy produksjonsnøyaktighet fører også til høye kostnader.

Manuell Kalibrering

Ved manuell kalibrering beveges roboten til et referansepunkt. Dette gjøres flere ganger fra forskjellige vinkler og robotens VS kan kalkuleres. En vanlig måte er å bruke et spisst referansepunkt på verktøyet og objektet som vist i Figur 2.16. Denne metoden er kost effektiv og enkel men resultatet er operatørvhengig. Kalibreringsmetode egner seg til applikasjoner som ikke krever høy nøyaktighet.



Figur 2.16 Manuell kalibrering

ABB Bulls Eye kalibrering

Denne teknologien er basert på laser og kan nøyaktig finne X og Y-akse i verktøyets koordinatsystem. Kalibreringsmetoden virker ved å bevege verktøyet gjennom en laser se Figur 2.17. Denne metoden har begrensninger da den bare fungerer på noen typer verktøy og er en relativt kostbar metode.



Figur 2.17 Bulls Eye Kalibrering

For flere metoder se "*Method for calibration of off-line generated robot program*" [24] og "*Robot Tool Centre Point Calibration using Computer Vision*" [25]

2.4.3 Øye-hånd kalibrering

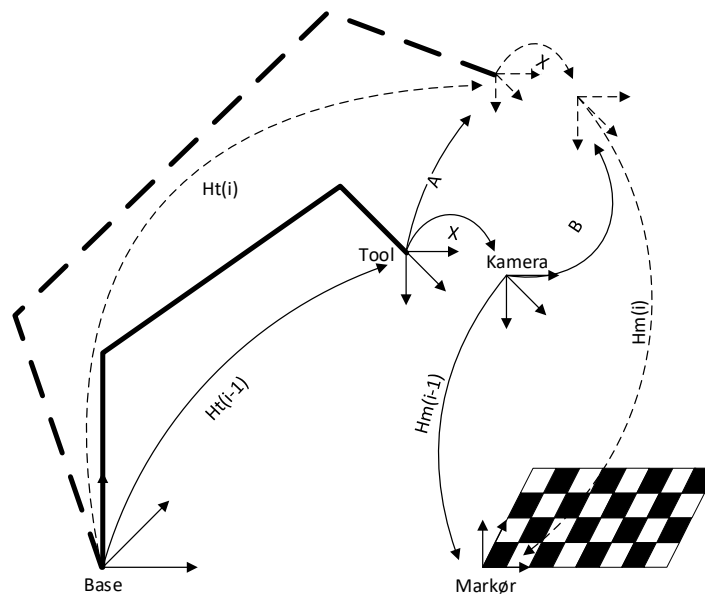
Et problem som ofte oppstår inne robotteknikk er å definere den relative posisjonen av sensor i forhold til håndleddet eller VS. For å finne den relative posisjonen brukes ligning 9 [26]. I denne avhandlingen er det snakk om kamera som sensor. A beskriver posisjon og orientering av håndleddets koordinatsystem i forhold til seg selv etter en vilkårlig bevegelse. B beskriver posisjon og orientering av sensorens koordinatsystem i forhold til seg selv etter den samme bevegelsen. X beskriver posisjon og orientering av sensor relativ til håndleddet.

$$AX = XB \quad (9)$$

For å finne A og B brukes ligning 10 der i beskriver nåværende bevegelse og $(i - 1)$ beskriver foregående bevegelse. H beskriver den homogene transformasjonsmatrisen, dette er beskrevet i neste kapittel. H_t er transformasjonene mellom robotens base til robotens verktøy, denne hentes ut fra robotens kontroller. H_m beskriver transformasjonen mellom kamera og markøren, denne finnes ved å bruke et kalibreringsmønster som gir kjente posisjoner i bilde og verden. H_m og H_t er illustrert i Figur 2.18

$$\begin{aligned} A_i &= (H_{t(i-1)})^{-1} (H_{t(i)}) \\ B_i &= (H_{m(i-1)}) (H_{m(i)})^{-1} \end{aligned} \quad (10)$$

Kalibrering involverer flere vilkårlige bevegelser for å finne en så presis løsning for X som mulig. Kamera utsatt for støy som kan påvirke nøyaktigheten. Så en praktisk tilnærming er å utføre mange målinger og finne en X som minimerer observerte feil. Dette er beskrevet i detaljer i Robot Sensor Calibration: Solving $AX = XB$ on the Euclidean Group [26].



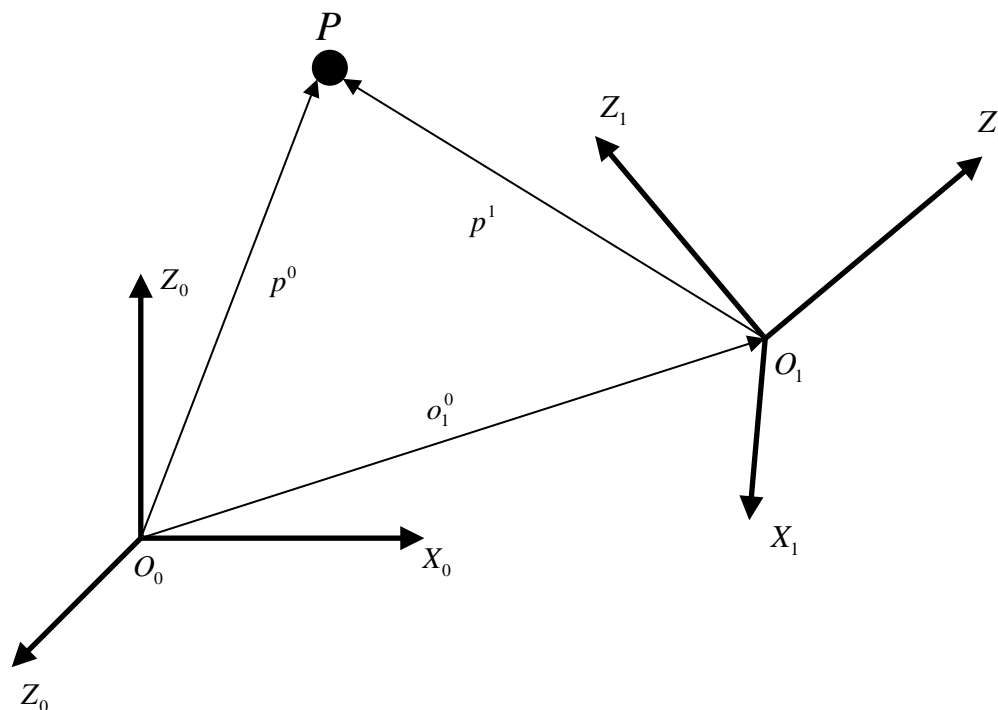
Figur 2.18 Øye hånd kalibrering

2.5 Kinematikk

Et fundamentalt krav innen robotikk og maskinsyn er å representere posisjon og orientering av objekter i rommet. Dette kapitlet forklarer noen grunnleggende prinsipper for å matematisk representere posisjon og orientering. Teorien og notasjonene for dette kapitlet er hentet fra [22], [2].

2.5.1 Homogen transformasjon

Et punkt i rommet kan bli representert av en koordinat vektor. Vektoren representerer forflytning av punktet med respekt til et referanse koordinat systemet. Koordinatsystemet brukt her er Kartesisk som er et sett med ortogonale akser som krysser i origo. Koordinatsystemet er merket med O_0 i dette tilfellet og aksene får notasjon X_0, Y_0 og Z_0



Figur 2.19 Representasjon av punkt P i forskjellige koordinat rammer

Det er antatt at punkt P , vist i Figur 2.19, er posisjon til et stivt objekt og representerer et punkt på et objektet. p^0 representerer romvektoren til punkt P med hensyn til koordinat ramme O_0 . O_1^0 er en vektor som representerer koordinatsystem O_1 med hensyn til O_0 . Vektor p^1 beskriver punkt P i forhold til O_1 . Punkt P kan med dette bli representert i forhold til referanse ramme O_0 ut i fra ligning 11. Denne ligningen tar hensyn til rotasjon og translasjon. R_1^0 representerer rotasjonen av koordinatsystem O_1 i forhold til koordinatsystem O_0 . Rotasjonsmatrisen blir forklart mer i detaljer senere i kapitlet.

$$p^0 = O_1^0 + R_1^0 p^1 \quad (11)$$

En mer handfast måte å beskrive rotasjon og translasjon av et koordinatsystem er ved homogen transformasjonsmatrise vist i ligning 12.

$$\tilde{p} = \begin{bmatrix} p \\ 1 \end{bmatrix} \quad (12)$$

Den homogene transformasjons matrisen A_0^1 i ligning 13 beskriver rotasjon og translasjon av koordinatsystem O_1 i forhold til koordinatsystem O_0 og kan bli skrevet som en 4x4 matrise.

$$A_0^1 = \begin{bmatrix} R_0^1 & O_0^1 \\ \mathbf{1}^T & 1 \end{bmatrix} \quad (13)$$

I homogen form kan punktet P bli forklart av den homogene vektoren \tilde{p}^0 som vist i ligning 14.

$$\tilde{p} = A_1^0 \tilde{p} \quad (14)$$

Kort oppsummert forklarer den homogene transformasjonsmatrisen koordinat transformasjonen mellom to koordinatsystemer i en kompakt form. Denne representasjonen kan bli utvidet til å beskrive et punkt P ut i fra en rekke med koordinattransformasjoner som vist i ligning 15.

$$\tilde{p}^0 = A_1^0 A_2^1 \dots A_n^{n-1} \tilde{p}^n \quad (15)$$

2.5.2 Rotasjonsmatrise og Euler vinkler

Representasjon av rotasjon i rommet er essensielt innen robotikk. Eulers rotasjons theorem sier at enhver rotasjon kan beskrives som en sekvens av rotasjoner om forskjellige koordinat akser. Euler's rotasjons theorem krever rotasjon om tre akser slik at ingen to etterfulgte rotasjoner er om samme akse. Det er 12 forskjellige måter å rotere aksene på. Roll – Pitch - Yaw er en av disse sekvensene som er rotasjon om Z-aksen, φ , etterfulgt av rotasjon om Y-aksen, ϑ , og tilslutt rotasjon om X-aksen, ψ . Den resulterende rotasjonen er beskrevet i ligning 16

$$R(\phi) = R_z(\varphi) R_y(\vartheta) R_x(\psi) \quad (16)$$

Ut ifra [22] kan rotasjonsmatrisen uttrykkes ved ligning 17 når vinklene φ, ϑ og ψ er kjent.

$$R(\phi) = \begin{bmatrix} C\varphi C\vartheta & C\varphi S\vartheta S\psi - S\vartheta C\psi & C\varphi S\vartheta C\psi + S\varphi S\psi \\ S\varphi C\vartheta & S\varphi S\vartheta S\psi - C\vartheta C\psi & S\varphi S\vartheta C\psi - C\varphi S\psi \\ -S\vartheta & S\vartheta S\psi & C\vartheta C\psi \end{bmatrix} \quad (17)$$

Et av problemene med å uttrykke rotasjon på en slik minimalistisk måte er at singulariteter kan oppstå. Dette skjer når aksene av det midtre uttrykket, $R_y(\vartheta)$, i ligning 16 blir parallell med rotasjonsaksen av det første, $R_z(\varphi)$, eller tredje uttrykket, $R_x(\psi)$. Dette fører til tap av en frihetsgrad og matematisk betyr dette at ligning 17 ikke kan inverteres og da kan det bare etableres et lineært forhold mellom to av aksene.

$$R = \begin{bmatrix} R_{11} & R_{12} & R_{13} \\ R_{21} & R_{22} & R_{23} \\ R_{31} & R_{32} & R_{33} \end{bmatrix} \quad (18)$$

Roll – Pitch – Yaw vinkler opplever problemet med singularitet når rotasjon om Y-aksen er 90 grader. For å gå fra rotasjonsmatrisen tilbake til Euler vinkler brukes ligning 19 mellom -90 grader og 90 grader. Ligning 18 viser elementene i rotasjonsmatrisen.

$$\begin{aligned} \varphi &= \text{Atan2}(r_{21}, r_{11}) \\ \vartheta &= \text{Atan2}\left(-r_{31}, \sqrt{r_{32}^2 + r_{33}^2}\right) \\ \psi &= \text{Atan2}(r_{32}, r_{33}) \end{aligned} \quad (19)$$

Ligning 20 brukes i intervallet mellom 90 grader og 270 grader for å finne Euler vinklene.

$$\begin{aligned} \varphi &= \text{Atan2}(-r_{21}, -r_{11}) \\ \vartheta &= \text{Atan2}\left(-r_{31}, -\sqrt{r_{32}^2 + r_{33}^2}\right) \\ \psi &= \text{Atan2}(-r_{32}, -r_{33}) \end{aligned} \quad (20)$$

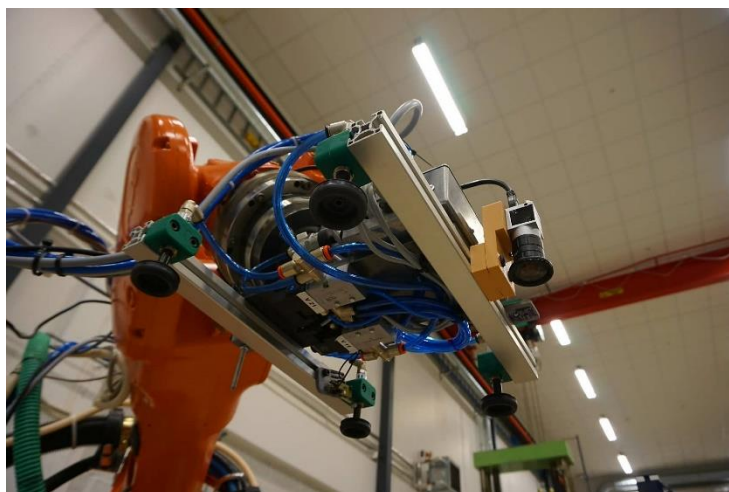
Ligning 19 og 20 kan ikke brukes dersom vinkel ϑ er nøyaktig 90 eller -90 grader. I dette tilfellet er det bare mulig å bestemme summen eller forskjellen mellom φ og ψ .

3 Metode

3.1 System

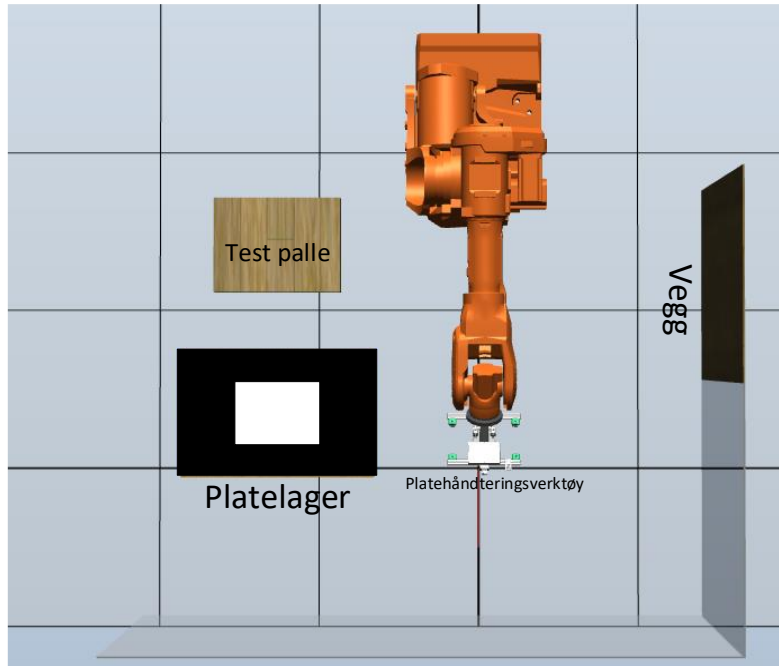
Dette kapittelet er ment for å gi et raskt overblikk over systemet. De forskjellige elementene i systemet vil bli forklart i mer detalj senere i avhandlingen. Det er laget en video [27] som beskriver systemet også.

Denne avhandlingen bygger videre på noe av arbeidet som ble utført i bacheloroppgaven "*Utvikling av verktøy for håndtering og montering av fasadeplater med robot*" [28] som var gitt ved UiA våren 2017. Verktøyet for plåtehandtering vis i Figur 3.1 blir gjenbrukt med oppgradert kamera. Verktøyet bruker vakuum for å plukke opp platene.



Figur 3.1 Platehåndterings verktøy

Robotcellen er bygget opp som vist i Figur 3.2. En ABB IRB6000 1.75/2.55 industri robot med tilhørende IRC5 kontroller brukes som manipulator arm. En palle dekket med svart papp avgrenser platelageret, se Figur 3.3. Platene kan ligge hvor som helst innenfor denne avgrensningen og roboten skal kunne lokalisere og plukke den opp. Dimensjon på platelageret er 1200mmx800mm. En mindre palle plassert ved siden av platelageret ble brukt under testing ved å flytte platene fra ene til andre pallen.



Figur 3.2 Robotcelle

Inne i robotcellen er det en vegg som platene skal monteres på ved å bruke maskinsyn og roboten. Det ble montert flatjern for å simulere stendere, se Figur 3.4. Magnettape ble montert på platene slik at de henger på stenderne. Platene brukt er av typen Steni Color og dimensjonene er 595x295x6mm.



Figur 3.3 Platelager



Figur 3.4 Vegg

Kontrollsystemet er en Embedded-PC av typen Beckhoff CX2040. Denne håndterer I/O signalene fra verktøyet samt utfører bildebehandlingen. CX2040 kommuniserer og sender ønskede koordinater til ABB IRC5 kontrolleren. IRC5 kontrolleren fungerer som en slave, den melder hvor roboten er i rommet og utfører det CX2040 kontrolleren forteller den. All kode som er brukt i dette prosjektet finnes i vedlegg D.

3.2 Maskinsyn

Dette kapittelet beskriver hvilke kamera og linse som ble valgt for oppgaven, hvordan kamera ble kalibrert og hvordan maskinsyn-programmet ble bygget opp.

3.2.1 Kamera og linse

Et av de rapporterte utfordringene ved det foregående prosjektet var unøyaktig maskinsyn [28]. Kameraet som ble brukt tidligere var et Logitech C260 med en oppløsning på 1.2Mp [29]. Dette er et web-kamera ment for konsumer bruk. Kriteriene for et nytt kamera var høyere oppløsning, mulighet for å hente ut ukomprimert bilder og USB eller Ethernet tilkobling.

UiA hadde et kamera av typen Basler acA2500-14um tilgjengelig. Dette kameraet har 5Mp oppløsning, USB3 tilkobling og utskiftbar linse, se Tabell 3.1 for flere spesifikasjoner. Kameraet tar enkeltfarge (engelsk: monochrome) bilder og gir mulighet for å hente ut ukomprimerte bilder. Dette kameraet er bygget for industrielt bruk og maskinsyn. Kamera kommer med eget programmerings-grensesnitt som gir bruker kontroll over flere parametere en et web-kamera.

Basler acA2500-14um	
Sensor størrelse	1/2.5'
Oppløsning (H x B)	2592 x 1944
Oppløsning	5 Mp
Sensor størrelse	5.7mm x 4.3mm
Piksel størrelse	2.2µm x 2.2µm
Lukker	Rullende
Datagrensesnitt	USB 3

For flere spesifikasjoner [30]



Tabell 3.1 Basler aAC2500 kamera

Arbeidsavstand for kamera på 0.5m – 1m ble valgt og linse måtte velges ut i fra dette. Valget falt på en TechSpec 4mm linse. Med denne linsen kan kamera se hele platalageret fra 1m og hele platen fra 0.5m. Linsen har 17.5% forvrenging over hele bilde [31]. Dette ble korrigert for under kalibrering.

Kamera ble montert midt på verktøyet, se Figur 3.1. En brakket som kunne monteres på aluminiumsprofilene ble 3D-printet. Dette gjør det mulig å flytte kamera rundt på verktøyet om andre konfigurasjonen ønskes eller nytt utstyr skulle bli montert. Plasseringen av kamera ble valg for enkel implementering og unødvendige bevegelser under plukke/ plasseringsprosessen.

3.2.2 Kamera kalibrering

Kamera som brukes til maskinsyn må kalibreres for å finne indre og ytre kamera parametere. På grunn av stor geometrisk forvrenging på linsen valgt var det også nødvendig og finne forvrengnings koeffisientene.

Kalibrering bør gjentas dersom følgende gjøres:

- Endring av fokus, fører til små forandringer i fokal lengde.
- Ending av blenderåpning
- Om linsen skrues av og på

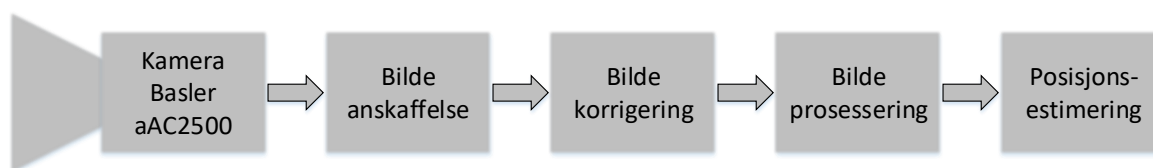
Et sjakkbrett mønster bestående av 9x6 ruter, gitt av OpenCV.org [3] brukes ved kalibrering. A3 format gir kvadratiske ruter på 37mm som blir brukt til å estimere kameras indre og ytre parametere samt geometrisk forvrenging. Rutenettet ble montert på en av fasadeplatene for å gi en plan overflate. Under kalibrering var mønsteret stasjonært mens kamera ble flyttet rundt ved bruk av roboten.

Det ble tatt bilde av sjakkbrett mønsteret fra flere forskjellige vinkler og over hele kameraets synsfelt. For å analysere alle bildene og få ut alle nødvendige parametere ble MATLABs kamera kalibrerings vektøyskasse brukt. Det er et brukervennlig verktøy og lar brukeren bestemme hvilke parametere som skal estimeres. Andre verktøy som ble vurdert for å estimere de nødvendige parameterne var OpenCV. Det finnes ferdige eksempler på OpenCV.org men disse er ikke like brukervennlig da det er C++ eller Python kode og ikke et enkelt brukergrensesnitt som i MATLAB.

3.2.3 Bilde behandling

I denne avhandlingen ble det spesifisert at all bildebehandling skulle gjøres ved bruk av OpenCV og kodes i C++. For å utvikle maskinsyn programmet i denne avhandlingen ble det valgt å bruke Microsofts utviklingsverktøy Visual Studio Community 2015. Dette er en gratis utgave av utviklingsverktøyet til Microsoft. Dette er et velprøvd verktøy for utvikling innen C++ med et stort nettsamfunn med mye dokumentasjon. Visual Studio må konfigureres for og bruke OpenCV og andre biblioteker som ikke er utviklet av Microsoft [32].

Figur 3.5 viser maskinsynets oppbygging i grove trekk for bildeprosessering og posisjonsestimering. Alle delene av prosessene vil bli forklart. OpenCV funksjoner brukt i dette kapitlet blir beskrevet med `cv::`funksjonsnavn, og siden OpenCV er basert på det engelske språk vil funksjonsnavnet stå på engelsk



Figur 3.5 Hovedoppgaven til maskinsyn

Bilde anskaffelse

OpenCV biblioteket har innebygde metoder å hente ut bilde fra webkamera. Siden et Basler industrikamera brukes her, må bilde hentes ut via Pylon API [33] for så konverteres til OpenCV matrise format. Pylon er kamera programvare brukt av Basler. Basler kamera kan levere Mono8 eller Mono12 bildeformat. OpenCV har direkte støtte for 8,16 og 32 bit format. For å ikke gjøre noen spesielle operasjoner ble det valg å bruke 8 bit format for enkel konvertering fra Pylon til OpenCV.

Bildekorrigering

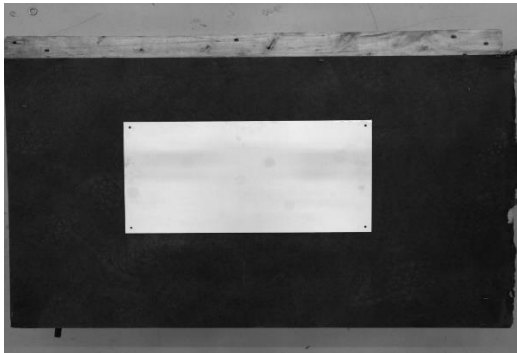
For å korrigere for kameraets geometriske forvrenging brukes ferdige OpenCV funksjoner. Funksjonen `cv::undistort` baserer seg på teorien i kapittel 2.1.3. Funksjonen trenger følgende inndata: et bilde i OpenCV `cv::Mat` format, interne kamera parametere, radiell forvrenging koeffisienten, tangentielle forvrenging koeffisientene.

Bildeprosessering

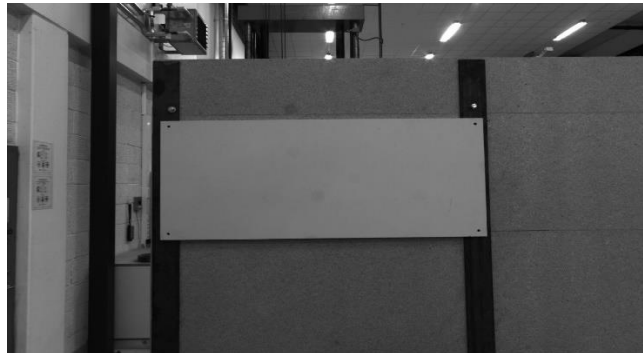
Det er mange måter å hente ut ønskede konturer fra et bilde. OpenCV har en hel del algoritmer for å gjennomføre denne prosessen. Det var ønskelig å gjennomføre denne prosessen på minst mulig komplisert måte. Grunnen til dette er at testoppsettet er innendørs under kontrollerte forhold med stabilt lys. Det var ønskelig å vise at dette var mulig å gjøre bildeprosesseringen på en enkel måte slik at det er flere valgmuligheter når forholdene blir vanskeligere.

To forskjellige bildeoperasjoner skal gjøres. Når platen skal plukkes opp må dens posisjon estimeres. Når platen skal monteres på veggen skal den plasseres ut i fra en allerede monterte plate. For å kunne gjøre dette må posisjonen til den allerede monterte platen estimeres. Dette fører til at konturene av platen må finnes under to forskjellige forhold. For å skille platen fra bakgrunnen må noen operasjoner gjøres.

Når platen ligger på platelageret, vist i Figur 3.6, kommer alt lyset ovenfra. For å skille bakgrunnen fra platen blir det brukt en enkelt grenseverdi funksjon, `cv::thresholding`, funksjonen baserer seg på teorien forklart i kapittel 2.1.4 .



Figur 3.6 Plate ved platelageret

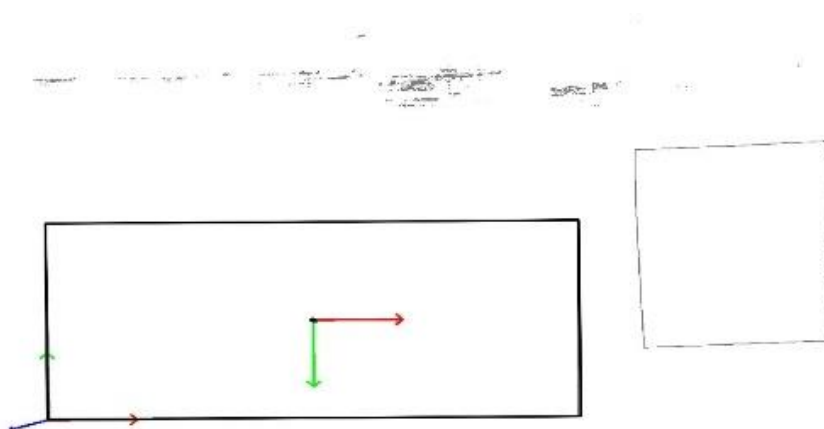


Figur 3.7 Plate på vegg

Figur 3.7 viser platen på veggen. Det kan observeres litt vanskeligere forhold her. Noe av lystet kommer rett ovenfra og noe av lystet kommer skrått. På venstre siden av bilde kan det observeres at bakgrunnen er mye samme farge som platen. Dette kan løses på flere måter men i dette tilfellet ble det valgt og bruke et slør filter og Otsu grenseverdi metoden for å beregne passelig grenseverdi. OpenCV funksjonene brukt ved veggen var `cv::GaussianBlur` og `cv::threshold(THRESH_BINARY | THRESH_OTSU)`.

Neste operasjon er å finne platens kontur. Dette ble gjort i to steg. Først ble alle konturene i bilde funnet ved å bruke funksjonen `cv::findcontoures`. Denne funksjonen baserer seg på teorien i kapittel 2.1.5 og finner alle konturene i bildet.

Andre steget er å skille mellom andre konturer og platen. Siden platen er formet som et rektangel brukes funksjonen `cv::RotatedRect`. Denne funksjonen finner alle rektangler i bilde. Funksjonen kan finne rektangler som ikke er platen og for å løse dette ble det antatt at det ønskete rektangelet er det med størst areal. Dette er illustrert i Figur 3.8 der platen ligger vedsiden av et mindre A4 ark og funksjonen finner og tegner svart rundt det rektangelet med størst areal. `cv::RotatedRect` funksjonen gav mye nyttig informasjon som hjørnepunktene, senterpunktet, høyde, bredde og areal for å nevne noen.



Figur 3.8 Platekonturer

Posisjonsestimering

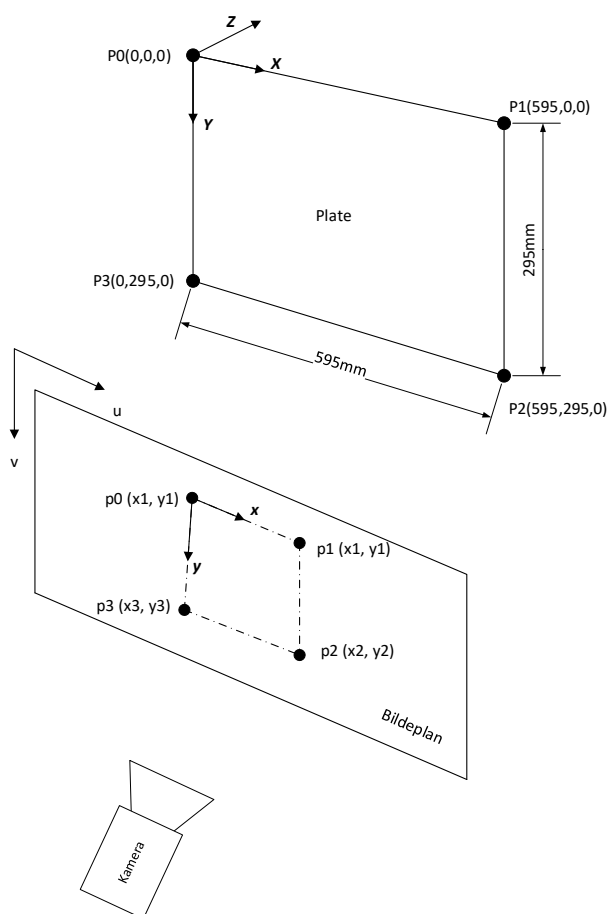
Når det brukes et enkelt kamera forsvinner informasjon om distanse til objektet når det projiseres over i bildeplanet som forklart tidligere. For å motvirke dette ble to forskjellige metoder for posisjonsestimering utprøvd med varierende resultat.

Metode 1:

En ekstern avstandsmåler, en Lidar sensor måler avstand fra verktøyet til platen. Avstanden kan brukes for å finne Z koordinater til platen og X og Y kan da estimeres. LIDAR sensoren var montert på vakuump verktøyet [28]. Hvordan avstandsmålingen ble implementert og vurdert blir forklart senere.

Metode 2

Ved å bruke kjente dimensjoner i bildet kan posisjonen estimeres som et perspektiv-til-punkt (PnP) problem. I denne avhandlingen er fasadeplatens dimensjoner kjent og relativt konstant med en oppgitt nøyaktighet fra Steni på $\pm 2mm$ i lengde og bredde [34]. OpenCV har innebygget funksjoner for å løse PnP problemer. Platen har fire hjørner som er funnet i bildeprosesseringen. Platen ligger på et plant underlag så det kan antas at det er ikke er høydeforskjell mellom hjørnene. Ved å bruke ene hjørnet som nullpunkt kan koordinatene til de andre hjørnene beskrives som vist i Figur 3.9. Forholde mellom de fire hjørnene i bildeplanet og virkeligheten er da kjent og funksjonen `cv::solvePnP` brukes for å finne platens translasjon og rotasjon i forhold til kamera.



Figur 3.9 Posisjonsestimering

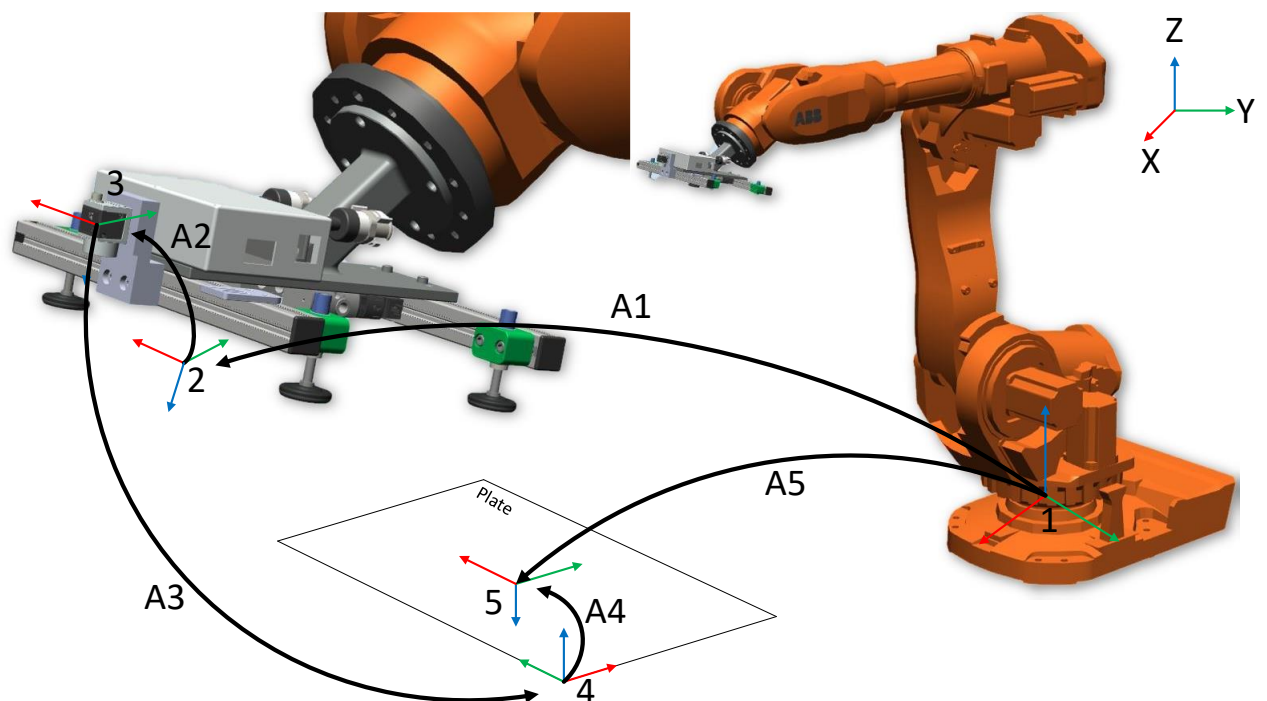
3.2.4 Kinematikk

For at roboten skal kunne plukke opp platen må platens translasjon og rotasjon beskrives i forhold til robotens base. Figur 3.10 viser hvordan dette er oppnådd. De forskjellige koordinatsystemene er merket med numre fra 1 til 5. 1 er robotbasens koordinatsystem, 2 er verktøyets senter, 3 er kameraets koordinatsystem, 4 er koordinatsystem i platens hjørne og 5 er platesenterets koordinatsystem.

Ligning 21 viser hvordan platens translasjon og rotasjon blir kalkulert.

- A_5 er transformasjonsmatrisen som beskriver platens translasjon og rotasjon i forhold til robotbasen
- A_1 beskriver translasjon og rotasjon av VS i forhold til basen og hentes fra IRC5 kontrolleren.
- A_2 beskriver translasjon og rotasjon av kamera i forhold til VS, dette er en fast verdi som finnes ved øye-hånd kalibrering.
- A_3 er translasjon og rotasjon av plates hjørnepunkt i forhold til kamera og blir estimert av maskinsynet og `cv::solvePnP` funksjonen.
- A_4 er translasjon og rotasjon av platens senter i forhold til hjørnet 4. Dette er også en fast verdi som er halve platens brede og halve platens lende. Platens koordinatsystem roteres slik at det peker i samme retning som kameraets koordinatsystem.

$$A_5 = A_1 A_2 A_3 A_4 \quad (21)$$

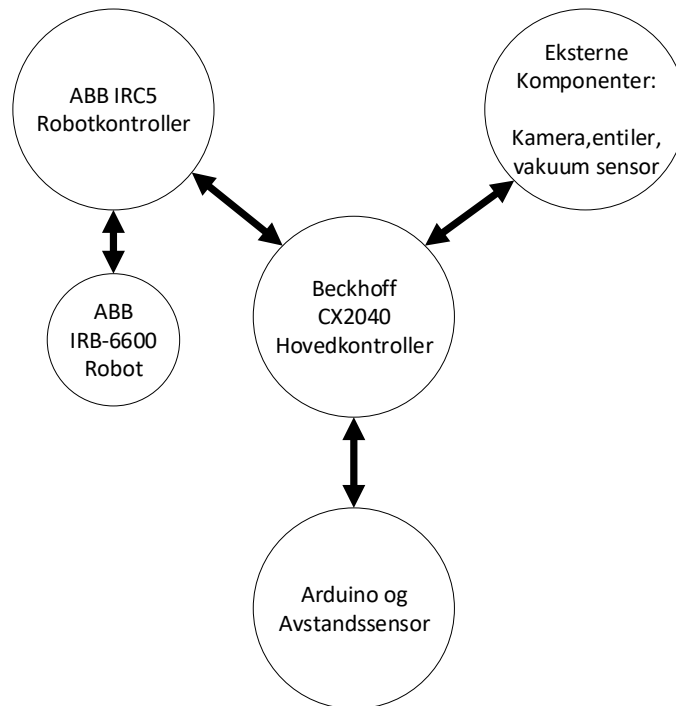


Figur 3.10 Systemets koordinatsystemer

Operasjonen med å regne ut platens posisjon og rotasjon i forhold til robot basen blir gjort i C++ og N-RT delen av kontrolleren som forklares under. Dette blir gjort fordi det blir benyttet et eksternt bibliotek som utfører matrise operasjoner. Denne prosessen er ikke RT sensitiv siden roboten står i ro under posisjonsestimeringen, derfor blir det valgt å utføre dette i N-RT delen av kontrolleren. Biblioteket Eigen brukes, dette er et C++ bibliotek for lineær algebra, matriser, vektorer og numeriske operasjoner. Eigen er åpen kilde kode og er lisensiert under MPL2 lisens.

3.3 Kontrollsystem

Dette kapitlet forklarer hvordan kontrollsystemet til roboten er satt opp og fungerer. Figur 3.11 gir oversikt over kontrollsystemet og hvordan hovedkontrollen kommuniserer med resten av systemet. Kontrollerens struktur forklares samt hvordan menneske-maskin grensesnittet (engelsk: human maskin interface, HMI) er bygget opp.



Figur 3.11 System oppbygging

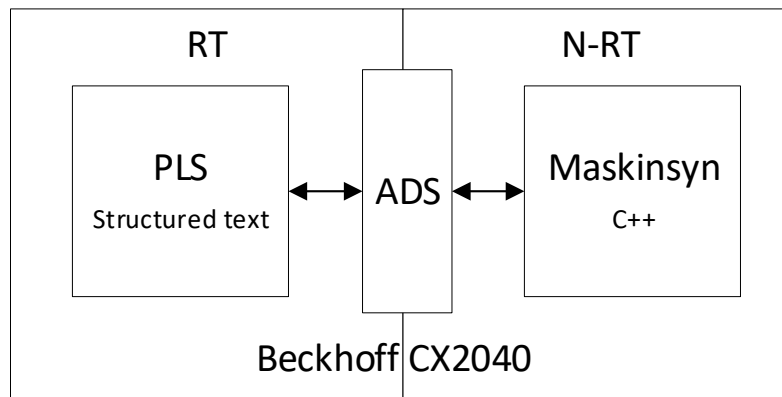
3.3.1 Implementering av CX2040 Embedded PC

I dette prosjektet ble det spesifisert at en Beckhoff CX2040 skulle brukes som hovedkontroller. Den skal plasseres vekk fra roboten kontra tidligere prosjekt da kontrolleren ble plassert i verktøyet. Alle I/O signaler og hovedfunksjonene skal plasseres i PLS.

Hovedkontrolleren i systemet skal gjør følgende:

- Styre alle I/O signaler.
- Kommunisere med IRC5 kontrolleren via TCP/IP.
- Kjøre en enkel HMI.
- Kommunisere med Basler aAC2500 kamera.
- Bildebehandling ved bruk av OpenCV.
- Kommunisere med Arduino for avstandsmåling.
- Kommunikasjon mellom PLS(RT) og Windows (N-RT).

I kapittel 2.2.2 ble det forklart hvordan CX2040 har en RT og NRT del. I dette prosjektet kjøres kun PLS og dens funksjoner i RT mens maskinsynet kjøres i NRT som vist i Figur 3.12.



Figur 3.12 CX2040 struktur

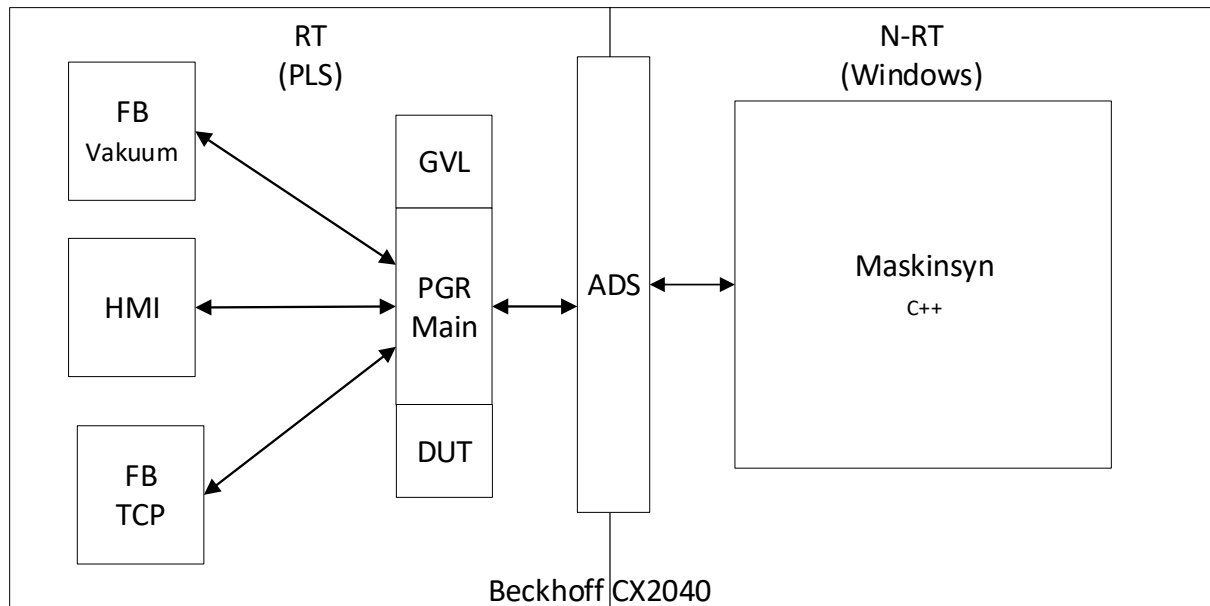
I/O Håndtering

Plat ehåndteringsverktøyet bruker vakuum for å plukke opp platene. Vakuum kretsen består av en 100 liters tank med vakuum pumpe, 2 x 3/2 veis magnetventil og 2 x trykksensorer og 4 x sugekopper. Vakuum kretsen er todelt og kan løfte platen selv når den ene kretsen er ute av drift, for illustrasjon av kretsen se [28]. En trykkbryter er montert på en av sugekoppen for å registrere om verktøyet kolliderer med platene.

CX2040 og modulene brukt i dette prosjektet er beregnet for 24V. Ventilene og trykk sensorene er også beregnet for 24V og kan enkelt kobles til kontrolleren. Se vedlegg B for I/O liste og komponent forklaring, se vedlegg C for koblingskjema av systemet.

3.3.2 Oppbygging av PLS logikk

Utvikling av PLS programmet ble gjort i TwinCAT 3. Figur 3.13 viser blokkene som utgjør PLS programmet. Alle blokkene ble programmert ved bruk av Strukturert tekst(ST), dette ble brukt fordi dette er et høynivåspråk der flere operasjoner/instrukser kan utføres med enkle kommandolinjer. ST kan sammenlignes med andre høynivåspråk som Pascal eller C, og dette ble sett på som en fordel da C++ og Rapid som også brukes i dette prosjektet er basert på C.



Figur 3.13 Utvidet CX2040 struktur

Et PLS program består av en eller flere programorganiseringsenheter (engelsk: Program organization unit, POU). Dette er måten en PLS holder orden. En POU blokk kan være en av tre typer:

- Program - returnerer en eller flere verdier ved utførelse. Etter et program er utført lagres alle verdiene fram til programmet blir utført på nytt.
- Funksjon - returnerer bare et data element ved utførelse. Data elementet kan være en rekke (engelsk: array).
- Funksjonsblokk - som returnerer en eller flere verdier ved utførelse.

Enhver POU kan kalle opp andre POU. Som regel vil et program inneholde kall/bruk av flere funksjoner og funksjonsblokker. Det er også mulig å kalle opp et program fra et annet program.

I denne avhandlingen er PLS programmet bygget opp med POU blokkene vist i Figur 3.13. Blokkene har forskjellig oppgaver og er forklart under:

- Main blokken er en program POU. Main blokken har høyest prioritet i PLSen og blir skannet hver syklus. Alle blokker blir tilkalt av Main programmet når det skal utføres. Maskinsyn programmet leser og skriver til variabler i Main blokken. Den inneholder også all systemlogikken, altså hva som skal gjøres og når.

- TCP blokken tilkalles av Main blokken for å utføres. Denne blokken håndterer all kommunikasjon med IRC5 kontrolleren. Kommunikasjonen forklares i kapittel 3.4.
- Vakuumblokken står for håndtering av I/O signalene fra verktøyet.
- GVL blokken er global variabel liste som inneholder variabler som brukes av flere blokker. Funksjonsblokkene og programblokkene inneholder også sine individuelle inngangsvariabler, utgangsvariabler og internvariabler.
- DTU blokken (engelsk: Data unit type) inneholder forskjellige datatyper som brukes til å lage forskjellige tilstander (engelsk: states).
- HMI blokken inneholder det grafiske grensesnittet operatøren ser. Denne blokken er grafisk programmert i TwinCAT 3's visualiseringsverktøy.

Main blokken

For å designe logikken til systemet måtte ønsket funksjonalitet beskrives, etter flere iterasjoner ble følgende funksjonalitet overveid som mest viktig.

- Åpne kommunikasjon med IRC5, sende og motta data.
- Bevege robot til hjem posisjon.
- Bevege robot til platelager.
- Bevege robot til test palle.
- Bevege robot til vegg.
- Ta bilde og estimere ny posisjon (platelager og vegg).
- Plukke opp eller plassere plate (platelager, test palle og vegg).
- Auto.
- Stopp.

For å gjøre systemet egnet for testing og feilsøking ble det bestemt at hver enkelt funksjonalitet kunne brukes manuelt samt kombineres for å skape automatiske funksjoner.

I starten var det meningen å ta med en snuoperasjon av platen, dette fordi platene blir levert slik at to plater ligger lakk mot lakk, da må ene platen snus før den kan plasseres på veggen. På grunn av tidsbegrensinger ble det valgt og se bort fra denne operasjonen da den ikke er vital for å få testet maskinsynet.

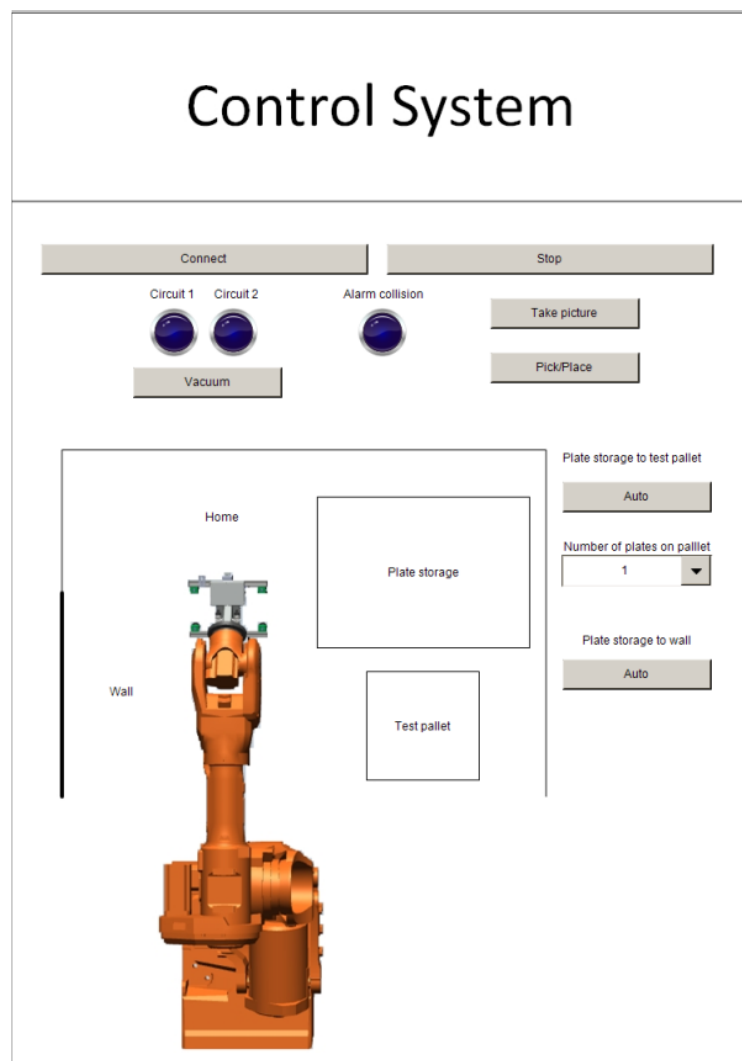
3.3.3 HMI

HMI er todelt i dette systemet, der den ene er laget i PLS programmet og den andre i maskinsyn programmet. HMien laget i PLS programmet har et enkelt designe der bruker kan operere systemet men får minimalt med informasjon. HMien i maskinsyn programmet gir informasjon om maskinsynets utførelse. Operatør kan ikke utføre operasjoner fra denne HMien. Begge HMiene er designet ved brukt av engelsk, så engelske ord i dette kapittelet beskrive knapper, alarmer og tilstander.

HMI tilknyttet PLS

TwinCAT 3 gjør det mulig å designe HMI med et dra og slipp grensesnittet eller HTML5. HMI kan også designes og kjøres fra N-RT delen av CX2040 kontrolleren. Dra og slipp grensesnittet ble valgt på grunn rask implementering og enkel bruk.

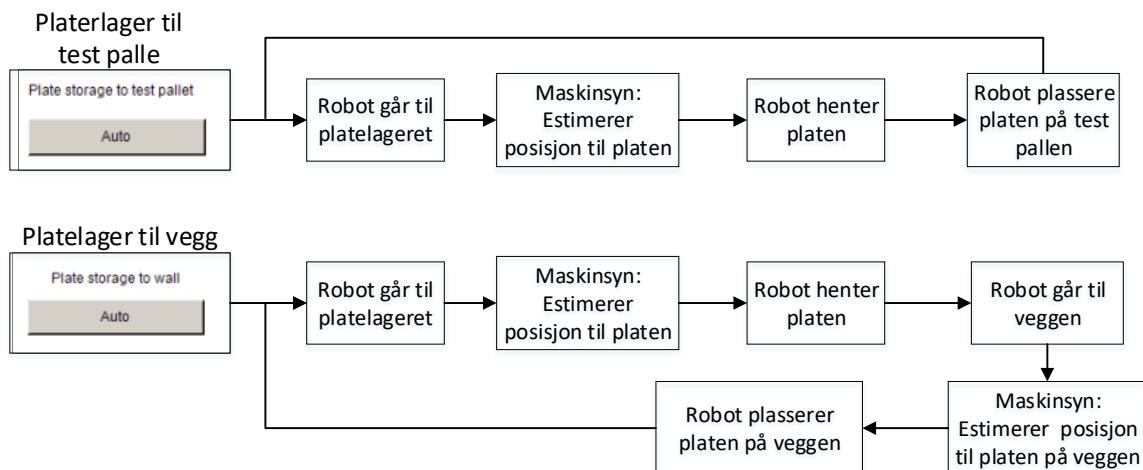
Figur 3.14 viser HMien utviklet for denne avhandlingen. Den består av et vindu. HMien er designet med en hvit bakgrunn for å gi god kontrast til farger som beskriver pågående prosesser og alarmer. Knappene er grå og lampene er blå når de ikke er aktiv. Knapper og lamper blir grønn når de er aktiv. Alarmer blir rød når de er aktiv. Robotcellen er vist i HMien. Roboten er et stillbilde men sonene lyser grønn når de er aktiv.



Figur 3.14 HMI i PLS

Det er to "Auto" knapper. Den øverste brukes når platene skal flyttes fra platelageret til test pallen. Når denne skal benyttes må det spesifiseres hvor mange plater som ligger ved platelageret. Dette gjøres i en nedtrekks meny under knappen.

Den nederste "Auto" knappen brukes til å hente plater ved platelageret og plassere de på veggen. Systemet kan foreløpig bare plassere en plate på veggen derfor tar denne operasjonen kun en plate på platelageret. Flyten til "Auto" knappene er beskrevet i Figur 3.15.



Figur 3.15 Auto funksjon

Knapper

- Connect - Starter kommunikasjonen med IRC5. Knappen vil lyse grønn så lenge kommunikasjonen er opprettholdt.
- Vacuum – Bruker kan manuelt slå av og på vakuum. Bruker trenger ikke tenke på dette ved Auto operasjoner.
- Stop – Stenger kommunikasjonen med IRC5 kontrolleren.
- Take picture – Aktiverer maskinsynet.
- Pick/Place – Bruker kan manuelt plukke opp eller plassere plate. Det fungerer ikke å manuelt plukke/plassere med mindre "Take picture" er gjennomført.

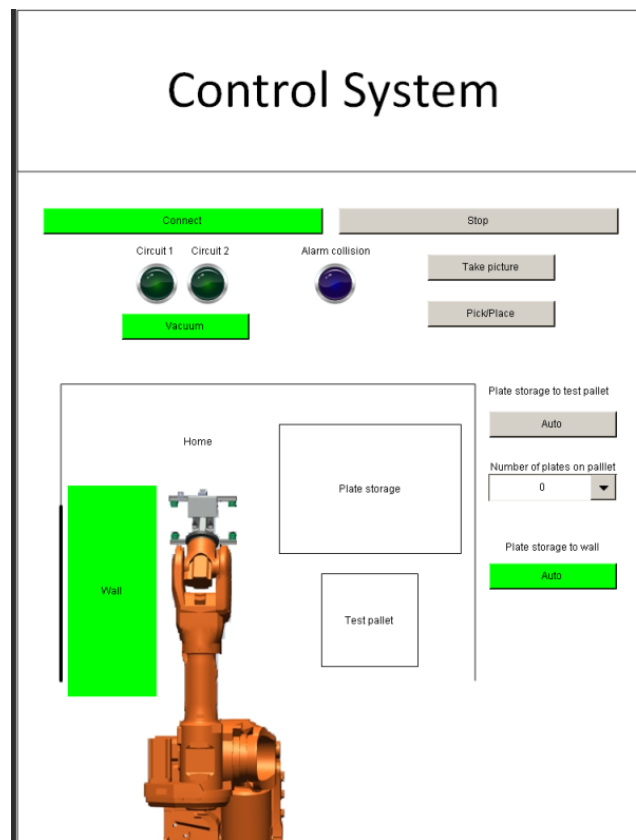
Lys

- Alarm collision – lyser rødt dersom trykk bryteren på verktøyet aktiveres, da er sugekoppene trykket for langt ned. Bruker trenger ikke gjøre noe da det er en sikkerhetskrets som går til IRC5 kontrolleren som stopper roboten.
- Circuit 1 and Circuit 2 – Lyser grønn når vakuum i kretsen er over 70%, som er tilstrekkelig for å løfte platen.

Figur 3.16 viser HMI mens den er i bruk. Følgende kan observeres:

- Connect – er aktiv.
- Auto (Plate storage to wall) – er aktiv
- Vacuum – er aktiv.
- Circuit 1 and Circuit 2 – er aktiv. Dette betyr at det er over 70% vakuum i begge kretsene. Vakuum verktøyet har da plukket opp en plate.
- Wall – er aktiv. Dette betyr at roboten er på vei til veggen. Når roboten har nå posisjonen som er definert som veggen blir den hvit igjen.

I HMIn vist i Figur 3.14 er det er også mulig å manuelt flytte på roboten uten og bruke "Auto" knappene. Ved å trykke inni robotcellen på "Home", "Wall", "Test palet" og "Plate storage" går roboten til disse posisjonene.



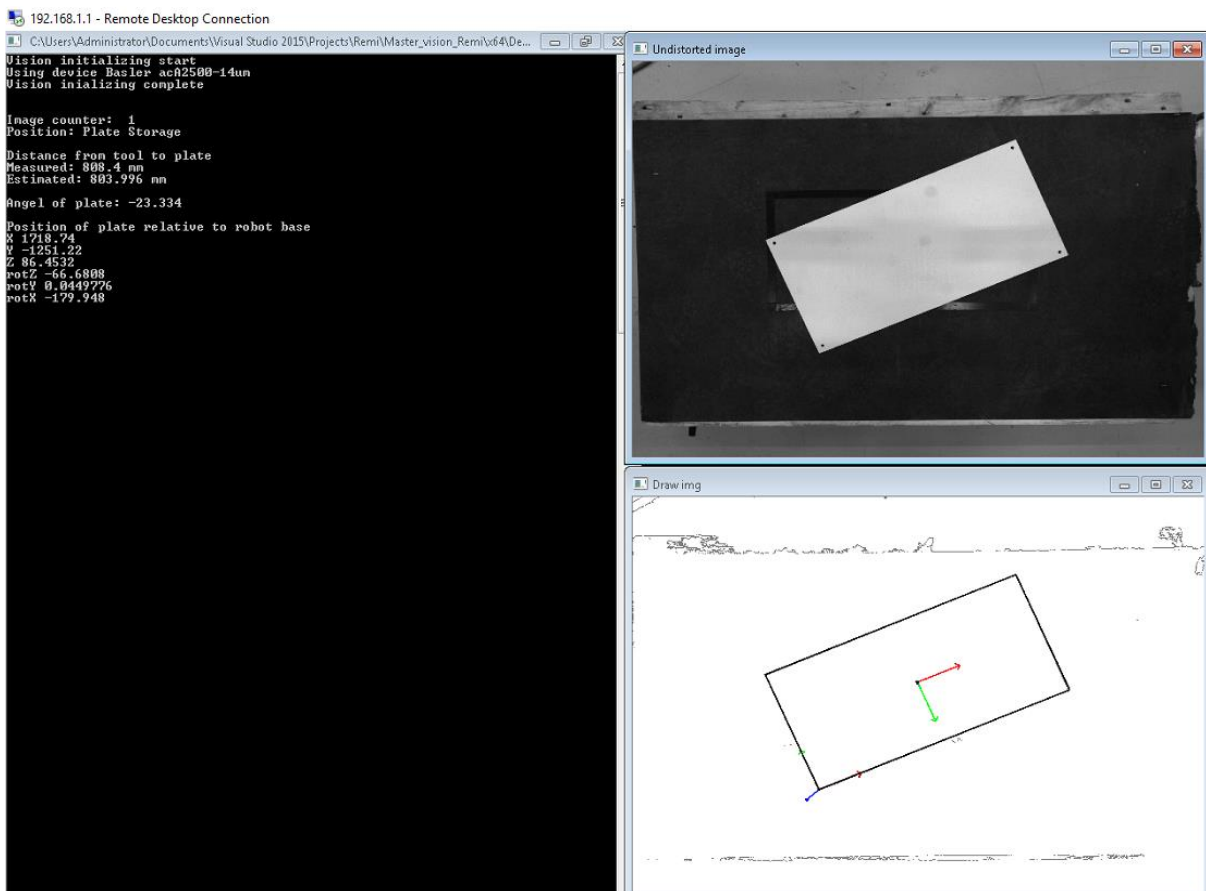
Figur 3.16 HMI i bruk

HMI tilknyttet maskinsynet

HMI tilknyttet maskinsynet er terminal utskriften fra C++ programmet som kjører maskinsynet. Operatøren kan ikke gi kommandoer, dette er bare for informasjon. Bilder fra maskinsynet kan ikke vises i HMIen tilknyttet PLSen. På grunn av dette ble det valgt å ha to separate HMIer. Figur 3.17 vis en todelt skjerm der til venstre vises terminalutskriften og til høyre vises to bilder tatt under maskinsyn prosessen.

Terminalutskriften viser følgende:

- Bildeteller.
- Posisjon – Om roboten er ved platelager eller vegg.
- Distanse fra verktøy til plate, både estimert og målt med Lidar sensor.
- Vinkel på platen.
- Posisjonen til platen relativ til robotens base.



Figur 3.17 Maskinsyn HMI

Bildene som blir vist er

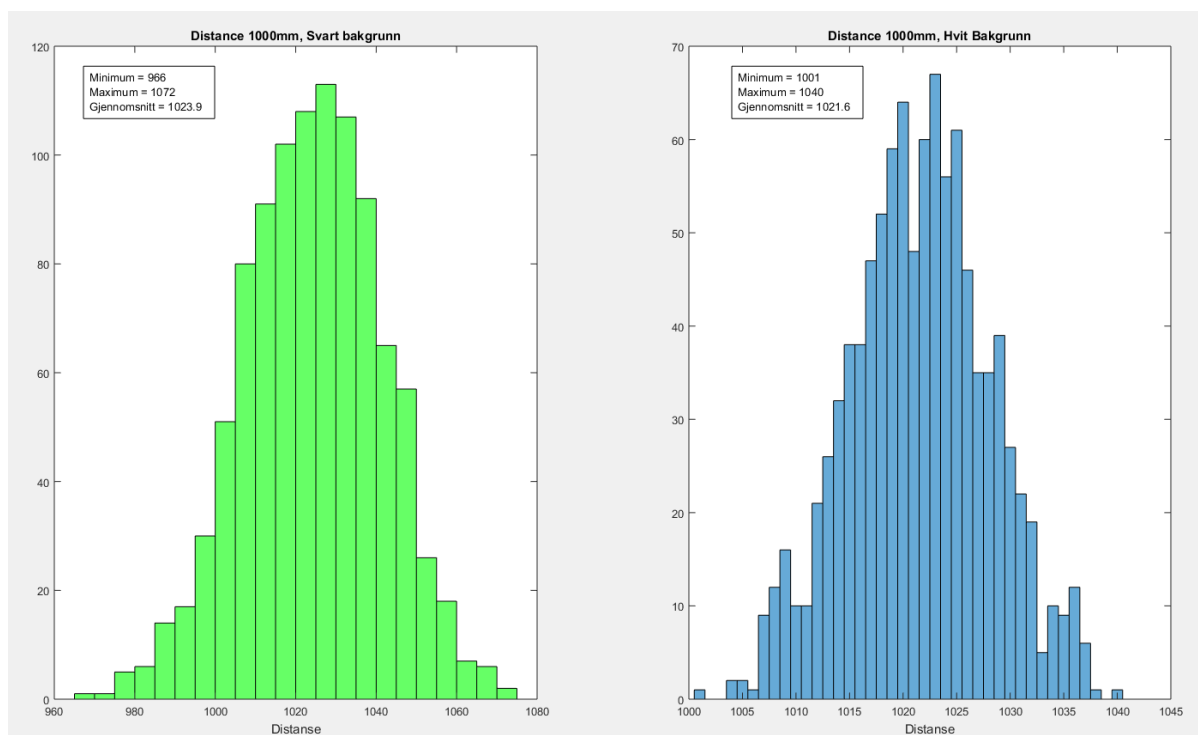
- Bilde tatt av maskinsynet (Uforvrent bilde)
- Estimert posisjon grafisk vist på platen. Koordinatsystem som kan observeres midt på platen er den estimerte midtposisjonen av platen. Rød pile er X-akse og grønn pil er Y-akse.

3.3.4 Avstandsmåling

Verktøyet kom med Adafruit VL53L0X Lidar sensor [28]. En Lidar måler avstand til et mål ved å lyse opp målet med et pulserende laserlys og måler den reflekterte pulsen. Sensoren bruker en snever lyskilde og er best til å måle avstand direkte foran sensoren. Sensoren kan håndtere målinger mellom 50 – 1200mm. Ut i fra omgivende lys og avstand vil sensoren gi en nøyaktighet på 3 til 12% [35]. Godt omgivende lys og skinnende overflater vil gi best resultat.

Sensoren kan leses av en mikrokontroller og krever spenning på 3V – 5V. Siden CX2040 kontrollere ikke kom med støtte for denne type målinger ble det valgt å implementere en Arduino for avstandsmåling. Arduino kommer ikke med Ethernet tilkobling men ved å montere et Ethernet-kort åpner denne muligheten seg. Arduino kan da kommunisere med CX2040 kontrollere.

En av utfordringene med denne sensoren var nøyaktighet. 3 til 12 % på en meter tilsvarer 30 til 120mm feil. Figur 3.18 viser 1000 distanse målinger gjort med Lidar sensoren. Det observeres at det er mindre differanse når Lidar sensoren måler direkte på den hvite platen framfor den svarte platen

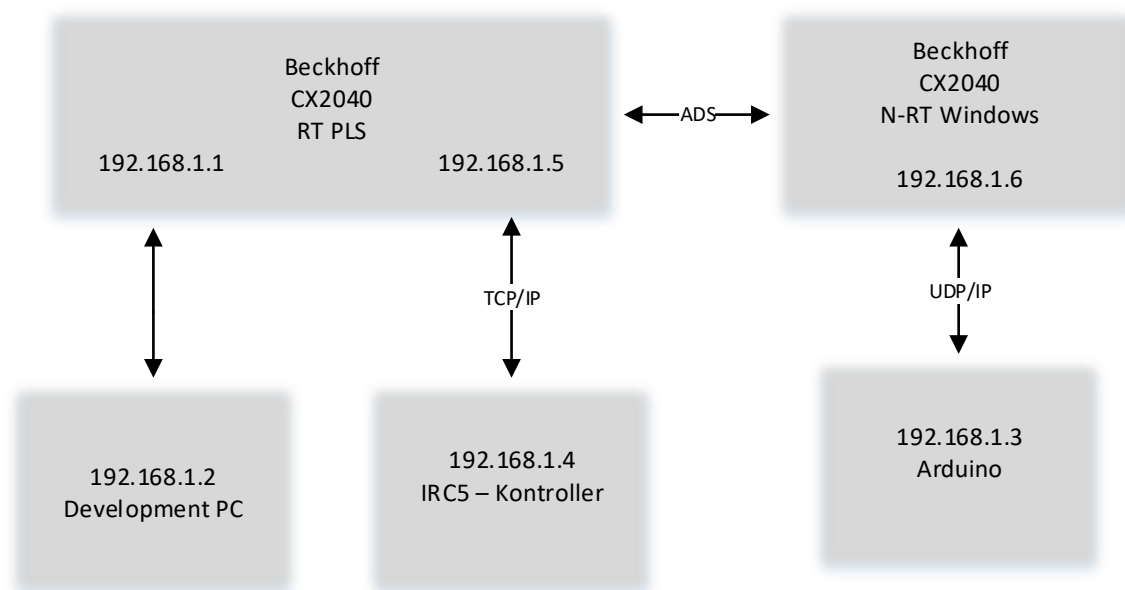


Figur 3.18 1000 målinger med Lidar sensor

På grunn av den store spredningen på målingene ble det valgt å ikke bruke denne under posisjonsestimering. Sensoren sammen med mikrokontrolleren var også noe ustabil da den ikke ville gi målinger i perioder. Sensoren er fortsatt i systemet og brukes til kontroll måling men har ikke en aktiv rolle i kontrollsystemet.

3.4 Kommunikasjon

I dette prosjektet er det forskjellige systemer som må kommunisere for at ønsket funksjonalitet skal oppnås. Figur 3.19 viser hvordan de forskjellige undersystemene kommuniserer sammen. Development PC'en er ikke nødvendig for å kjøre systemet da CX2040'en er satt opp slik at operatøren har tilgang til både PLS og maskinsyn HMI. Det er derimot mulig og monitorere og aktivt samhandle med PLS fra Development PC'en. CX2040 egnes ikke til utvikling av både PLS og N-RT applikasjoner samtidig da den går noe tregt, den egner seg best til å kjøre systemet og feilsøking.



Figur 3.19 System kommunikasjon

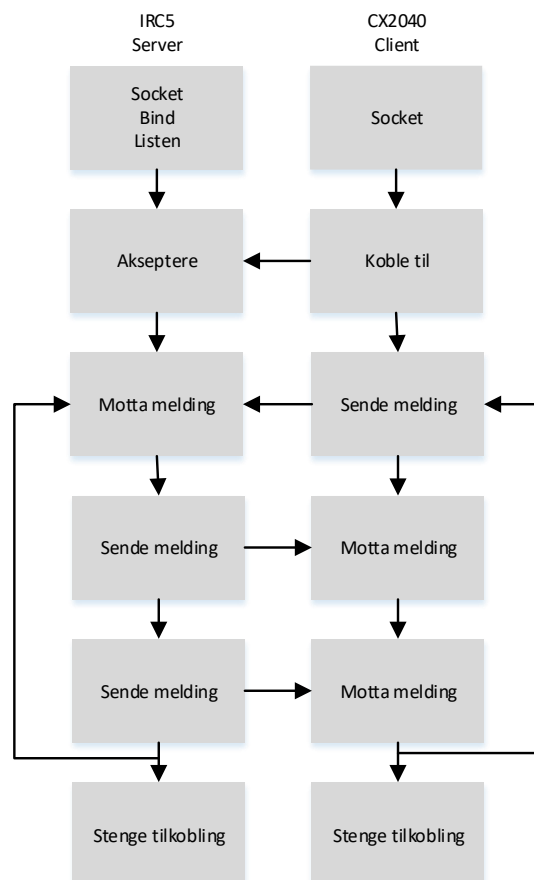
3.4.1 TCP/IP

Kommunikasjonen mellom PLS og IRC5 skjer via TCP/IP. Dette ble valgt da noe av koden til det tidligere prosjektet på denne roboten [28] ble gjenbrukt og der ble det brukt TCP/IP. Det er også en sikrere kommunikasjonsmåte en UDP.

Kommunikasjonen mellom PLS og IRC5 ble satt opp slik at IRC5 er server. Da lager IRC5 tilkoblingen og binder den. Deretter venter den på at noen skal prøve å koble seg til. Når CX2040 prøver å koble seg til vil IRC5 akseptere forbindelsen. Etter forbindelsen er opprettet vil IRC5 venter på en innkommende beskjed, da den bare har en utførende karakteristikk i dette systemet. Kommunikasjonen er satt opp som vist i Figur 3.20 og fungerer på følgende måte når tilkoblingen er etablert.

- IRC5 venter på data.
- CX2040 sender en predefinert streng av bokstaver og tall.
- IRC5 mottar, sjekker at den er definert og sender et ekko tilbake.
- IRC5 utfører handlingen definert.
- IRC5 bekrefter at handling er utført med å sende et nytt ekko.
- IRC5 venter på data (syklusen repeteres).

Og sende en streng av bokstaver og tall fram og tilbake er primitiv bruke av TCP/IP protokollen. Da strengen må deles opp og konverteres til brukbare datatyper i begge kontrollere.

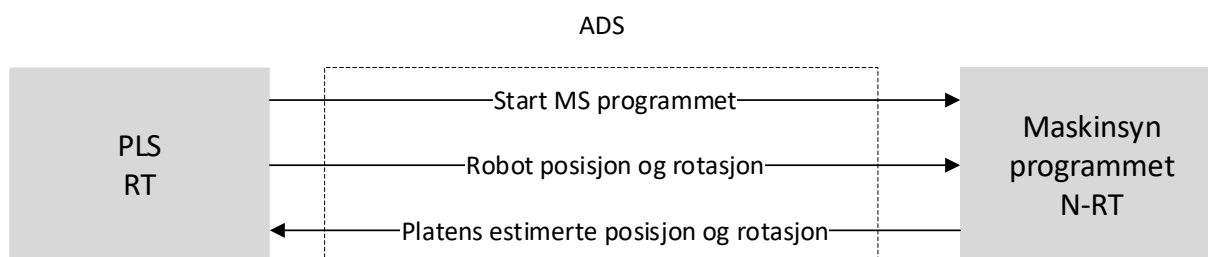


Figur 3.20 IRC5 og CX2040 kommunikasjon

3.4.2 ADS

ADS protokollen brukes mellom PLS og maskinsynet. Figur 3.21 illustrerer i hovedtrekk hvordan ADS kommunikasjonen brukes i dette systemet. PLS bestemmer når maskinsynet starter ved å sette en startvariabel høyt. Maskinsynet starter da en syklus der den tar et bilde og analyserer det. Når maskinsynet skal estimere platens posisjon trenger den robotens nåværende posisjon. Denne posisjonen sendes fra PLS til maskinsynet. Når platens posisjon er estimert sender maskinsynet denne til PLSen og videre handlinger kan utføres.

I dette systemet pakkes ikke variablene som sendes over ADS protokollen. Dette fordi Beckhoff har gjort det mulig å kalle variabler direkte med navn på en effektiv måte. I Figur 3.21 når platens estimerte posisjon og rotasjon sendes tilbake til PLSen blir dette gjort med mange variabler og ikke en.



Figur 3.21 ADS kommunikasjon

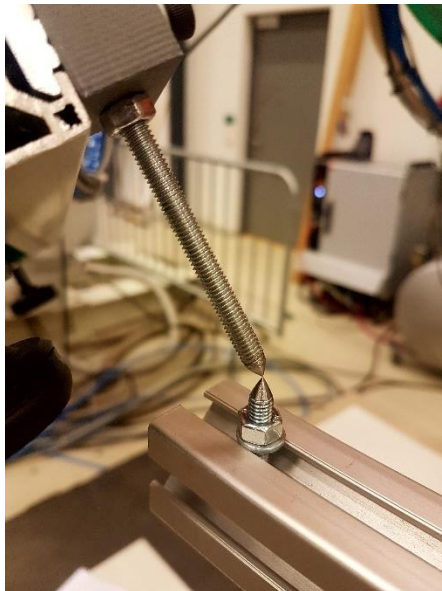
3.5 Kalibrering av robot

I dette kapittelet beskrives metodene bak implementering og kalibrering av ABB IRB6600.

3.5.1 Verktøy kalibrering

I dette prosjektet var det to tilgjengelige metoder for å finne verktøyets senter (VS): 3D-modell eller manuell kalibrering. Siden nøyaktigheten mellom 3D-modell og virkelige verktøyet var ukjent, og den relativt gode nøyaktigheten som kan oppnås med manuell kalibrering ble denne metoden valgt.

Manuell kalibrering er avhengig av operatørens ferdighet og øyemål for å treffe det kjente objektet. For å utføre kalibrering ble det 3D-printet en holder for en M6 bolt som kunne monteres på aluminiumsskinnene på verktøyet. M6 bolten ble slipt ned til en spiss som vist i Figur 3.22. Ved å bruke en lang bolt ga dette justeringsmuligheter for plassering. En slipt M6 bolt ble også brukt som referansepunkt under kalibrering.



Figur 3.22 Verktøy kalibrering

VS defineres med fire punkter [23]. Det er også mulig å definere koordinatsystemets retning når verktøyet kalibreres. Under kalibrering kan følgende metode defineres:

- TCP (Default orient.) – setter orientering av TCP lik som koordinatsystemet ved robotens base.
- TCP&Z – Setter orienteringen i ønsket Z retning.
- TCP&Z,X – Setter orientering i ønsket X og Z retning.

Når VS skal kalibreres er det fordelaktig og plassere kalibreringsverktøyet der ønsket VS skal være. Det var ikke mulig å plassere kalibrerings verktøy i midten av verktøyet grunnet ventilblokkene til vakuum systemet. Dette ble løst ved å plassere kalibreringsverktøyet utenfor ønsker VS også flytte det i ettertid.

3.5.2 Øye-hånd kalibrering

For å finne distanse og rotasjon, X , av kamera i forhold til VS utføres et øye-hånd kalibrering som beskrevet i 2.4.3. Sondre Tørdal har laget en MATLAB funksjon [36] som løser ligning 9 fra kapittel 2.4.3. Distanse og rotasjon mellom robot base og VS, H_t , kan hentes ut fra IRC5 kontrolleren. Distanse og rotasjon mellom kamera og kalibreringsmønster H_m hentes ut fra OpenCV.

For å få et tilfredsstillende resultat er det nødvendig med mange målepunkter og i tilfeldig rekkefølge. Kalibreringen ble automatisert til en viss grad. Et C++ program ble laget som kommuniserte med IRC5 kontrolleren og hentet ut H_t . Programmet tok også et bilde av kalibreringsmønsteret, analyserte dette og hentet ut H_m . Figur 3.23 viser kalibreringsmønsteret der algoritmene har funnet hjørnene og merket disse. Algoritmen har også funnet origo i mønsteret og merket dette med et koordinatsystem.

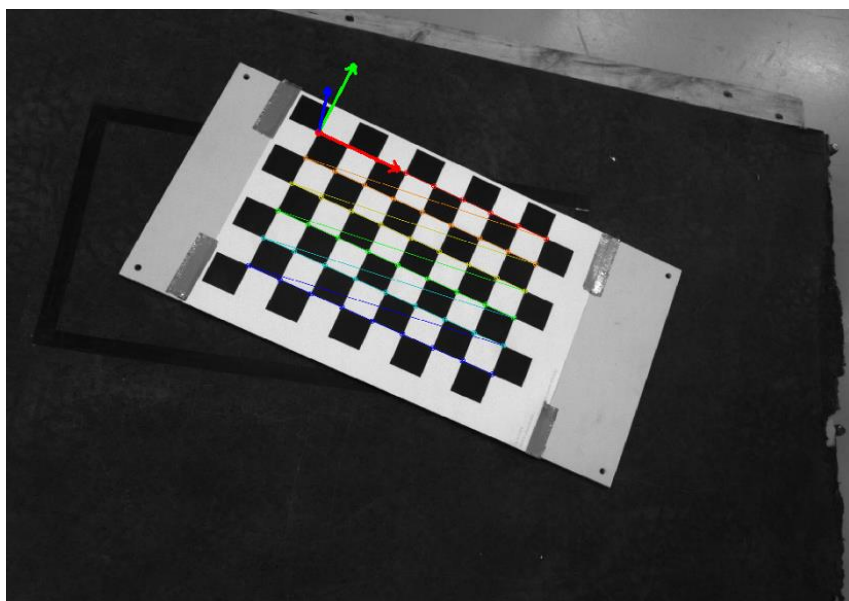
Kalibreringen fungert som følger:

C++ programmet

- Flytte roboten manuelt til ønsket posisjon.
- Trykk Enter for å kalkulere H_t og H_m .
- Lagrer automatisk H_t og H_m tile et .txt dokument.
- Repeter prosessen.

MATLAB programmet:

- Leser .txt filen og henter ut H_t og H_m .
- Kalkulerer A_i og B_i .
- Kalkulerer X som er distanse og rotasjon mellom VS og kamera.



Figur 3.23 Øye-hånd kalibrering

4 Resultat

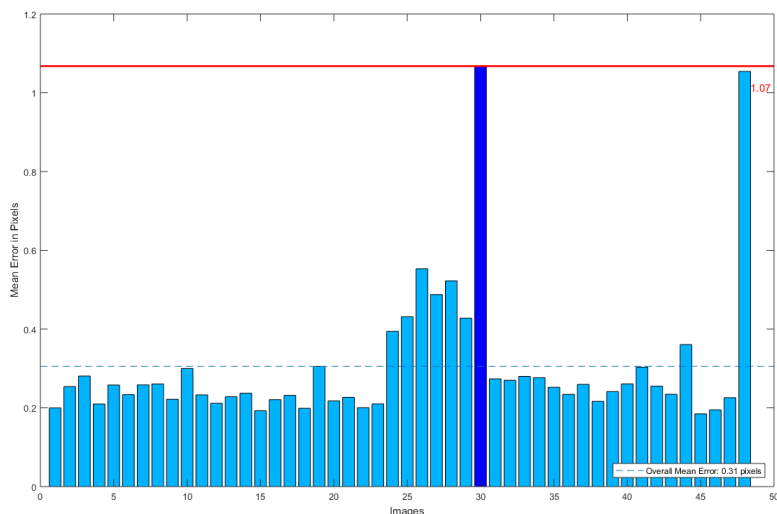
4.1 Kalibrering

Kalibrering av de forskjellige delene av systemet er en vital del for å oppnå ønsket virkemåte og god nøyaktighet og repeterbarhet. Kalibrering har vært en utfordring og i dette kapitlet vil resultatene fra kalibreringen vises og diskuteres.

4.1.1 Kamera kalibrering

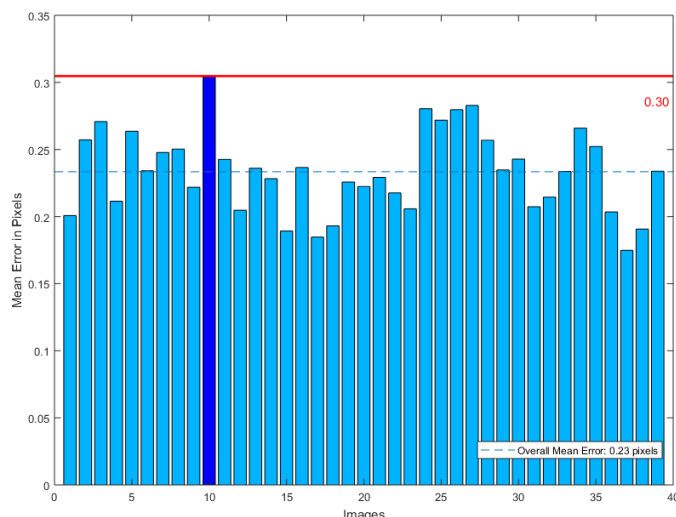
Kamera kalibrering ble utført flere ganger for å få best mulig resultat. For å få et tilstrekkelig resultat er det viktig å ta bilde over hele kameraets synsfelt. Det er også viktig å ta bildene av kalibreringsmønsteret fra forskjellige avstander og fra forskjellige vinkler.

Kalibrering ble utført med 48 bilder tatt fra forskjellige vinkler og avstander. Figur 4.1 viser gjennomsnittlig reprojeksjonsfeilene til hvert enkelt bilde. Ekstremverdier på over en piksel kan observeres. Disse ekstremverdiene kan forårsakes av bildestøy, feil på kamera eller objektoverflaten, ujevn belysning eller feil ved detektering av kalibreringsmønsteret [37].



Figur 4.1 Reprojeksjons feil

I denne avhandlingen vil bilder som forårsaker ekstremverdier bli fjernet. Kalibreringen ble kjørt på nytt etter disse ble fjernet. Figur 4.2 viser resultatet etter korrigerings. Gjennomsnittlig reprojeksjonsfeil etter korrigerings er på 0.23 piksler.



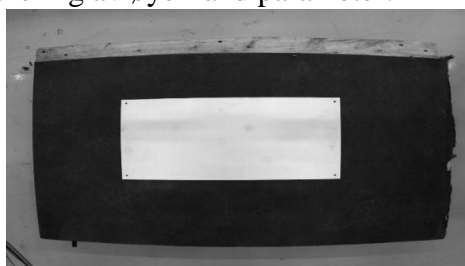
Figur 4.2 Reprojeksjons feil etter korrigering

Kalibreringen gav resultatene presentert i Tabell 4.1. Disse brukes for å korrigere bilde og resultatet kan observeres i Figur 4.3 som viser det originale bilde, og Figur 4.4 som viser det korrigerte bilde. Fokal lengden oppgitt er 4 mm og kalibreringen estimererte noe høyere verdi, dette er fordi justering av fokus endrer litt på fokal lengden. Senterpunktet uti fra kameras oppløsning er 1296x972 mens estimert er 1299.5x1025.5. I x- og y-retning er senter forskjøvet med 3.5 og 53.5 piksler.

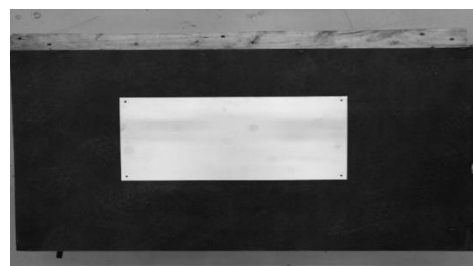
Kamera og linse kalibrering		
Fokal lengde	f_x	4.078 mm
	f_y	4.084 mm
Senterpunktet	c_x	1299.5 piksl
	c_y	1025.5 piksl
Radiell forvrenging koeffisient	k_1	-0.2608
	k_2	0.1386
	k_3	-0.0425
Tangentiell forvrengings koeffisient	p_1	$3.412 \cdot 10^{-5}$
	p_2	$1.0446 \cdot 10^{-4}$

Tabell 4.1 Resultater fra kamera kalibrering

Under kalibrering ble bildene tatt ved å manuelt jogge roboten til ønskede posisjoner. Dette er en tidkrevende prosess som kunne vært forbedret ved å lage et program som automatisk flytter roboten rundt og tar bilder. Kalibrering av kamera og linse kunne også vært kombinert med kalibrering av øye-hånd parameter.



Figur 4.3 Original bilde



Figur 4.4 Korrigert bilde

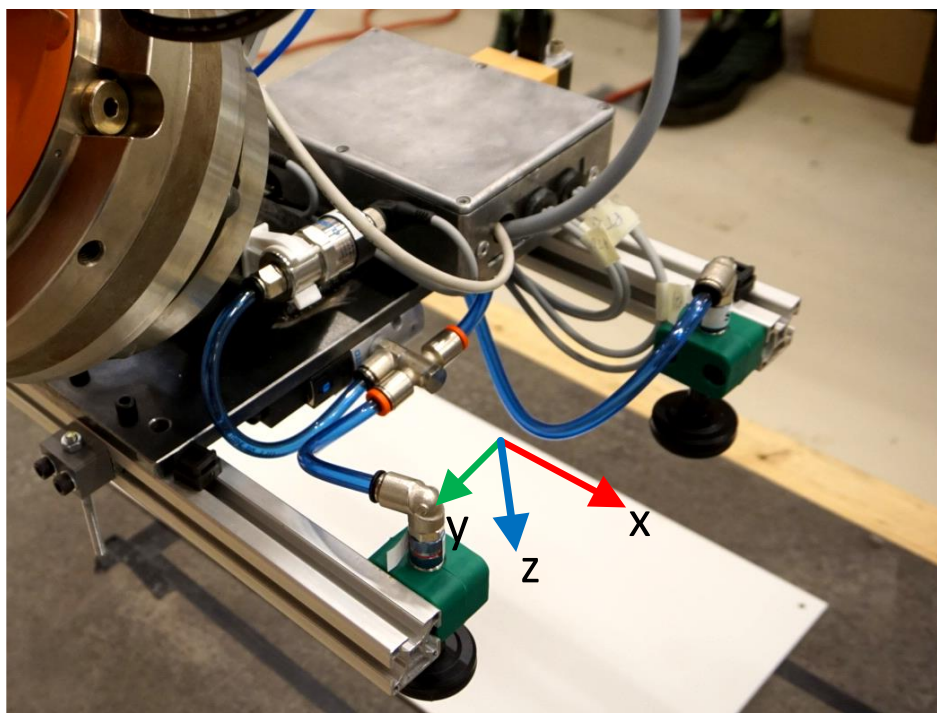
4.1.2 Verktøy kalibrering

Kalibrering av VS var en av de mindre tidkrevende kalibreringene, men tok noen forsøk. Etter gjentatte forsøk ble resultatene av kalibreringen akseptabel og disse er presentert i Tabell 4.2. Gjennomsnittsfel på 0.19 mm ble oppnådd etter flere forsøk og under 0.5 mm er sett på som akseptabelt. Først ble verktøyet grovkalibrert for å få et VS som kunne brukes når kalibreringen ble gjentatt.

VS kalibrering	
Max Error	0.2523 mm
Min Error	0.0160 mm
Gj.snitt Error	0.1958 mm
X	168.4338mm
Y	7.139796 mm
Z	159.5777mm

Tabell 4.2 Resultater av verktøysenter kalibrering

Orienteringen var litt vanskeligere å få korrekt ved manuell kalibrering. Dette ble løst ved å gjenbruke orienteringen fra den tidligere gruppen da denne stemte godt. Orienteringen ble rotert for å få samme orientering som kameraets koordinatsystem. Orienteringen er vist i Figur 4.5. X retning går langs de tverrgående aluminiumsskinnene. Y går langs senter av verktøyet og positiv Z retning går ut av verktøyet ned mot platen. Kalibreringsverktøyet kan observeres i bak kant av verktøyet og er montert på motsatt side i forhold til kamera. Spissen er montert slik at den er på samme nivå som bunnen av sugekoppene. Dette gjør at kalibrert VS bare må forflyttes langs Y akse for å finne ønskede VS. Dette ble gjort i RobotStudio.



Figur 4.5 Verktøyets koordinatsystem

4.1.3 Øye-hånd kalibrering

For å finne distansen og rotasjonen mellom kamera og VS ble det gjennomført øye-hånd kalibrering og en manuell måling. Kalibreringen var noe tidkrevende da roboten måtte manuelt jogges til forskjellige posisjoner. For å få et tilfredsstillende resultat er ca 60 målinger nødvendig [26]. Det ble gjennomført 30 målinger på grunn av tidsbegrensinger. Resultatene kan observeres i Tabell 4.3. Manuelle målinger og justeringer av verdiene gav bedre resultat enn kalibreringen. Dette ble testet ved å plassere verktøyet i senter av platen ved bruk av maskinsynet.

Kalibreringen og de manuelle målingene viser at det er en del forskjell mellom X-retning og Z-retning. Flere målinger er nok nødvendig for et mer tilfredsstillende resultat. Tiden kalibreringen tok var en begrensende faktor og prosessen kunne vært automatisert.

	Manuell [mm]	10 målinger [mm]	20 målinger [mm]	30 målinger [mm]
X	0	10.0	2.4	5.1
Y	-160.2	-191.5	-200.1	-196.8
Z	-30	-30.2	-27.1	-29.15

Tabell 4.3 Resultat av øye-hånd kalibrering

4.2 Maskinsyn

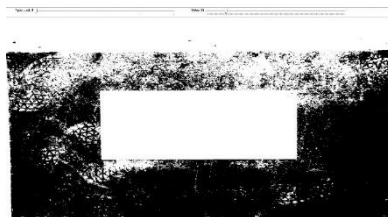
Her presenteres resultatene fra maskinsynet og posisjonsestimering. Hvordan dette ble testet vil også bli beskrevet.

4.2.1 Bildebehandling

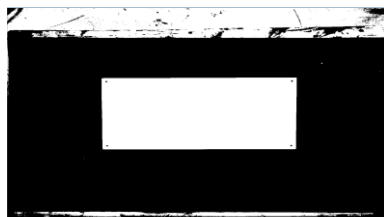
Metoden som brukes for å gjøre bilde binært har mye å si for hvor lang tid det tar å finne konturene i bilde. Som beskrevet tidligere er det to forskjellige forhold når platen skal plukkes/plasseres med forskjellige bakgrunner og lysforhold.

Platelager:

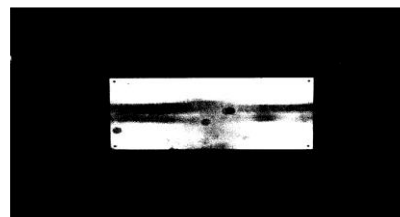
Ved platelageret stopper roboten i samme posisjon hver gang for å ta bilde av hele pallen. En enkel grenseverdi operasjon blir brukt. Dette ga et stabilt og rask bildebehandling. Flere forskjellige verdier ble testet for å finne optimal verdi. I Figur 4.6 er grenseverdien satt til 35, og konturalgoritmen ser etter sammenhengene hvite piksler. Dette er ikke en tilfredsstillende verdi da prosessen videre går tregt og det er vanskelig å skille plate fra bakgrunnen. Figur 4.7 viser grenseverdi på 120 og det er tydelig hvor platen starter og stopper. Høyere verdier fører til at platen begynner å blende inn i den svarte bakgrunnen igjen som vist Figur 4.8 hvor midten av platen begynner å forsvinne.



Figur 4.6 Platelager, grenseverdi 35



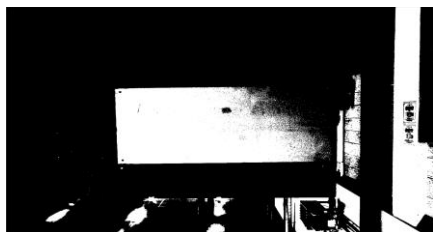
Figur 4.7 Platelager, grenseverdi 120



Figur 4.8 Platelager grenseverdi 190

Vegg:

I dette tilfellet var det nødvendig med andre metoder enn vanlig grenseverdi, da det var mye lysere bakgrunn og lettere for at bakgrunn blendet inn med bakgrunnen. Figur 4.9 viser vanlig grenseverdi operasjon og platen begynner å forsvinne ved grenseverdier lavere enn ved platelageret. Ved å bruke et slørings filter og OTSU grenseverdi metoden, vist i Figur 4.10, ble det tydelig hvor platen starter og slutter. Denne metoden førte til at maskinsynet stabilt og raskt fant platen.



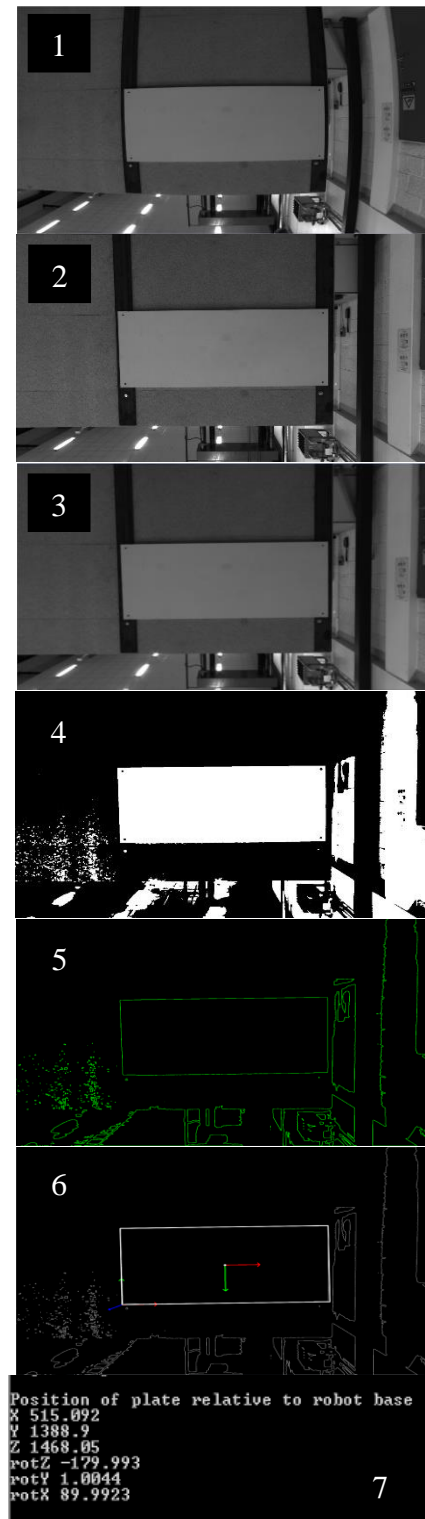
Figur 4.9 Vegg, grenseverdi 100



Figur 4.10 Vegg, OTSU grenseverdi metode

Maskinsynets arbeidsflyt når roboten er ved veggen er vist Figur 4.11. Arbeidsflyten ved platelagere veldig lik, eneste som endrer seg er som nevnt over, grenseverdioperasjonen.

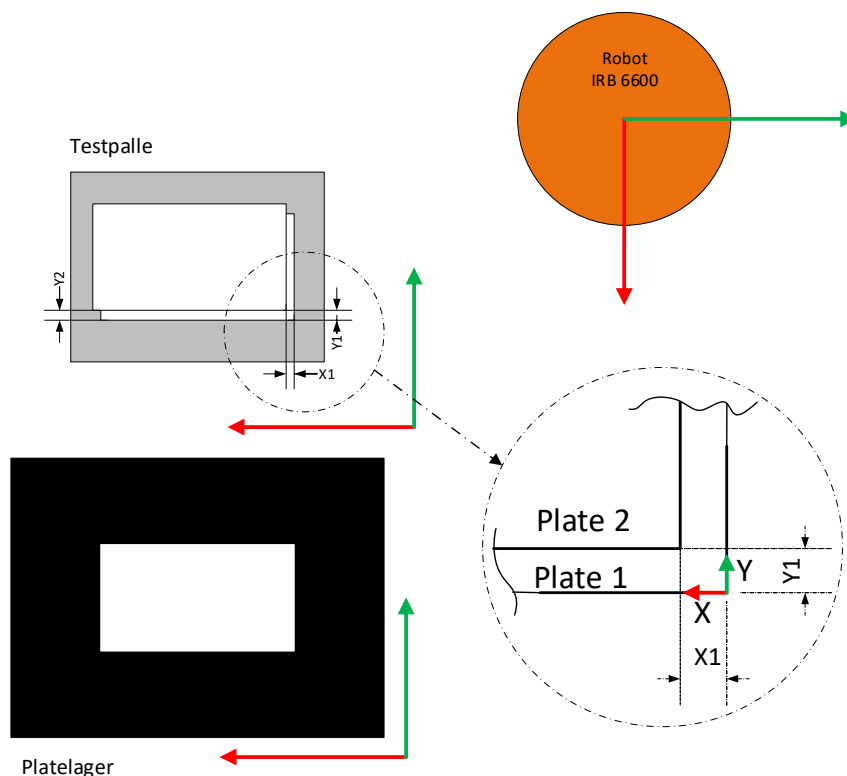
1. Kamera tar et svart/hvit bilde med maks oppløsning, 2592 piksler x 1944 piksler.
2. Forvrenging i bilde rettes opp.
3. Et slør filter blir tilført bilde.
4. OTSU grenseverdi algoritmen kjøres for å finne optimal grenseverdi, dette gjør bilde om til binære verdier.
5. Kontur algoritmen brukes for å finne alle konturene i bilde. De grønne strekene er konturene funnet
6. `cv::RotatedRect` algoritmen finner rektangelet i bilde og returnerer de 4 hjørnene til platen. Siden dimensjonen til platen er kjent brukes `cv::SolvePnP` algoritmen til å estimere platens posisjon iforhold til kamera.
7. Platens posisjon relativ til robotens base kalkuleres med kinematikken forklart i 3.2.4. Platens posisjon sendes til PLS.



Figur 4.11 Maskinsyn arbeidsflyt

4.2.2 Repeterbare av maskinsyn

For å teste maskinsynets nøyaktighet og repeterbarhet ble det satt opp noen tester. De første fire testene ble gjennomført ved å plukke opp plater ved platelageret og flytte de til testpallen. Platene plasseres på samme punkt på testpallen hver gang. Figur 4.12 viser oppsettet. For å måle hvordan maskinsynet opptrer under testene ble platene på testpallen målt i forhold til den første platen som blir lagt ned. Denne testen ble brukt for å kunne måle avviket mellom de plasserte platene. Skyvelære ble brukt for å utføre de fysiske målingene.



Figur 4.12 Testoppsett 1

De fire testene ble gjennomført følgende måte:

Test

1. 5 plater stablet midt på platelagere uten vridning flyttes med roboten til et fast punkt på testpallen. Testen er kjørt to ganger derav test 1.1 og 1.2.
2. 5 plater stablet midt på platelageret med vridning flyttes med roboten til et fast punkt på testpallen. Testen er kjørt to ganger derav test 2.1 og 2.2.
3. 5 plater lagt på pallen uten vridning, en etter en, en på midten og en i hvert hjørne. Testen er kjørt to ganger derav test 3.1 og 3.2.
4. 5 plater lagt på pallen med vridning, en etter en, en på midten og en i hvert hjørne. Testen er kjørt to ganger derav test 4.1 og 4.2.

Resultater test 1-4

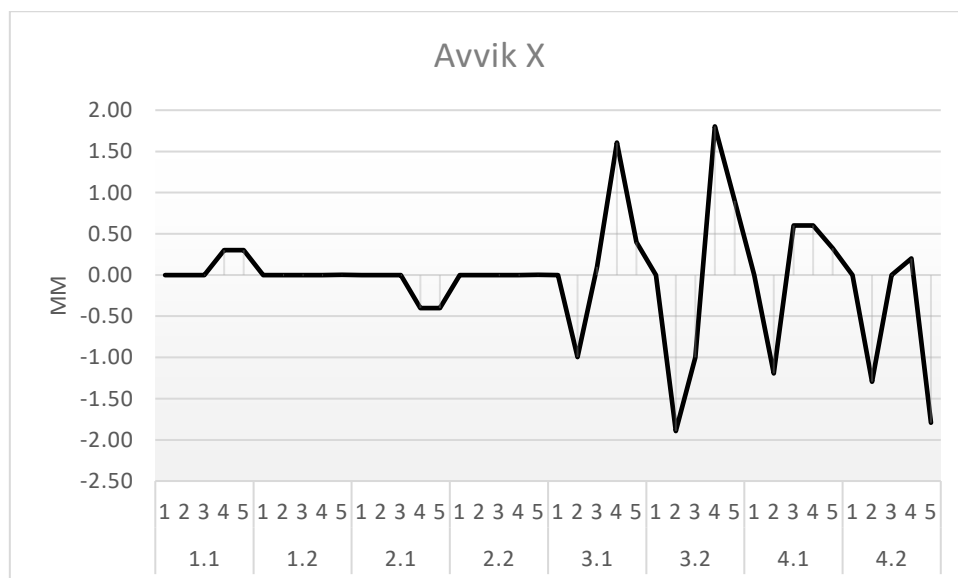
I Figur 4.12 viser X-retning langs den røde pilen og Y-retning langs den grønne. Avstandene X_1, Y_1, Y_2 blir målt fra en plate til neste. Disse blir så konvertert slik at avstanden er i forhold til den første platen lagt. X_1, Y_1, Y_2 brukes så til å regne ut platens senter punkt og vinkel. Avviket mellom platenes senter blir så plottet. De første testene viser at repeterbarheten er relativt høy nær senter av kamera, dette kan observeres i Figur 4.13 som viser et bilde fra test 1.1. Når platene ligger utenfor senter av kamera går repeterbarheten ned og det blir større avvik i både X og Y retning, dette er tydelig fra Figur 4.14 som viser et bilde fra test 3.1 Figur 4.15 viser avviket i X fra de fire første testene og igjen det kan observeres at ved test 1 og 2 er det relativt lite avvik men den øker ved test 3 og 4. Figur 4.16 viser avviket i Y-retning.



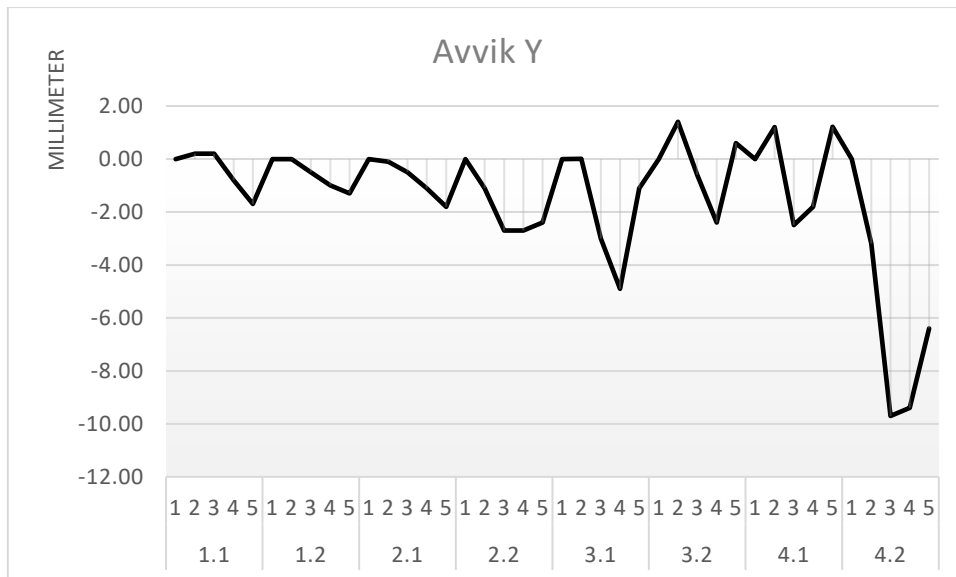
Figur 4.13 Illustrasjon av resultat ved test 1.1



Figur 4.14 Illustrasjon av resultat ved test 3.1

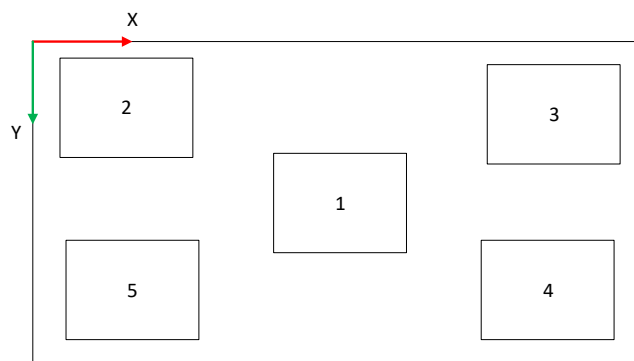


Figur 4.15 Avvik X ved test 1 til 4



Figur 4.16 Avvik Y ved test 1 til 4

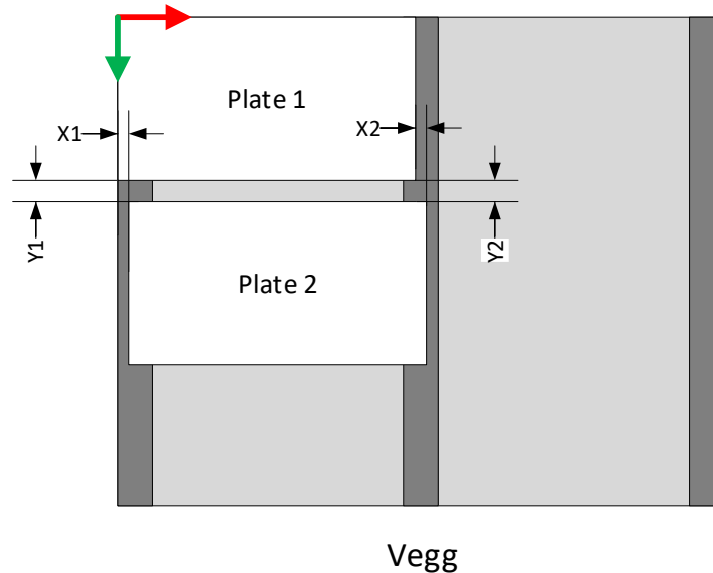
Det er en del usikkerhet ved test 1-4 da platene flytter seg litt når neste plate blir løftet av ved platelageret og når platene blir stablet oppå hverandre på testpallen. Det er også et usikkerhetsmoment ved å måle med skyvelære, men samme personen utfører målingene hver gang for å minske målefeil. Metoden med å måle ut ifra nederste platen kan gi følgefeil. Testene gir derimot en indikasjon på hvor eventuelle feilkilder kan være. En mulig grunn til at feilen blir større når platen flyttes ut fra senter av platen kan være den store forvrengingen i linsa og ikke tilstrekkelig kalibrering.



Figur 4.17 Platelager sektorer

Figur 4.17 viser hvordan platene kan ligge på platelageret ved test 4. Det ble observert under testing at maskinsynet estimerte korrekt distanse fra kamera til platen når platen lå i sektor 1,2 og 4. Når platen lå i sektor 5 estimerer maskinsynet for kort distanse og i sektor 3 estimeres for lang distanse.

For å gi en visuell beskrivelse av systemet ble det kjørt noen tester der roboten plukker opp platen fra platelageret og plasserer den på veggen. Da bruker roboten maskinsyn til både plukke og plasseringsoperasjonen. Figur 4.18 viser hvordan platene plasseres på veggen. Plate 1 henger på veggen, den henger på samme plass hele tiden, kamera tar bilde av plate 1 og plasserer da plate 2 i forhold til plate 1. Når det blir tatt bilde av plate 1 er den i senter av kamera, fordi fra foregående tester ble det vist at systemet blir mindre nøyaktig utenfor senter. Platene måles i forhold til hverandre med skyvelære.

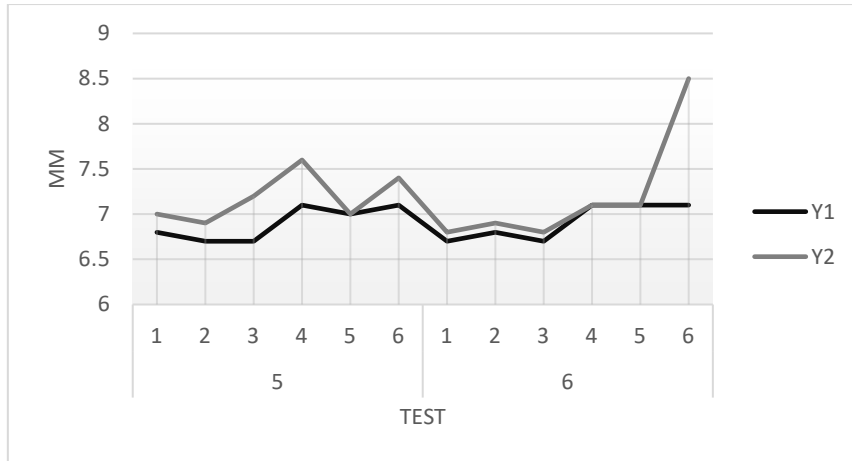


Figur 4.18 Testoppsett 2

Systemet er lagt opp slik at systemet kan plassere en plate under den som er fast plassert. Så den samme operasjonen blir gjentatt flere ganger. Følgende tester ble utført når platen skulle plasseres på vegg.

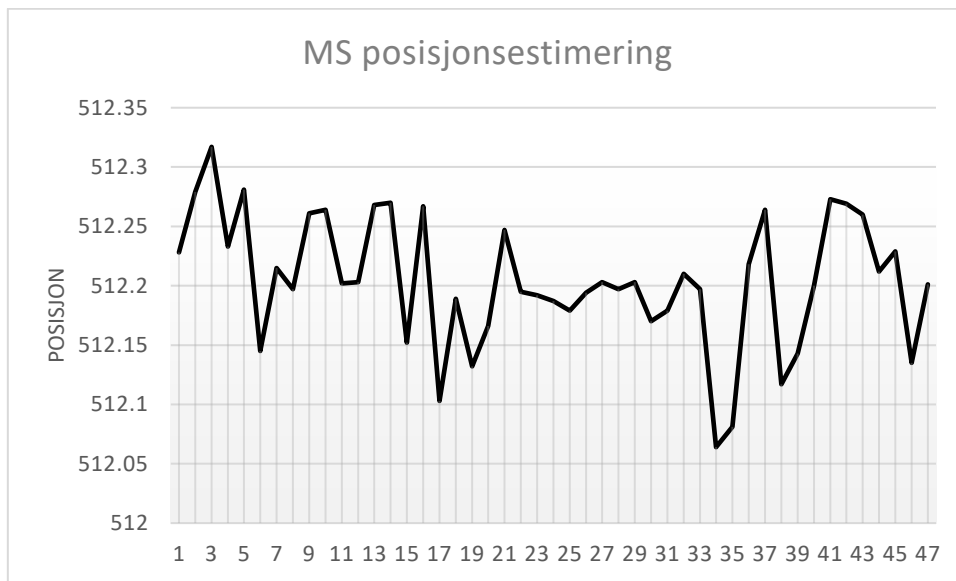
5. Plate ligger midt på platelagere uten vridning og blir plassert på veggen
6. Platen ligger midt på platelagere med vridning og blir plassert på veggen.

Figur 4.19 viser distansen mellom platen målt på to punkter Y_1 og Y_2 . Målingene viser at distanse mellom platene ligger rundt 7mm med maks distanse mellom de to punktene på 1.5mm. Test 5 og 6 viser potensialet i maskinsynet men flere tester er nødvendig.



Figur 4.19 Distanse mellom platene ved test 5 og 6

For å teste repeterbarheten til maskinsynet ble det tatt nesten 50 bilder av en plate montert på vegg fra en fast posisjon. Figur 4.20 viser at det er maksimum 0.3 mm variasjon, denne grafen viser estimert X-posisjon av platen. Y-posisjonens variasjonen er også 0.3 mm. Estimert distanse til platen har en variasjon på 1mm. Estimerte vinkler har en variasjon på 0.1 grader.



Figur 4.20 Estimert X-posisjon ved vegg

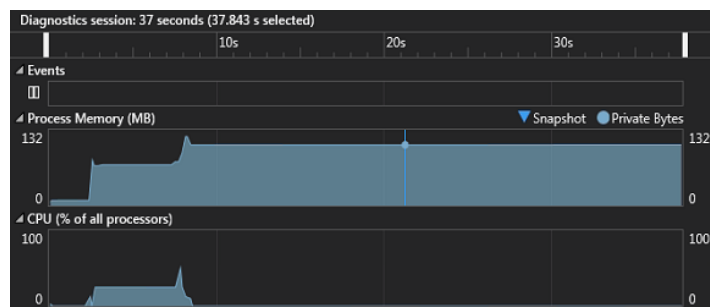
4.2.3 Tidsforbruk og ressursforbruk

For å gi en oversikt over de krevende prosessene i maskinsynet ble prosessene målt. Tabell 4.4 beskriver tiden til de fire hovedoppgavene. Tiden brukt for å ta et bilde og konvertere det til OpenCV er likt ved vegg og platelager. Dette gjelder også for fjerning av forvrenging som er den mest tidkrevende operasjonen. Om oppløsningen nedskaleres kan nok dette føre til mindre tidsbruk men dette vil igjen gå på bekostning av fordelene ved høy oppløsning. Bildeprosesseringen er grenseverdi- og kontur operasjonene. Denne prosessen varierer litt ut i fra om bilde er tatt ved vegg eller platelager, dette er fordi det brukes forskjellige grenseverdi operasjon som krever forskjellig mengde prosessering. Posisjonsestimeringen er det som er minst tidkrevende å gjennomføre.

	Tid ved platelager	Tid ved vegg
Ta et bilde og konvertere til OpenCV	0.6-0.7sek	0.6-0.7sek
Fjerne forvrenging	4.3-4.7sek	4.3-4.7sek
Bildeprosessering	0.1-0.2sek	0.4-0.7sek
Posisjonsestimering	0.1sek	0.1sek

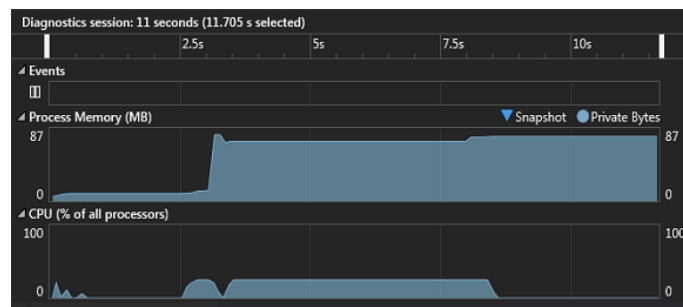
Tabell 4.4 Tidsbruk maskinsyn

Ressursforbruk kan overvåkes i Visual Studio. Figur 4.21 viser ressursforbruket ved en syklus. Prosessminne og brukt CPU kraft i % kan observeres. CPU kraft er oppe i 50% på et punkt av prosessen.



Figur 4.21 Ressursforbruk maskinsyn

Ved fjerne bildene som vises i HMlen kan nødvendig CPU kraft reduseres. Figur 4.22 viser ressursforbruket bare ved å gjøre denne forbedringen og nødvendig CPU kraft er redusert til 25%.



Figur 4.22 Ressursforbruk ved optimalisering

Verdiene vist over er uten å optimalisere koden. I Visual Studio kan programmer kjøres i feilsøkingmodus (engelsk: debug mode) eller utgivelsesmodus (engelsk: release mode). Testing av dette systemet er gjort i feilsøkingmodus og dette er fordi Visual Studio har en rekke verktøy som gjør feilsøking enklere. Utgivelsesmodus gir muligheter for å optimalisere den utviklede koden.

5 Diskusjon

Denne avhandlingen har vist hvordan Beckhoff CX2040 og OpenCV kan implementeres i et robotsystem. Detektering av et kjent objekt og posisjonsestimering er nøkkelegenskapene til systemet. Dette har blitt illustrert ved å finne en fasadeplate med en tilfeldig posisjon innenfor et avgrenset område og montere den på en vegg ved bruk av en industriell robotarm.

Maskinsynet brukte et Basler aAC2500 kamera med en 4 mm linse. Den høye oppløsningen på 5 Mp gav ett tilfredsstillende piksel/mm forhold som virket til å fungere bra til oppgaven. Den valgte linsen er på den billige siden av skalaen og har derfor mye geometrisk forvrengning. Det ble forsøkt å kalibrere kamera og linse for å motvirke dette. Dette viste seg å være vanskeligere enn antatt da maskinsynet har vanskeligheter med å estimere dybde ved enkelte sektorer i synsfeltet. En linse med mindre geometrisk forvrenging burde testes for å se om dette løser problemet.

OpenCV er et velutprøvd bibliotek. Implementeringen i dette systemet viste seg å være overkommelig selv med lite tidligere programmeringskunnskaper. Det faktum at OpenCV er åpen kildekode, og er veldokumentert bidrar til den enkle implementasjonen. Dersom OpenCV skal brukes er det viktig at systemutvikler er noe kritisk til dokumentasjonen også. Biblioteket er åpen kildekode noe som betyr at deler er skrevet av programvareutviklere og andre deler av entusiaster.

Bildebehandlingen gjennomføres med algoritmer fra OpenCV. Grenseverdioperasjoner og grensesporings metoder er hoveddelen av bildebehandlingen. Metodene brukt i dette prosjektet for lokalisering av ønskede konturer fungerer bra under forholdene gitt i laben. Det er usikkert hvor robust systemet er dersom forhold som lys og bakgrunnsfarger endres, dette er et naturlig steg for videre testing.

Posisjonsestimering ble gjort ved å bruke kjente dimensjoner i bilde. Algoritmene for denne operasjonen er tilgjengelig i OpenCV biblioteket. Posisjonsestimeringen finner posisjon og rotasjon ut fra fire kjente punkt, disse er fire av platens hjørner. Estimeringen blir gjennomført ut fra informasjon gitt fra et enkelt bilde. Dette viste seg å være problematisk på grunn av forvrengingen i linsen, som nevnt tidligere. En mulig løsning er å designe et kontrollsystem med kontinuerlig tilbakemelding framfor en enkel tilbakemelding. Kontrollsystemet kan da plassere robotarmen slik at kamera alltid er i senter av platen der nøyaktigheten er høyest.

Maskinsyn er prosesskrevende og valget av et 5 Mp kamera gjorde det ikke mindre krevende. Et ønske var å se hvordan Beckhoff CX2040 kontrolleren taklet maskinsyn prosesseringen og var stabil under alle operasjoner. Det som var krevende for kontrolleren var å fjerne forvrenginger fra bilde, noe som tok nesten fem sekund. Denne prosessen kan nok bli unngått med en linse med mindre forvrenging. Det hadde vært interessant å implementer et RT

kontrollsystem basert på maskinsyn og observert hvordan CX2040 kontrolleren hadde taklet dette.

C++ språket brukt til maskinsynet er et kraftfullt verktøy med mulighet for objektorientert programmering. I denne avhandlingen er dette ikke utnyttet, og maskinsyn programmet er noe langt og ustrukturert. Dette gjelder også PLS programmet, dette kunne også vært delt opp i flere blokker for å gi et mer oversiktlig og strukturert program.

Systemet består av et verktøy for håndtering av fasadeplatene. Verktøyet bruker sugekopper og vakuumpress til dette. Trykket blir overvåket av to trykk sensorer og styrt av to magnetventiler. Dette er implementert i CX2040 kontrolleren. Beckhoff har et stort utvalg av I/O moduler som gjør implementering skalerbart ut fra systemets størrelse. TwinCAT programvaren gjør også utvikling av systemer mer strømlinjeformet med sitt oversiktlige og brukervennlige grensesnitt. Dokumentasjonen til Beckhoffs produktportefølje er enkelt tilgjengelig på nett.

Kommunikasjonen mellom CX2040 og IRC5 ble gjennomført ved å sende en streng med bokstaver. Dette er noe primitivt og tungvint men fungerte til bruken her. Måten IRC5 og Rapid koden er bygget opp er også ikke ideelt. Skal roboten flyttes til nye posisjoner må dette programmeres i både IRC5 og CX2040 kontrolleren.

HMI til systemet har et minimalistisk design og er sparsom på informasjon. Det fungerer bra her i avhandlingen når utvikler også er operatør. Dersom flere skal bruke HMIen kunne dette vært forbedret. En HMI designet i N-RT delen med både robotstyring og maskinsyn informasjon i samme kunne vært et steg videre. Åpenkildekode programvare QT kunne vært implementert for å gi et mer moderne design enn HMIen som er implementert i dag.

Sikkerheten har hele tiden blitt ivaretatt under avhandlings perioden. Under alle operasjoner er systemet kjørt med robot i manuell modus. Dette betyr at operatøren må holde inne en bryter på "Flexpendanten" under kjøring. Slipper operatøren bryteren stopper roboten umiddelbart. I tillegg er det en sikkerhetskrets som stopper roboten dersom sugekoppene trykkes for langt inn. Flere sikkerhetstiltak som system alarm ved for lite vakuumpress kunne vært implementert.

Kalibrering var en utfordrende del av denne avhandlingen. Kalibrering av kamera og linse viste seg å ikke være tilstrekkelig over hele kameras synsfelt og trenger mer oppmerksomhet. Øye-hånd kalibreringen hadde også sine utfordringer og gav ikke ønskelige resultater. Parameterne måtte derfor justeres manuelt. Dette kunne muligens vært forbedret med flere målinger.

Gjennom design og byggeperioden har systemet gjennomgått kontinuerlig testing. Det har vært en stor fordel og hele tiden ha tilgang til det fysiske systemet. De avsluttende testene av systemet ble gjennomført og manuelle målinger med skyvelære brukes for å dokumentere resultatene. På grunn av tidspress ble skyvelære målinger valgt da det er enkelt å gjennomføre. Målingene gav gode indikasjoner på hvordan systemet opptrådte. Mer avanserte og nøyaktige målemetoder er et naturlig steg videre for å få mer absolutte indikatorer på systemets ytelse.

6 Konklusjon

Denne avhandlingen har vist at det er mulig å bygge et kontrollsystem basert på maskinsyn ved å bruke OpenCV biblioteket. Prosessen med å lokalisere og montere fasadeplater er simulert i et laboratorium. Kontrollsystemet er utprøvd gjennom gjentatt testing under kontrollerte forhold. Systemets styrker og svakheter er dokumentert under test perioden.

Posisjonsestimering ble gjennomført ved å bruke kjente dimensjoner i bilde og OpenCV algoritmer. Denne metoden ble implementert med gode resultater i senter av bilde og varierende resultater jo lenger objektet beveger seg fra senter. Gjentatte tester har vist at en av de store utfordringene med maskinsyn-basert kontrollsystemer, er kalibreringen involvert. Dersom kalibrering ikke er gjort med tilstrekkelig gode resultater vil det påvirke videre kalibrering og tilslutt det fulførte systemet.

Beckhoff CX2040 kontrolleren fungerte bra som hovedkontroller i systemet og taklet maskinsynet bra. Systemet som er utviklet, har et forbedringspotensial, og da spesielt kalibrering, kommunikasjon og HMI. Systemet har potensial som en plattform for videre utvikling.

7 Referanser

- [1] A. K. Knutsen, «Bruker offshoret teknologi i byggeprosjekter,» Forskningsrådet, 14 August 2017. [Internett].
Available: https://www.forskningsradet.no/no/Artikkel/Bruker_offshoret_teknologi_i_byggeprosjekter/1254028353572.
[Funnet Januar 2018].
- [2] P. Corke, *Robotics, Vision and Control*, Springer-Verlag, 2013.
- [3] OpenCV, «Camera Calibration and 3D Reconstruction,» November 2017. [Internett].
Available: https://docs.opencv.org/2.4/modules/calib3d/doc/camera_calibration_and_3d_reconstruction.html#calibrationmatrixvalues.
[Funnet Desember 2017].
- [4] Zhengyou Zhang, «A Flexible New Technique for Camera Calibration,» *IEEE transactions on pattern analysis and machine intelligence*, VOL. 22, pp. 1330-1334, 2000.
- [5] J. Heikkila og O. Silvén, «A Four-step Camera Calibration Procedure with Implicit Image Correction,» *IEEE International Conference on Computer Vision and Pattern Recognition*, 1997.
- [6] OpenCV, «Basic Thresholding Operations,» Desember 2018. [Internett].
Available: https://docs.opencv.org/master/db/d8e/tutorial_threshold.html.
[Funnet Desember 2017].
- [7] N. Otsu, «A Threshold Selection Method from Gray-Level Histograms,» *IEEE transactions on systems, man, and cybernetics*, vol. 9, nr. 1, pp. 62-66, 1979.
- [8] S. Suzuki og K. Abe, «Topological structural analysis of digitized binary images by border following,» *Computer Vision, Graphics, and Image Processing* 30, pp. 32-46, 1985.
- [9] Wikipedia, «Perspective-n-Point,» 17 September 2017. [Internett].
Available: <https://en.wikipedia.org/wiki/Perspective-n-Point>.
[Funnet Januar 2018].

- [10] OpenCV, «Real Time pose estimation of a textured object,» 18 Desember 2015. [Internett].
Available: https://docs.opencv.org/3.1.0/dc/d2c/tutorial_real_time_pose.html.
[Funnet Januar 2018].
- [11] Wikipedia, «Levenberg–Marquardt algorithm,» 9 Januar 2018. [Internett].
Available: <https://en.wikipedia.org/wiki/Perspective-n-Point>.
[Funnet Januar 2018].
- [12] OpenCV, «OpenCV,» 2018. [Internett].
Available: <https://opencv.org/>.
[Funnet Januar 2018].
- [13] OpenCV, «License,» 2018. [Internett].
Available: <https://opencv.org/license.html>.
[Funnet Januar 2018].
- [14] Stackoverflow, «Stackoverflow,» [Internett].
Available: <https://stackoverflow.com/>.
[Funnet Januar 2018].
- [15] Github, GitHub inc, 2018. [Internett].
Available: <https://github.com/>.
[Funnet Januar 2018].
- [16] D. H. Hanssen, Programmerbar Logisk Styling, Bergen: Fagbokforlaget, 2015.
- [17] Beckhoff, «Beckhoff.com,» Beckhoff, Januar 2018. [Internett].
Available: <http://www.beckhoff.com/default.asp?start/default.htm>.
[Funnet Januar 2018].
- [18] Store Norske leksikon, «TCP/IP,» Oktober 2017. [Internett].
Available: <https://snl.no/TCP/IP>.
[Funnet November 2017].
- [19] Beckhoff, «ADS Communication,» [Internett].
Available:
https://infosys.beckhoff.com/english.php?content=../content/1033/bc9000/html/bt_ethernet%20ads%20potocols.htm&id=.
[Funnet Januar 2018].
- [20] ABB, «ABB Robotics,» [Internett].
Available: <http://new.abb.com/products/robotics>.
[Funnet Januar 2018].

- [21] ABB, «IRB 6600,» [Internett].
Available:
[http://www02.abb.com/global/inabb/inabb509.nsf/0/579e92967cad8bd16525703b00306b3e/\\$file/Robotics+IRB6600.pdf](http://www02.abb.com/global/inabb/inabb509.nsf/0/579e92967cad8bd16525703b00306b3e/$file/Robotics+IRB6600.pdf).
[Funnet Januar 2018].
- [22] L. Sciavicco og B. Siciliano, *Modelling And Control of Robot Manipulators*, Springer.
- [23] ABB, «Defining the tool frame,» [Internett].
Available:
<http://developercenter.robotstudio.com/BlobProxy/manuals/IRC5FlexPendantOpManual/doc99.html>.
[Funnet 12 2017].
- [24] G. Bergstrom, «Method for calibration of off-line generated robot program,»
Chalmers University of Technology, Göteborg, 2011.
- [25] J. Hallenberg, «Robot Tool Center Point Calibration,»
Linköpings University, Linköping, 2007.
- [26] F. C. Parker og B. J. Martin,
«Robot Sensor Calibration: Solving $AX=XB$ on the Euclidean Group,»
IEEE transactions on robotics and automation, vol. 10, nr. 5, pp. 717-721, 1994.
- [27] R. Askeland, «Implementering av maskinsyn for montering av fasadeplater,»
23 Januar 2018. [Internett].
Available: <https://www.youtube.com/watch?v=6JfOcpnPhUQ&t=5s>.
[Funnet Januar 2018].
- [28] G. A. Aspheim, K. Bjørlykstøl og Ø. Vatne,
«Utvikling av verktøy for handtering og montering av fasadeplater med robot,»
Universitetet I Agder, Grimstad, 2017.
- [29] Logitech, «Logitech,» November 2017. [Internett].
Available: http://support.logitech.com/en_us/product/webcam-c260/specs.
- [30] Basler, «Basler ace acA2500-14um,» Basler AG, 2017. [Internett].
Available: <https://www.baslerweb.com/en/products/cameras/area-scan-cameras/ace/aca2500-14um/>.
[Funnet Desember 2017].

- [31] Edmund Optics, «Edmund Optics,» November 2017. [Internett].
Available: <https://www.edmundoptics.com/imaging-lenses/fixed-focal-length-lenses/4mm-uc-series-fixed-focal-length-lens/>.
- [32] C. Dahms, «OpenCV 3 Windows 10 installation Tutorial,» 6 August 2017. [Internett].
Available:
https://github.com/MicrocontrollersAndMore/OpenCV_3_Windows_10_Installation_Tutorial.
[Funnet September 2017].
- [33] Basler, «Getting Started with pylon and OpenCV,» November 2017. [Internett].
Available: https://www.baslerweb.com/fp-1476182890/media/downloads/documents/application_notes/AW00136101000_Getting_Started_with_pylon4_and_OpenCV.pdf.
- [34] Steni, «Steni Color Technical Datasheet,» Januar 2018. [Internett].
Available:
http://www.steni.no/docs/steni.no/02_teknisk%20dokumentasjon/teknisk%20datblad/teknisk%20datasheet%20steni%20colour.pdf.
[Funnet Januar 2018].
- [35] Lady Ada, «Adafruit VL53L0X Time of Flight Micro-LIDAR Distance Sensor Breakout,» Adafruit, 12 Juli 2017. [Internett].
Available: <https://learn.adafruit.com/adafruit-vl53l0x-micro-lidar-distance-sensor-breakout/overview>.
[Funnet Oktober 2018].
- [36] S. Tørdal, «HandEyeParkMartin.m,» 9 Mars 2017. [Internett].
Available: <https://github.com/sondre1988/matlab-functions/blob/master/src/HandEyeParkMartin.m>.
[Funnet Januar 2018].
- [37] O. Semeniuta, «Analysis of camera calibration with respect to measurement accuracy,» i *48th CIRP International Conference on Manufacturing Systems (CIRP CMS 2015)*, Ischia, 2015.

8 Vedlegg

A. Masteroppgave MAS500, høst 2017:

Tittel: Utvikling av Kontrollsystem og Instrumentering for Kamera Montert på Robot

Kontaktperson ved UiA: Geir Hovland

Kontaktperson ved MacGregor Norway AS: Arne Tomstad

Ved Universitetet i Agder ble det i løpet av våren 2017 utviklet et verktøy i et Bachelorprosjekt for en industrirobot for å håndtere plater som skal monteres på en vegg, se bilder nedenfor.



Figur 52: Bilde av robotcelle etter alle platene er hengt opp.



Figur 53: Bilde av montering av plate på vegg.

I oppgaven ble et vanlig USB-kamera benyttet samt en LattePanda Single-Board-Computer (SBC) benyttet til bildebehandling. Denne SBC'en kjører både Windows med LabView for bildebehandling samt en Arduino for vakuumsensorer, lasermåler, og digitale signaler for overvåkning av verktøyets funksjoner.

Systemet som ble utviklet i det nevnte prosjektet fungerte rimelig bra, men det viste seg at kameraet hadde for dårlig oppløsning til at platene sin posisjon kunne estimeres nøyaktig nok.

I Masteroppgaven ønskes det at det jobbes med følgende:

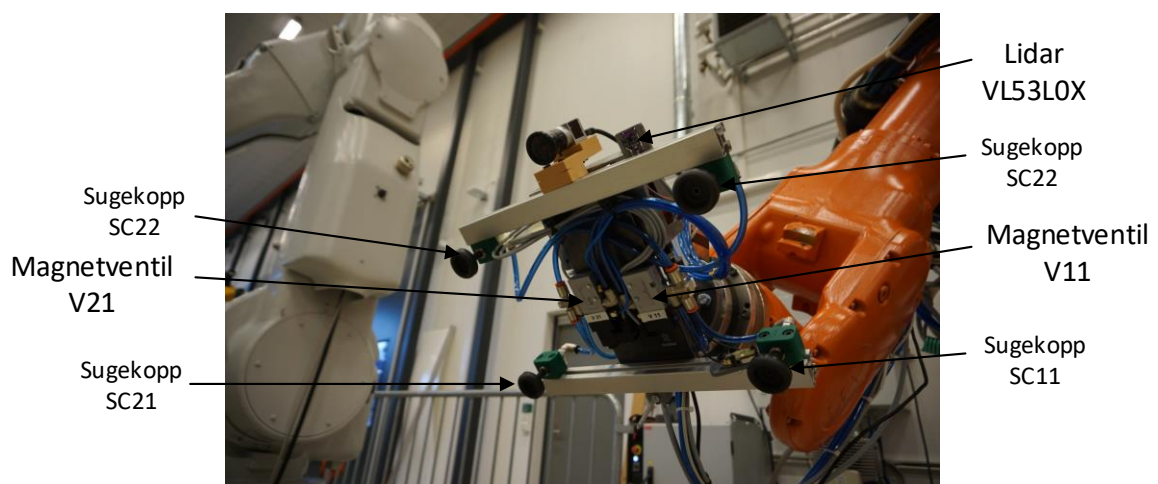
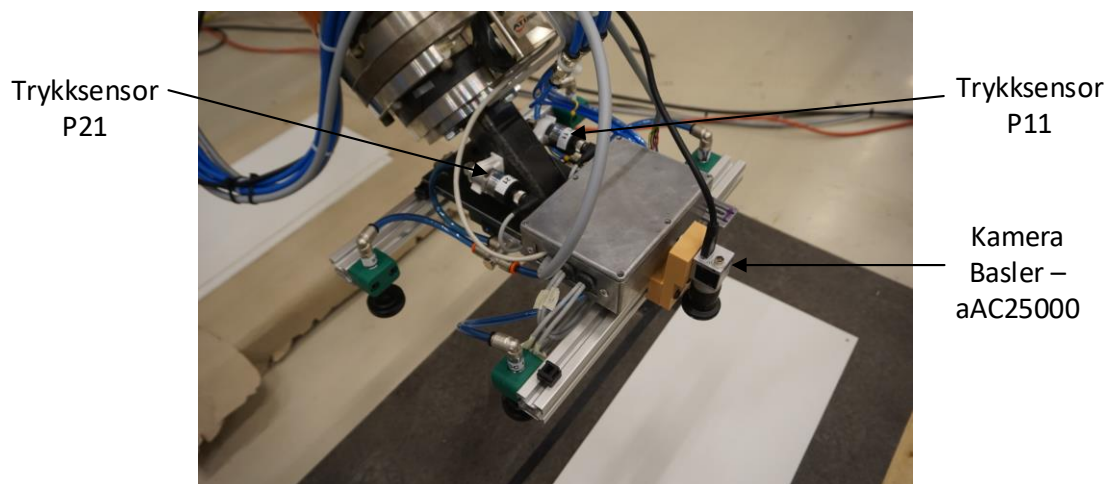
- Et eller flere 2D kamera (4K), vurdere IP kamera, bedre oppløsning enn det som ble brukt i Bachelorprosjektet våren 2017.
- Bruke en Beckhoff CX2040 som hovedkontroller til systemet og denne er plassert på bakken og ikke på verktøyhodet. Beckhoff PLC styrer all I/O og hovedfunksjoner slik at systemet blir mer ryddig.
- I stedet for spikere ønskes det at magneter (tape) benyttes for å feste platene på vegg
- Stendere vertikale eller horisontale i stål (firkantrør, 50mm) benyttes. Senteravstand mellom stendere er 600mm.
- Lage et kalibreringspunkt på verktøyet.
- Lage en HMI som kjører på Beckhoff sin Embedded Windows PC.
- Det kan antas at den første platen allerede er montert på forhånd. De andre platene skal monteres relativt til denne.

Viktige resultater å få svar på er:

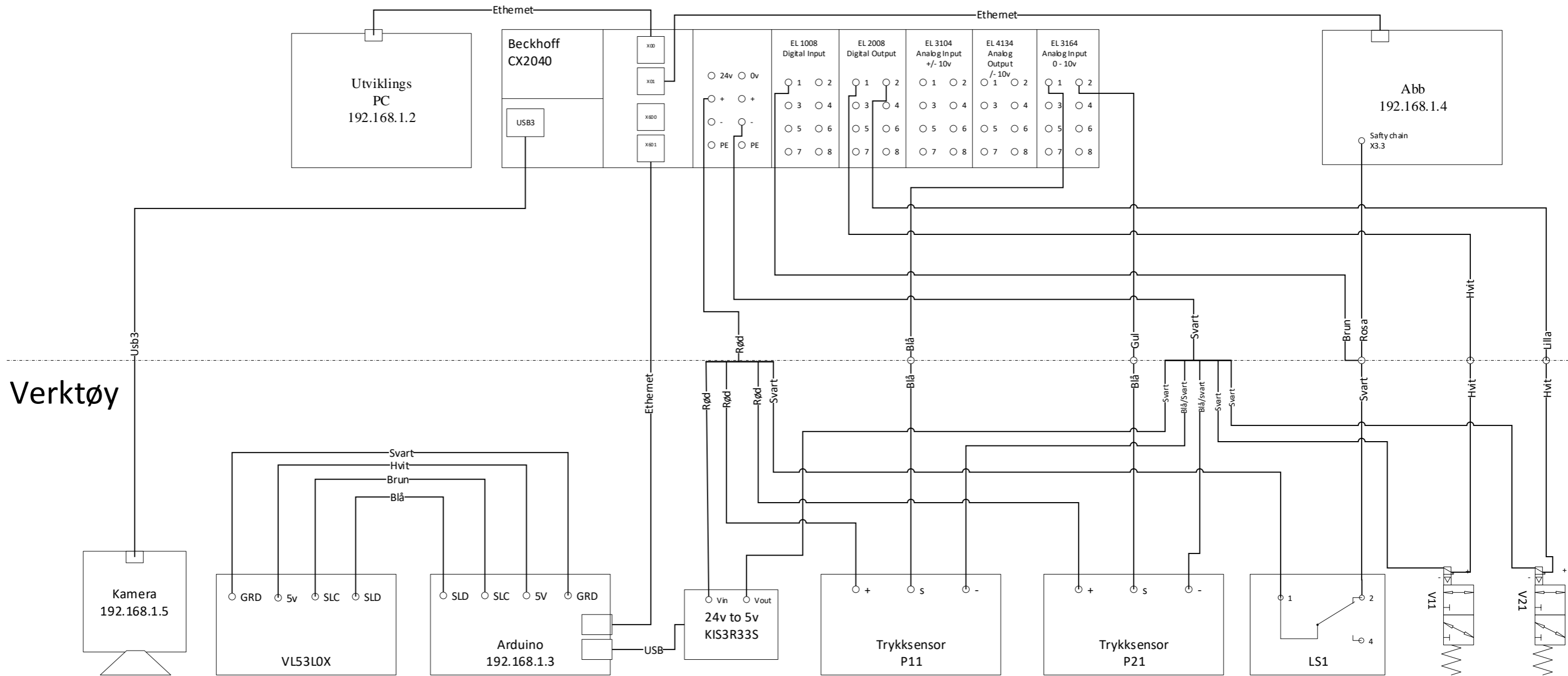
- Få erfaring med bruk av 2D kamera og OpenCV implementert på Beckhoff.
- Bruk av OpenCV bibliotek med objekt gjenkjenning og kant detektering, og finne ut hvilken nøyaktighet dette gir.
- Bruke auto plassering av plater basert på deteksjon av minst en plate allerede plassert og definert avstand mellom platene.
- For å se realistiske resultater bør en vegg bygd med stendere brukes og stendere for å feste platene fast (i stedet for å henge opp platene på fastmonterte spikere slik som gjort i Bachelorprosjektet).
- Deteksjon av stendere inngår i oppgaven.
- Måle behandlingstid på Beckhoff kontroller ved de mest krevende bildebehandlings oppgavene for å få et inntrykk av om denne kontrolleren er kraftig nok for oppgaven.

B. I/O liste

Komponent	System navn	Produsent	Model	Signal type	Inngang	Spenning	Tilkobling i CX2040
Trykksensor	P11	Festo	SPTW-B2R-G14-A-M-12	Analoge	Input	0-10V	EL-3164 Port: 1
Trykksensor	P21	Festo	SPTW-B2R-G14-A-M-12	Analoge	Input	0-10V	EL-3164 Port: 2
Magnetventil	V11	Festo	VUVS-L20-M32C-MZD-G18-F7V5	Digital	Output	0-24V	EL-2008 Port: 1
Magnetventil	V21	Festo	VUVS-L20-M32C-MZD-G18-F7V5	Digital	Output	0-24V	EL-2008 Port: 2
Trykk bryter	LS1			Digital	Input	0-24V	EL-1008 Port:1 IRC5 – X3.3



C. Koblingskjema



D. Kode

Kode brukt i prosjektet kommer under i følgende rekkefølge:

PLS:

1. POU: Main
2. POU: TCP
3. POU: Vacuum
4. Global Variable List: GVL

Maskinsyn:

5. baslerToOpenCV.cpp

ABB Rapid:

6. platehaandler_h2017

Arduino:

7. Arduino

POU: MAIN

```
1  PROGRAM MAIN
2  VAR
3      FBtcp          : TCP ;
4      send           : E_send ;
5      auto           : E_auto ;
6      turn           : E_Turn ;
7      sendmsg        : STRING ;
8      FBvacuum       : vacuum ;
9      coordsend      : STRING ;
10     xs              : STRING      := 'x' ;
11     ys              : STRING      := 'y' ;
12     zs              : STRING      := 'z' ;
13     axs             : STRING      := 'a' ;
14     ays             : STRING      := 'b' ;
15     azs             : STRING      := 'c' ;
16     ts              : STRING      := 't' ;
17     ns              : STRING      := 'n' ;
18     recCoord        : STRING ;
19     X                : REAL ;
20     Y                : REAL ;
21     Z                : REAL ;
22     AngelX          : REAL ;
23     plateTurn       : INT          := 0 ;
24     plateNumber     : INT          := 1 ;
25     vision          : BOOL ;
26     platsOnPallet  : INT ;
27     recCoordhold    : STRING ;
28     xpos            : INT ;
29     ypos            : INT ;
30     zpos            : INT ;
31     xpos            : INT ;
32     aypos           : INT ;
33     azpos           : INT ;
34     xrob            : REAL ;
35     yrob            : REAL ;
36     zrob            : REAL ;
37     axrob           : REAL ;
38     ayrob           : REAL ;
39     azrob           : REAL ;
40     xrobs           : STRING ;
41     lenofstring     : INT ;
42     wallpos         : BOOL ;
43     AngelY          : REAL ;
44     AngelZ          : REAL ;
45     counter         : INT ;
46 END_VAR
47
48
49
50
51
52
53
54
55
56
57
58
59
60
61
62
63
64
65
66
67
68
69
70
71
72
73
74
75
76
77
78
79
80
81
82
83
84
85
86
87
88
89
90
91
92
93
94
95
96
97
98
99
100
101
102
103
104
105
106
107
108
109
110
111
112
113
114
115
116
117
118
119
120
121
122
123
124
125
126
127
128
129
130
131
132
133
134
135
136
137
138
139
140
141
142
143
144
145
146
147
148
149
150
151
152
153
154
155
156
157
158
159
160
161
162
163
164
165
166
167
168
169
170
171
172
173
174
175
176
177
178
179
180
181
182
183
184
185
186
187
188
189
190
191
192
193
194
195
196
197
198
199
200
201
202
203
204
205
206
207
208
209
210
211
212
213
214
215
216
217
218
219
220
221
222
223
224
225
226
227
228
229
230
231
232
233
234
235
236
237
238
239
240
241
242
243
244
245
246
247
248
249
250
251
252
253
254
255
256
257
258
259
260
261
262
263
264
265
266
267
268
269
270
271
272
273
274
275
276
277
278
279
280
281
282
283
284
285
286
287
288
289
290
291
292
293
294
295
296
297
298
299
300
301
302
303
304
305
306
307
308
309
310
311
312
313
314
315
316
317
318
319
320
321
322
323
324
325
326
327
328
329
330
331
332
333
334
335
336
337
338
339
340
341
342
343
344
345
346
347
348
349
350
351
352
353
354
355
356
357
358
359
360
361
362
363
364
365
366
367
368
369
370
371
372
373
374
375
376
377
378
379
380
381
382
383
384
385
386
387
388
389
390
391
392
393
394
395
396
397
398
399
400
401
402
403
404
405
406
407
408
409
410
411
412
413
414
415
416
417
418
419
420
421
422
423
424
425
426
427
428
429
430
431
432
433
434
435
436
437
438
439
440
441
442
443
444
445
446
447
448
449
450
451
452
453
454
455
456
457
458
459
460
461
462
463
464
465
466
467
468
469
470
471
472
473
474
475
476
477
478
479
480
481
482
483
484
485
486
487
488
489
490
491
492
493
494
495
496
497
498
499
500
501
502
503
504
505
506
507
508
509
510
511
512
513
514
515
516
517
518
519
520
521
522
523
524
525
526
527
528
529
530
531
532
533
534
535
536
537
538
539
540
541
542
543
544
545
546
547
548
549
550
551
552
553
554
555
556
557
558
559
560
561
562
563
564
565
566
567
568
569
570
571
572
573
574
575
576
577
578
579
580
581
582
583
584
585
586
587
588
589
590
591
592
593
594
595
596
597
598
599
600
601
602
603
604
605
606
607
608
609
610
611
612
613
614
615
616
617
618
619
620
621
622
623
624
625
626
627
628
629
630
631
632
633
634
635
636
637
638
639
640
641
642
643
644
645
646
647
648
649
650
651
652
653
654
655
656
657
658
659
660
661
662
663
664
665
666
667
668
669
670
671
672
673
674
675
676
677
678
679
680
681
682
683
684
685
686
687
688
689
690
691
692
693
694
695
696
697
698
699
700
701
702
703
704
705
706
707
708
709
710
711
712
713
714
715
716
717
718
719
720
721
722
723
724
725
726
727
728
729
730
731
732
733
734
735
736
737
738
739
740
741
742
743
744
745
746
747
748
749
750
751
752
753
754
755
756
757
758
759
760
761
762
763
764
765
766
767
768
769
770
771
772
773
774
775
776
777
778
779
780
781
782
783
784
785
786
787
788
789
790
791
792
793
794
795
796
797
798
799
800
801
802
803
804
805
806
807
808
809
810
811
812
813
814
815
816
817
818
819
820
821
822
823
824
825
826
827
828
829
830
831
832
833
834
835
836
837
838
839
840
841
842
843
844
845
846
847
848
849
850
851
852
853
854
855
856
857
858
859
860
861
862
863
864
865
866
867
868
869
870
871
872
873
874
875
876
877
878
879
880
881
882
883
884
885
886
887
888
889
890
891
892
893
894
895
896
897
898
899
900
901
902
903
904
905
906
907
908
909
910
911
912
913
914
915
916
917
918
919
920
921
922
923
924
925
926
927
928
929
930
931
932
933
934
935
936
937
938
939
940
941
942
943
944
945
946
947
948
949
950
951
952
953
954
955
956
957
958
959
960
961
962
963
964
965
966
967
968
969
970
971
972
973
974
975
976
977
978
979
980
981
982
983
984
985
986
987
988
989
990
991
992
993
994
995
996
997
998
999
1000
1001
1002
1003
1004
1005
1006
1007
1008
1009
1010
1011
1012
1013
1014
1015
1016
1017
1018
1019
1020
1021
1022
1023
1024
1025
1026
1027
1028
1029
1030
1031
1032
1033
1034
1035
1036
1037
1038
1039
1040
1041
1042
1043
1044
1045
1046
1047
1048
1049
1050
1051
1052
1053
1054
1055
1056
1057
1058
1059
1060
1061
1062
1063
1064
1065
1066
1067
1068
1069
1070
1071
1072
1073
1074
1075
1076
1077
1078
1079
1080
1081
1082
1083
1084
1085
1086
1087
1088
1089
1090
1091
1092
1093
1094
1095
1096
1097
1098
1099
1100
1101
1102
1103
1104
1105
1106
1107
1108
1109
1110
1111
1112
1113
1114
1115
1116
1117
1118
1119
1120
1121
1122
1123
1124
1125
1126
1127
1128
1129
1130
1131
1132
1133
1134
1135
1136
1137
1138
1139
1140
1141
1142
1143
1144
1145
1146
1147
1148
1149
1150
1151
1152
1153
1154
1155
1156
1157
1158
1159
1160
1161
1162
1163
1164
1165
1166
1167
1168
1169
1170
1171
1172
1173
1174
1175
1176
1177
1178
1179
1180
1181
1182
1183
1184
1185
1186
1187
1188
1189
1190
1191
1192
1193
1194
1195
1196
1197
1198
1199
1200
1201
1202
1203
1204
1205
1206
1207
1208
1209
1210
1211
1212
1213
1214
1215
1216
1217
1218
1219
1220
1221
1222
1223
1224
1225
1226
1227
1228
1229
1230
1231
1232
1233
1234
1235
1236
1237
1238
1239
1240
1241
1242
1243
1244
1245
1246
1247
1248
1249
1250
1251
1252
1253
1254
1255
1256
1257
1258
1259
1260
1261
1262
1263
1264
1265
1266
1267
1268
1269
1270
1271
1272
1273
1274
1275
1276
1277
1278
1279
1280
1281
1282
1283
1284
1285
1286
1287
1288
1289
1290
1291
1292
1293
1294
1295
1296
1297
1298
1299
1300
1301
1302
1303
1304
1305
1306
1307
1308
1309
1310
1311
1312
1313
1314
1315
1316
1317
1318
1319
1320
1321
1322
1323
1324
1325
1326
1327
1328
1329
1330
1331
1332
1333
1334
1335
1336
1337
1338
1339
1340
1341
1342
1343
1344
1345
1346
1347
1348
1349
1350
1351
1352
1353
1354
1355
1356
1357
1358
1359
1360
1361
1362
1363
1364
1365
1366
1367
1368
1369
1370
1371
1372
1373
1374
1375
1376
1377
1378
1379
1380
1381
1382
1383
1384
1385
1386
1387
1388
1389
1390
1391
1392
1393
1394
1395
1396
1397
1398
1399
1400
1401
1402
1403
1404
1405
1406
1407
1408
1409
1410
1411
1412
1413
1414
1415
1416
1417
1418
1419
1420
1421
1422
1423
1424
1425
1426
1427
1428
1429
1430
1431
1432
1433
1434
1435
1436
1437
1438
1439
1440
1441
1442
1443
1444
1445
1446
1447
1448
1449
1450
1451
1452
1453
1454
1455
1456
1457
1458
1459
1460
1461
1462
1463
1464
1465
1466
1467
1468
1469
1470
1471
1472
1473
1474
1475
1476
1477
1478
1479
1480
1481
1482
1483
1484
1485
1486
1487
1488
1489
1490
1491
1492
1493
1494
1495
1496
1497
1498
1499
1500
1501
1502
1503
1504
1505
1506
1507
1508
1509
1510
1511
1512
1513
1514
1515
1516
1517
1518
1519
1520
1521
1522
1523
1524
1525
1526
1527
1528
1529
1530
1531
1532
1533
1534
1535
1536
1537
1538
1539
1540
1541
1542
1543
1544
1545
1546
1547
1548
1549
1550
1551
1552
1553
1554
1555
1556
1557
1558
1559
1560
1561
1562
1563
1564
1565
1566
1567
1568
1569
1570
1571
1572
1573
1574
1575
1576
1577
1578
1579
1580
1581
1582
1583
1584
1585
1586
1587
1588
1589
1590
1591
1592
1593
1594
1595
1596
1597
1598
1599
1600
1601
1602
1603
1604
1605
1606
1607
1608
1609
1610
1611
1612
1613
1614
1615
1616
1617
1618
1619
1620
1621
1622
1623
1624
1625
1626
1627
1628
1629
1630
1631
1632
1633
1634
1635
1636
1637
1638
1639
1640
1641
1642
1643
1644
1645
1646
1647
1648
1649
1650
1651
1652
1653
1654
1655
1656
1657
1658
1659
1660
1661
1662
1663
1664
1665
1666
1667
1668
1669
1670
1671
1672
1673
1674
1675
1676
1677
1678
1679
1680
1681
1682
1683
1684
1685
1686
1687
1688
1689
1690
1691
1692
1693
1694
1695
1696
1697
1698
1699
1700
1701
1702
1703
1704
1705
1706
1707
1708
1709
1710
1711
1712
1713
1714
1715
1716
1717
1718
1719
1720
1721
1722
1723
1724
1725
1726
1727
1728
1729
1730
1731
1732
1733
1734
1735
1736
1737
1738
1739
1740
1741
1742
1743
1744
1745
1746
1747
1748
1749
1750
1751
1752
1753
1754
1755
1756
1757
1758
1759
1760
1761
1762
1763
1764
1765
1766
1767
1768
1769
1770
1771
1772
1773
1774
1775
1776
1777
1778
1779
1780
1781
1782
1783
1784
1785
1786
1787
1788
1789
1790
1791
1792
1793
1794
1795
1796
1797
1798
1799
1800
1801
1802
1803
1804
1805
1806
1807
1808
1809
1810
1811
1812
1813
1814
1815
1816
1817
1818
1819
1820
1821
1822
1823
1824
1825
1826
1827
1828
1829
1830
1831
1832
1833
1834
1835
1836
1837
1838
1839
1840
1841
1842
1843
1844
1845
1846
1847
1848
1849
1850
1851
1852
1853
1854
1855
1856
1857
1858
1859
1860
1861
1862
1863
1864
1865
1866
1867
1868
1869
1870
1871
1872
1873
1874
1875
1876
1877
1878
1879
1880
1881
1882
1883
1884
1885
1886
1887
1888
1889
1890
1891
1892
1893
1894
1895
1896
1897
1898
1899
1900
1901
1902
1903
1904
1905
1906
1907
1908
1909
1910
1911
1912
1913
1914
1915
1916
1917
1918
1919
1920
1921
1922
1923
1924
1925
1926
1927
1928
1929
1930
1931
1932
1933
1934
1935
1936
1937
1938
1939
1940
1941
1942
1943
1944
1945
1946
1947
1948
1949
1950
1951
1952
1953
1954
1955
1956
1957
1958
1959
1960
1961
1962
1963
1964
1965
1966
1967
1968
1969
1970
1971
1972
1973
1974
1975
1976
1977
1978
1979
1980
1981
1982
1983
1984
1985
1986
1987
1988
1989
1990
1991
1992
1993
1994
1995
1996
1997
1998
1999
2000
2001
2002
2003
2004
2005
2006
2007
2008
2009
2010
2011
2012
2013
2014
2015
2016
2017
2018
2019
2020
2021
2022
2023
2024
2025
2026
2027
2028
2029
2030
2031
2032
2033
2034
2035
2036
2037
2038
2039
2040
2041
2042
2043
2044
2045
2046
2047
2048
2049
2050
2051
2052
2053
2054
2055
2056
2057
2058
2059
2060
2061
2062
2063
2064
2065
2066
2067
2068
2069
2070
2071
2072
2073
2074
2075
2076
2077
2078
2079
2080
2081
2082
2083
2084
2085
2086
2087
2088
2089
2090
2091
2092
2093
2094
2095
2096
2097
2098
2099
2100
2101
2102
2103
2104
2105
2106
2107
2108
2109
2110
2111
2112
2113
2114
2115
2116
2117
2118
2119
2120
2121
2122
2123
2124
2125
2126
2127
2128
2129
2130
2131
2132
2133
2134
2135
2136
2137
2138
2139
2140
2141
2142
2143
2144
2145
2146
2147
2148
2149
2150
2151
2152
2153
2154
2155
2156
2157
2158
2159
2160
2161
2162
2163
2164
2165
2166
2167
2168
2169
2170
2171
2172
2173
2174
2175
2176
2177
2178
2179
2180
2181
2182
2183
2184
2185
2186
2187
2188
2189
2190
2191
2192
2193
2194
2195
2196
2197
2198
2199
2200
2201
2202
2203
2204
2205
2206
2207
2208
2209
2210
2211
2212
2213
2214
2215
2216
2217
2218
2219
2220
2221
2222
2223
2224
2225
2226
2227
2228
2229
2230
2231
2232
2233
2234
2235
2236
2237
2238
2239
2240
2241
2242
2243
2244
2245
2246
2247
2248
2249
2250
2251
2252
2253
2254
2255
2256
2257
2258
2259
2260
2261
2262
2263
2264
2265
2266
2267
2268
2269
2270
2271
2272
2273
2274
2275
2276
2277
2278
2279
2280
2281
2282
2283
2284
2285
2286
2287
2288
2289
2290
2291
2292
2293
2294
2295
2296
2297
2298
2299
2300
2301
2302
2303
2304
2305
2306
2307
2308
2309
2310
2311
2312
2313
2314
2315
2316
2317
2318
2319
2320
2321
2322
2323
2324
2325
2326
2327
2328
2329
2330
2331
2332
2333
2334
2335
2336
2337
2338
2339
2340
2341
2342
2343
2344
2345
2346
2347
2348
2349
2350
2351
2352
2353
2354
2355
2356
2357
2358
2359
2360
2361
2362
2363
2364
2365
2366
2367
2368
2369
2370
2371
2372
2373
2374
2375
2376
2377
2378
2379
2380
2381
2382
2383
2384
2385
2386
2387
2388
2389
2390
2391
2392
2393
2394
2395
2396
2397
2398
2399
2400
2401
2402
2403
2404
2405
2406
2407
2408
2409
2410
2411
2412
2413
2414
2415
2416
2417
2418
2419
2420
2421
2422
2423
2424
2425
2426
2427
2428
2429
2430
2431
2432
2433
2434
2435
2436
2437
2438
2439
2440
2441
2442
2443
2444
2445
2446
2447
2448
2449
2450
2451
2452
2453
2454
2455
2456
2457
2458
2459
2460
2461
2462
2463
2464
2465
2466
2467
2468
2469
2470
2471
2472
2473
2474
2475
2476
2477
2478
2479
2480
2481
2482
2483
2484
2485
2486
2487
2488
2489
2490
2491
2492
2493
2494
2495
2496
2497
2498
2499
2500
2501
2502
2503
2504
2505
2506
2507
2508
2509
2510
2511
2512
2513
2514
2515
2516
2517
2518
2519
2520
2521
2522
2523
2524
2525
2526
2527
2528
2529
2530
2531
2532
2533
2534
2535
2536
2537
2538
2539
2540
2541
2542
2543
2544
2545
2546
2547
2548
2549
2550
2551
2552
2553
2554
2555
2556
2557
2558
2559
2560
2561
2562
2563
2564
2565
2566
2567
2568
2569
2570
2571
2572
2573
2574
2575
2576
2577
2578
2579
2580
2581
2582
2583
2584
2585
2586
2587
2588
2589
2590
2591
2592
2593
2594
2595
2596
2597
2598
2599
2600
2601
2602
2603
2604
2605
2606
2607
2608
2609
2610
2611
2612
2613
261
```

```
9      coordsend := CONCAT ( coordsend , REAL_TO_STRING ( Y ) );
10     coordsend := CONCAT ( coordsend , zs );
11     coordsend := CONCAT ( coordsend , REAL_TO_STRING ( Z ) );
12     coordsend := CONCAT ( coordsend , axs );
13     coordsend := CONCAT ( coordsend , REAL_TO_STRING ( AngelX ) );
14     coordsend := CONCAT ( coordsend , ays );
15     coordsend := CONCAT ( coordsend , REAL_TO_STRING ( Angely ) );
16     coordsend := CONCAT ( coordsend , azs );
17     coordsend := CONCAT ( coordsend , REAL_TO_STRING ( AngelZ ) );
18     coordsend := CONCAT ( coordsend , ts );
19     coordsend := CONCAT ( coordsend , INT_TO_STRING ( plateTurn ) );
20     coordsend := CONCAT ( coordsend , ns );
21     coordsend := CONCAT ( coordsend , INT_TO_STRING ( plateNumber ) );
22
23     //----- Move to Home position -----
24     IF GVL.home = TRUE THEN
25         CASE send OF
26             E_Send.send :
27                 IF GVL.home = TRUE THEN
28                     sendmsg := 'Home';
29                     GVL.tcpcom := TRUE;
30                     send := E_Send.wait;
31                 END_IF
32
33             E_Send.wait :
34                 IF GVL.tcpcom = FALSE THEN
35                     sendmsg := '';
36                     GVL.home := FALSE;
37                     send := E_Send.send;
38                 END_IF
39
40         END_CASE
41     END_IF
42
43     // ----- Move to big pallet -----
44     IF GVL.bigp = TRUE THEN
45         CASE send OF
46             E_Send.send :
47                 IF GVL.bigp = TRUE THEN
48                     sendmsg := 'Go to big pallet';
49                     Wallpos := FALSE;
50                     GVL.tcpcom := TRUE;
51                     send := E_Send.wait;
52                 END_IF
53
54             E_Send.wait :
55                 IF GVL.tcpcom = FALSE THEN
56                     sendmsg := '';
57                     GVL.bigp := FALSE;
58                     send := E_Send.send;
59                 END_IF
60
61         END_CASE
62     END_IF
63
64     // -----Pick Plate -----
```

```
65     IF GVL.pickPlate = TRUE THEN
66         CASE send OF
67             E_Send.send :
68             IF GVL.pickPlate = TRUE THEN
69                 sendmsg := 'Pick plate';
70                 GVL.tcpcom := TRUE;
71                 send := E_Send.wait;
72             END_IF
73
74             E_Send.wait :
75             IF GVL.tcpcom = FALSE THEN
76                 sendmsg := '';
77                 IF wallpos = TRUE THEN
78                     GVL.vacuum := TRUE;
79                     GVL.pickPlate := FALSE;
80                     send := E_Send.send;
81                 ELSE
82                     GVL.vacuum := TRUE;
83                     plateNumber := plateNumber + 1;
84                     GVL.pickPlate := FALSE;
85                     send := E_Send.send;
86                 END_IF
87
88             END_IF
89
90         END_CASE
91     END_IF
92
93
94     // ----- Move to small pallet -----
95     IF GVL.smallp = TRUE THEN
96         CASE send OF
97             E_send.send :
98             IF GVL.smallp = TRUE THEN
99                 sendmsg := 'Go to small pallet';
100                GVL.tcpcom := TRUE;
101                send := E_send.wait;
102            END_IF
103
104            E_send.wait :
105            IF GVL.tcpcom = FALSE THEN
106                sendmsg := '';
107                GVL.vacuum := FALSE;
108                GVL.smallp := FALSE;
109                send := E_send.send;
110            END_IF
111
112        END_CASE
113    END_IF
114
115    // ----- Move to wall1 -----
116    IF GVL.wall = TRUE THEN
117        CASE send OF
118            E_send.send :
119            IF GVL.wall = TRUE THEN
120                sendmsg := 'Wall';
```

```
121         GVL . tcpcom := TRUE ;
122         send := E_send . wait ;
123     END_IF
124
125     E_send . wait :
126     IF GVL . tcpcom = FALSE THEN
127         sendmsg := '' ;
128         GVL . Wall := FALSE ;
129         Wallpos := TRUE ;
130         send := E_send . send ;
131     END_IF
132
133     END_CASE
134 END_IF
135
136
137 // ----- Move away from wall -----
138 IF GVL . wallaway = TRUE THEN
139     CASE send OF
140     E_send . send :
141     IF GVL . wallaway = TRUE THEN
142         sendmsg := 'Wall away' ;
143         GVL . tcpcom := TRUE ;
144         send := E_send . wait ;
145     END_IF
146
147     E_send . wait :
148     IF GVL . tcpcom = FALSE THEN
149         sendmsg := '' ;
150         GVL . Wallaway := FALSE ;
151         send := E_send . send ;
152     END_IF
153
154     END_CASE
155 END_IF
156
157
158 // ----- Send Cordinats -----
159 IF GVL . coordinates = TRUE AND Vision = FALSE THEN
160     CASE send OF
161     E_Send . send :
162     IF GVL . coordinates = TRUE THEN
163         sendmsg := 'Coordinates' ;
164         GVL . tcpcom := TRUE ;
165         send := E_Send . wait ;
166     END_IF
167
168     E_Send . wait :
169     IF GVL . tcpcom = FALSE THEN
170         sendmsg := '' ;
171         send := E_Send . send2 ;
172     END_IF
173
174     E_Send . send2 :
175     sendmsg := coordsend ;
176     GVL . tcpcom := TRUE ;
```



```
177         send := E_Send . wait2 ;
178
179         E_Send . wait2 :
180         IF GVL . tcpcom = FALSE THEN
181             sendmsg := '' ;
182             GVL . coordinates := FALSE ;
183             send := E_Send . send ;
184         END_IF
185     END_CASE
186 END_IF
187
188
189
190 // ----- Recive coordinats -----
191 IF GVL . recCoord = TRUE THEN
192     CASE send OF
193         E_send . send :
194             IF GVL . recCoord = TRUE THEN
195                 sendmsg := 'Robot position' ;
196                 GVL . tcpcom := TRUE ;
197                 send := E_send . wait ;
198             END_IF
199
200         E_send . wait :
201             IF FIND ( recCoord , 'x' ) = 1 THEN
202                 recCoordhold := recCoord ;
203                 xpos := FIND ( recCoordhold , 'x' ) ;
204                 ypos := FIND ( recCoordhold , 'y' ) ;
205                 zpos := FIND ( recCoordhold , 'z' ) ;
206                 axpos := FIND ( recCoordhold , 'ax' ) ;
207                 aypos := FIND ( recCoordhold , 'ay' ) ;
208                 azpos := FIND ( recCoordhold , 'az' ) ;
209
210                 xrob := STRING_TO_REAL ( MID ( recCoordhold , ypos - xpos - 1 ,
211 xpos + 1 ) ) ;
212                 yrob := STRING_TO_REAL ( MID ( recCoordhold , zpos - ypos - 1 ,
213 ypos + 1 ) ) ;
214                 zrob := STRING_TO_REAL ( MID ( recCoordhold , axpos - zpos - 1 ,
215 zpos + 1 ) ) ;
216                 axrob := STRING_TO_REAL ( MID ( recCoordhold , aypos - axpos - 1 ,
217 axpos + 2 ) ) ;
218                 ayrob := STRING_TO_REAL ( MID ( recCoordhold , azpos - aypos - 1 ,
219 aypos + 2 ) ) ;
220
221                 lenofstring := LEN ( recCoordhold ) ;
222                 azrob := STRING_TO_REAL ( MID ( recCoordhold , lenofstring -
223 azpos - 1 , azpos + 2 ) ) ;
224                 GVL . exeption := TRUE ;
225                 SEND := E_send . send2 ;
226             END_IF
227
228         E_send . send2 :
229             IF GVL . tcpcom = FALSE THEN
230                 sendmsg := '' ;
231                 GVL . exeption := FALSE ;
232                 GVL . recCoord := FALSE ;
233                 vision := TRUE ;
```

```
227             GVL . coordinates := TRUE ;
228             send := E_send . send ;
229             END_IF
230
231             END_CASE
232         END_IF
233
234
235
236 // ----- Stop operation -----
237 IF GVL . stop = TRUE THEN
238     CASE send OF
239         E_send . send :
240             IF GVL . stop = TRUE THEN
241                 sendmsg := 'Stop' ;
242                 GVL . tcpcom := TRUE ;
243                 send := E_send . wait ;
244             END_IF
245
246         E_send . wait :
247             IF GVL . tcpcom = FALSE THEN
248                 sendmsg := '' ;
249                 GVL . stop := FALSE ;
250                 GVL . disconnect := TRUE ;
251                 send := E_send . send ;
252             END_IF
253
254         END_CASE
255     END_IF
256
257 //-----AUTO FUNCTION PLATE STORAGE TO TESTPALET
258 -----
259 IF GVL . auto = TRUE THEN
260     CASE auto OF
261
262         E_Auto . auto1 :
263             IF GVL . auto = TRUE THEN
264                 GVL . vacuum := FALSE ;
265                 GVL . bigp := TRUE ;
266                 auto := E_auto . auto2 ;
267             END_IF
268
269         E_Auto . auto2 :
270             IF GVL . bigp = FALSE THEN
271                 GVL . recCoord := TRUE ;
272                 auto := E_auto . auto3 ;
273             END_IF
274
275         E_Auto . auto3 :
276             IF GVL . recCoord = FALSE THEN
277                 GVL . coordinates := TRUE ;
278                 auto := E_auto . auto4 ;
279             END_IF
280
281         E_Auto . auto4 :
282             IF GVL . coordinates = FALSE THEN
```

POU: MAIN

```
282         GVL . pickPlate := TRUE ;
283         auto := E_auto . auto5 ;
284     END_IF
285
286     E_Auto . auto5 :
287     IF GVL . pickPlate = FALSE THEN
288         GVL . smallp := TRUE ;
289         auto := E_auto . auto6 ;
290     END_IF
291
292     E_Auto . auto6 :
293     IF GVL . smallp = FALSE THEN
294
295         IF plateNumber > platsOnPallet THEN
296             GVL . auto := FALSE ;
297             GVL . home := TRUE ;
298             auto := E_auto . auto1 ;
299         ELSE auto := E_auto . auto1 ;
300         END_IF
301     END_IF
302
303     END_CASE
304 END_IF
305 //-----AUTO FUNCTION PLATE STORAGE TO
WALL-----
306 IF GVL . auto2 = TRUE THEN
307     CASE auto OF
308
309         E_Auto . auto1 :
310         IF GVL . auto2 = TRUE THEN
311             GVL . vacuum := FALSE ;
312             GVL . bigp := TRUE ;
313             auto := E_auto . auto2 ;
314         END_IF
315
316         E_Auto . auto2 :
317         IF GVL . bigp = FALSE THEN
318             GVL . recCoord := TRUE ;
319             auto := E_auto . auto3 ;
320         END_IF
321
322         E_Auto . auto3 :
323         IF GVL . recCoord = FALSE THEN
324             GVL . coordinates := TRUE ;
325             auto := E_auto . auto4 ;
326         END_IF
327
328         E_Auto . auto4 :
329         IF GVL . coordinates = FALSE THEN
330             GVL . pickPlate := TRUE ;
331             auto := E_auto . auto5 ;
332         END_IF
333
334         E_Auto . auto5 :
335         IF GVL . pickPlate = FALSE THEN
336             GVL . wall := TRUE ;
```

```
337         auto := E_auto . auto6 ;
338     END_IF
339
340     E_Auto . auto6 :
341     IF GVL . wall = FALSE THEN
342         GVL . recCoord := TRUE ;
343         auto := E_auto . auto7 ;
344     END_IF
345
346     E_Auto . auto7 :
347     IF GVL . recCoord = FALSE THEN
348         GVL . coordinates := TRUE ;
349         auto := E_auto . auto8 ;
350     END_IF
351
352     E_Auto . auto8 :
353     IF GVL . coordinates = FALSE THEN
354         GVL . pickPlate := TRUE ;
355         auto := E_auto . auto9 ;
356     END_IF
357
358     E_Auto . auto9 :
359     IF GVL . pickplate = FALSE THEN
360         GVL . vacuum := FALSE ;
361         GVL . wallaway := TRUE ;
362         auto := E_auto . auto10 ;
363     END_IF
364
365     E_Auto . auto10 :
366     IF GVL . wallaway = FALSE THEN
367         GVL . home := TRUE ;
368         GVL . auto2 := False ;
369         auto := E_auto . auto1 ;
370     END_IF
371
372
373     END_CASE
374 END_IF
375
```

POU: TCP

```
1  FUNCTION_BLOCK TCP
2  VAR_INPUT
3      sSend          : STRING ; (* String to be sent *)
4  END_VAR
5  VAR_OUTPUT
6      sReceive       : STRING ; (* String received *)
7  END_VAR
8  VAR
9      NetId           : STRING := '' ; (* Server AmsNetId *)
10     ServerAdr        : STRING := '192.168.1.4' ; (* Server IP address
11     *)
12     ServerPort       : UDINT := 5000 ; (* Server port number *)
13     fbSocketSend     : FB_SocketSend ;
14     fbSocketReceive  : FB_SocketReceive ;
15     bInitCloseAll    : BOOL := TRUE ;
16
17     bBusy             : BOOL ;
18     err               : BOOL ;
19     errid             : UDINT ;
20     Timeout           : TIME := T#20S ;
21     fbSocketConnect  : FB_SocketConnect ;
22     hListen           : T_HSOCKET ;
23     hSocket           : T_HSOCKET ;
24     bConnAccepted    : BOOL ;
25     RxBuffer         : STRING ;
26     state             : E_State ;
27     com               : E_com ;
28     disconnect        : E_Disconnect ;
29     fbSocketCloseAll : FB_SocketCloseAll ;
30 END_VAR
31
```

```
1  fbSocketConnect (
2      sSrvNetId := NetId ,
3      sRemoteHost := ServerAdr ,
4      nRemotePort := ServerPort ,
5      bExecute := ,
6      tTimeout := T#5S ,
7      bBusy => bBusy ,
8      bError => err ,
9      nErrId => errid ,
10     hSocket => hSocket ) ;
11
12     fbSocketSend (
13         sSrvNetId := NetId ,
14         hSocket := hSocket ,
15         cbLen := INT_TO_UDINT ( LEN ( sSend ) ) , //LEN(sSend),
16         pSrc := ADR ( sSend ) , //ADR(sSend),
17         bExecute := ,
18         tTimeout := Timeout ,
19         bBusy => bBusy ,
20         bError => err ,
21         nErrId => errid ) ;
22
23     fbSocketReceive (
```

```
24         sSrvNetId := NetId ,
25         hSocket := hSocket ,
26         cbLen := SIZEOF ( RxBuffer ) ,
27         pDest := ADR ( RxBuffer ) ,
28         bExecute := ,
29         tTimeout := Timeout ,
30         bBusy => bBusy ,
31         bError => err ,
32         nErrId => errid ,
33         nRecBytes => ) ;
34
35 fbSocketCloseAll (
36     sSrvNetId := NetId ,
37     bExecute := ,
38     tTimeout := Timeout ,
39     bBusy => ,
40     bError => ,
41     nErrId => ) ;
42
43
44
45
46 // -----connection to IRC5-----
47 IF GVL . connect = TRUE THEN
48     CASE state OF
49
50         E_State . STATE_INIT :
51             IF GVL . connect = TRUE THEN
52                 //Open the port
53                 fbSocketConnect . bExecute := TRUE ;
54                 state := E_State . STATE_CONNECTING ;
55             END_IF
56
57         E_State . STATE_CONNECTING :
58             fbSocketConnect . bExecute := FALSE ;
59             GVL . connect := FALSE ;
60             GVL . connectlight := TRUE ;
61             state := E_State . STATE_INIT ;
62     END_CASE
63 END_IF
64
65 IF fbSocketConnect . bError = TRUE THEN ;
66     GVL . connectlight := FALSE ;
67 END_IF
68
69
70 //----- Send one message and receive 2 in return -----
71 IF GVL . tcpcom = TRUE THEN
72     CASE com OF
73         E_com . send :
74             IF GVL . tcpcom = TRUE THEN
75                 fbSocketSend . bExecute := TRUE ;
76                 com := E_com . receive ;
77             END_IF
78
79         E_com . receive :
```

```
80         fbSocketSend . bExecute := FALSE ;
81         IF NOT fbSocketSend . bBusy AND NOT fbSocketSend . bError THEN
82             fbSocketReceive . bExecute := TRUE ;
83             com := E_com . wait ;
84         END_IF
85
86
87         E_com . wait :
88         fbSocketReceive . bExecute := FALSE ;
89         IF NOT fbSocketReceive . bBusy AND NOT fbSocketReceive . bError
THEN
90             IF fbSocketReceive . nRecBytes = 0 THEN
91                 //if there's no data received, reset the fbSocketReceive
92                 fbSocketReceive . bExecute := TRUE ;
93             ELSE
94                 MEMSET ( ADR ( sReceive ) , 0 , SIZEOF ( sReceive ) ) ;
95                 MEMCPY ( ADR ( sReceive ) , fbSocketReceive . pDest ,
fbSocketReceive . nRecBytes ) ;
96                 com := E_com . receive2 ;
97             END_IF
98         END_IF
99
100        E_com . receive2 :
101        IF sSend = sReceive THEN
102            sReceive := '' ;
103            fbSocketReceive . bExecute := TRUE ;
104            com := E_com . wait2 ;
105        END_IF
106
107        E_com . wait2 :
108        fbSocketReceive . bExecute := FALSE ;
109        IF NOT fbSocketReceive . bBusy AND NOT fbSocketReceive . bError
THEN
110            IF fbSocketReceive . nRecBytes = 0 THEN
111                //if there's no data received, reset the fbSocketReceive
112                fbSocketReceive . bExecute := TRUE ;
113            ELSE
114                MEMSET ( ADR ( sReceive ) , 0 , SIZEOF ( sReceive ) ) ;
115                MEMCPY ( ADR ( sReceive ) , fbSocketReceive . pDest ,
fbSocketReceive . nRecBytes ) ;
116                com := E_com . receive3 ;
117            END_IF
118        END_IF
119
120        E_com . receive3 :
121        IF sReceive = sSend THEN
122            sSend := '' ;
123            sReceive := '' ;
124            GVL . tcpcom := FALSE ;
125            com := E_com . send ;
126        ELSIF GVL . exeption = TRUE THEN
127            sSend := '' ;
128            sReceive := '' ;
129            GVL . tcpcom := FALSE ;
130            com := E_com . send ;
131        END_IF
```

```
132
133         END_CASE
134     END_IF
135
136     // ----- Close all sockets -----
137     IF GVL.disconnect = TRUE THEN
138
139     CASE disconnect OF
140         E_Disconnect.disconnect :
141         IF GVL.disconnect = TRUE THEN
142             fbsocketCloseAll.bExecute := TRUE ;
143             disconnect := E_Disconnect.wait ;
144         END_IF
145
146         E_Disconnect.wait :
147         fbsocketCloseAll.bExecute := FALSE ;
148         IF NOT fbsocketCloseAll.bBusy OR NOT fbsocketCloseAll.bError THEN
149             GVL.disconnect := FALSE ;
150             GVL.connectlight := FALSE ;
151             disconnect := E_Disconnect.disconnect ;
152         END_IF
153
154     END_CASE
155 END_IF
156
157
158
159
```


POU: vacuum

```
1  FUNCTION_BLOCK          vacuum
2
3  VAR_INPUT
4  END_VAR
5
6  VAR_OUTPUT
7      suctionStatus      :  BOOL  ;
8  END_VAR
9  VAR
10     p11Volt             :  REAL  ;
11     p21Volt             :  REAL  ;
12     voltLimit           :  REAL  :=  2  ;
13     led1                 :  BOOL  ;
14     led2                 :  BOOL  ;
15
16
17     v11Write AT %Q*      :  BOOL  ; //v21Write : vacuum valve v11 True
    når den ikke er åpen
18     v21Write AT %Q*      :  BOOL  ; //v21Write : vacuum valve v21,
    True når den ikke er åpen
19     ls1Read AT %I*       :  BOOL  ; //ls1Read : Tool contact sensor LS1,
20     p11Read AT %I*       :  INT   ; //p11Read : vacuum sensor p11
21     p21Read AT %I*       :  INT   ; //p11read : vacuum sensor p21
22 END_VAR
23
```

```
1  p11Volt := p11Read * 10 ;
2  p11Volt := p11Volt / 32767 ;
3  IF p11Volt < voltLimit THEN
4      led1 := TRUE ;
5      ELSE led1 := FALSE ;
6  END_IF
7
8
9  p21Volt := p21Read * 10 ;
10 p21Volt := p21Volt / 32767 ;
11 IF p21Volt < voltLimit THEN
12     led2 := TRUE ;
13     ELSE led2 := FALSE ;
14 END_IF
15
16
17 IF GVL.vacuum = TRUE
18     THEN v11Write := FALSE ; v21Write := FALSE ;
19     ELSE v11Write := TRUE ; v21Write := TRUE ;
20 END_IF
21
22 IF GVL.vacuum = TRUE AND p11Volt < voltLimit AND p21Volt < voltLimit
23     THEN GVL.eStop := FALSE ;
24     ELSIF GVL.vacuum = TRUE AND p11Volt >= voltLimit AND p21Volt <
    voltLimit
25     THEN GVL.eStop := TRUE ;
26     ELSIF GVL.vacuum = TRUE AND p11Volt < voltLimit AND p21Volt >=
    voltLimit
27     THEN GVL.eStop := TRUE ;
28     ELSIF GVL.vacuum = TRUE AND p11Volt >= voltLimit AND p21Volt
```

```
>= voltLimit
29     THEN  GVL . eStop := TRUE ;
30     ELSE  GVL . eStop := FALSE ;
31     END_IF
32
33     GVL . AlarmLED := ls1Read ;
34
```

Global Variable List: GVL

```
1      {attribute 'qualified_only'}
2      VAR_GLOBAL
3          connect          : BOOL ;
4          tcpcom           : BOOL ;
5          connectlight    : BOOL ;
6          auto             : BOOL ;
7          auto2            : BOOL ;
8          bigp             : BOOL ;
9          smallp           : BOOL ;
10         vacuum           : BOOL      := FALSE ;
11         eStop            : BOOL ;
12         turn             : BOOL ;
13         disconnect       : BOOL ;
14         stop             : BOOL ;
15         coordinates      : BOOL ;
16         pickPlate        : BOOL ;
17         home             : BOOL ;
18         exeption         : BOOL ;
19         wall             : BOOL ;
20         wallaway         : BOOL ;
21         recCoord         : BOOL ;
22         AlarmLED         : BOOL ;
23     END_VAR
24
```

```
1  /*
2
3  Masteroppgave: Implementering av maskinsyn for montering av fasadeplater
4  Fag: MAS 500
5  Forfatter: Remi Askeland
6
7  Universitetet i Agder, 2018
8  Fakultet for teknologi og realfag
9  Institutt for ingeniørvitenskap
10
11
12  Dette scripte tar et bilde med et Basler aAc2500 kamera,
13  konverterer bilde til OpenCV format.
14  Bilde blir så prosisert for og finne senter og rotasjon av et rektangel.
15  Posisjonen og vinkelen blir sendt videre til en Beckhoff PLC
16
17  */
18
19
20  #define saveImages 0 // Define if images are to be saved. '0'- no; '1'- yes.
21
22  #define imgShow 1 // 1 show original vs undistorted image vs ↗
23  threshold image
24
25  #define visualThreshold 0 // 1 show the diferent thresholding options
26
27  #define solvePnPMethod 1 // not in use
28
29  #define imageHold 0 // 1 to not remove image after use
30
31  // Debuging
32  #define PR_debug 0 // 1 - Show all log messages
33  #define PRtime_debug 0 // 1 - Show all logg time
34
35  #if PR_debug == 1
36  #define LOG(x,y) std::cout << x << std::endl << y << std::endl
37  #else
38  #define LOG(x,y)
39  #endif
40
41  #if PRtime_debug == 1
42  #define LOGtime(name) std::cout << name << t << " seconds." << std::endl;
43  #else
44  #define LOGtime(name)
45  #endif
46
47  // ----- Librarys used -----
48  #include<stdio.h>
49  #define _WINSOCK_DEPRECATED_NO_WARNINGS
50  #include<winsock2.h>
51  #pragma comment(lib, "ws2_32.lib") //Winsock Library
52
53  #include <stdio.h>
54  #include <stdlib.h>
55  #include "windows.h"
56  #include <iostream>
```

```
56 using namespace std;
57
58 // Include files to use OpenCV API.
59 #include <opencv2/core/core.hpp>
60 #include <opencv2/highgui/highgui.hpp>
61 #include <opencv2/video/video.hpp>
62 #include "opencv2/imgproc/imgproc.hpp"
63 #include "opencv2/features2d/features2d.hpp"
64 #include "opencv2/calib3d/calib3d.hpp"
65 #include <opencv2/core/eigen.hpp>
66 using namespace cv;
67 // Timing var
68 #define get_ticks
69 #define get_freq
70 // save to file lib
71 #include <fstream>
72 // Eigen lib
73 #include <Eigen/Dense>
74 #include <Eigen/Core>
75 #include <Eigen/Geometry>
76 using namespace Eigen;
77
78 // Include files to use the PYLON API.
79 #include <pylon/PylonIncludes.h>
80 #ifdef PYLON_WIN_BUILD
81 #   include <pylon/PylonGUI.h>
82 #endif
83 using namespace Pylon;
84 // ADS lib
85 #include <TcAdsDef.h>
86 #include <TcAdsAPI.h>
87
88 // -----Calibration data and camera          ↗
89 // intrinsics-----
90 // Calibration 11.12 big plate
91 double fx = 1.8537e3; // focal lengt expressed in pixels
92 double fy = 1.8562e3;
93 double cx = 1299.5; // Principal point
94 double cy = 1025.5;
95 double skew = 0;
96 double k1 = -0.2608; // radial factor
97 double k2 = 0.1386;
98 double k3 = -0.0425;
99 double p1 = 3.4612e-5; // tangential factor
100 double p2 = 1.0446e-4;
101 double my = 2.2e-6; //pixel size
102 double imageSizeY;
103 double imageSizeX;
104 //-----Functions -----
105 void showing(string windowName, Mat imgVariabel);
106 void udp(void);
107 void Threshold_Demo(int, void*);
108 void extrafunctions(void);
109 void kinematics(void);
110 //-----Posistion estimation-----
```

```
111 static const uint32_t c_countOfImagesToGrab = 1; // Number of images to be ↗
    grabbed.
112 int imagecount = 0; // Countas how may images ↗
    is taken in this sesion
113 Mat openCvImage; // Create an OpenCV ↗
    image.
114
115 double u;
116 double v;
117 double x;
118 double y;
119 double z;
120 double zMeasured;
121 double t; // variable used in timing operations
122 double Xrob;
123 double Yrob;
124 double Zrob;
125 float angel;// Angel of rect
126
127 // Position of plate acording to base frame
128 double X; // X coordinate of detected object
129 double Y; // Y coordinate of detected object
130 double Z; // Z coordinate of detected object
131 double rotZ;
132 double rotY;
133 double rotX;
134
135
136
137 int thresholdValue;
138 int maxBINARYValue = 255;
139 int thresholdType = 0;
140 int thresholdPlateStorage = 120;
141 int thresholdWall = 90;
142
143 Mat intrinsic = (Mat1d(3, 3) << fx, 0, cx, 0, fy, cy, 0, 0, 1);
144 Mat distortionCoefficients = (Mat1d(1, 5) << k1, k2, p1, p2, k3);
145 Mat img;
146 Mat imgUndistorted;
147 Mat imgGray;
148 Mat imgThreshold;
149 Mat drawing;
150
151 vector<vector<Point>> contours;
152 vector<Vec4i> hierarchy;
153 Point2f center;
154 cv::Scalar red(0, 0, 255);
155 cv::Scalar green(0, 255, 0);
156 cv::Scalar blue(255, 0, 0);
157 cv::Scalar black(0, 0, 0);
158 cv::Scalar white(255, 255, 255);
159 cv::Scalar gray(128, 128, 128);
160
161 // Variabels for threshold demo
162 int threshold_value = 0;
163 int threshold_type = 3;;
```

```

164 int const max_value = 255;
165 int const max_type = 4;
166 int const max_BINARY_value = 255;
167
168 double plateoffsetx;
169 double plateoffsety;
170 cv::Mat rvec(3, 1, cv::DataType<double>::type);
171 cv::Mat tvec(3, 1, cv::DataType<double>::type);
172 cv::Mat RotMat(3, 3, cv::DataType<double>::type);
173 Eigen::MatrixXd RotMatEigen;
174 double centeroffset;
175 cv::Mat rvecc(3, 1, cv::DataType<double>::type);
176 cv::Mat tvecc(3, 1, cv::DataType<double>::type);
177 //----- ADS variables -----
178 long      nErr, nPort;      //ADS port and error message
179 AmsAddr  Addr;            //ADS adress
180 PAMSAddr pAddr = &Addr;
181
182 // Variabel to start vision script
183 long      lHdlVar; bool  nData; char  szVar[] = { "MAIN.vision" };
184 // Variabel for X psition
185 char  XVar[] = { "Main.X" };
186 long  lHdlVarX;
187 float nDataX;
188 // Variabel for Y psition
189 char  YVar[] = { "Main.Y" }; long  lHdlVarY; float  nDataY;
190 // Variabel for Z psition
191 char  ZVar[] = { "Main.Z" }; long  lHdlVarZ; float  nDataZ;
192 // Variabel for Angel psition
193 char  AngelXVar[] = { "Main.AngelX" }; long  lHdlVarAngelX; float  nDataAngelX;
194 char  AngelYVar[] = { "Main.AngelY" }; long  lHdlVarAngelY; float  nDataAngelY;
195 char  AngelZVar[] = { "Main.AngelZ" }; long  lHdlVarAngelZ; float  nDataAngelZ;
196 // Variabel for number off plates on pallet
197 char  popVar[] = { "Main.platsOnPallet" };
198 long  lHdlVarpop;
199 int   nDatapop;
200 // Variabel for rob pos
201 char  xrobVar[] = { "Main.xrob" }; long  lHdlVarxrob; float  xrob;
202 char  yrobVar[] = { "Main.yrob" }; long  lHdlVaryrob; float  yrob;
203 char  zrobVar[] = { "Main.zrob" }; long  lHdlVarzrob; float  zrob;
204 char  axrobVar[] = { "Main.axrob" }; long  lHdlVaraxrob; float  axrob;
205 char  ayrobVar[] = { "Main.ayrob" }; long  lHdlVarayrob; float  ayrob;
206 char  azrobVar[] = { "Main.azrob" }; long  lHdlVarazrob; float  azrob;
207 // Variabel for rob pos
208 char  wallposVar[] = { "Main.wallpos" }; long  lHdlVarwallpos; bool  wallpos;
209
210 // ===== MAIN
211 // =====
212 int main()
213 {
214     cout << "Vision initializing start " << endl;
215     int exitCode = 0;      // The exit code of the application.
216     //kinematics();
217     // ----- ADS comunication -----
218     std::ofstream foutsave;
219     foutsave.open("Master_Vision_Remi.txt");

```

```
219 // Open communication port on the ADS router
220 nPort = AdsPortOpen();
221 nErr = AdsGetLocalAddress(pAddr);
222
223 if (nErr) cerr << "Error: AdsGetLocalAddress: " << nErr << '\n';
224 pAddr->port = 851;
225
226 // Get the handle of the PLC-variable <szVar>
227 nErr = AdsSyncReadWriteReq(pAddr, ADSIGRP_SYM_HNDBYNAME, 0x0, sizeof      ↗
    (lHdlVar), &lHdlVar, sizeof(szVar), szVar);
228 nErr = AdsSyncReadWriteReq(pAddr, ADSIGRP_SYM_HNDBYNAME, 0x0, sizeof      ↗
    (lHdlVarX), &lHdlVarX, sizeof(XVar), XVar);
229 nErr = AdsSyncReadWriteReq(pAddr, ADSIGRP_SYM_HNDBYNAME, 0x0, sizeof      ↗
    (lHdlVarY), &lHdlVarY, sizeof(YVar), YVar);
230 nErr = AdsSyncReadWriteReq(pAddr, ADSIGRP_SYM_HNDBYNAME, 0x0, sizeof      ↗
    (lHdlVarZ), &lHdlVarZ, sizeof(ZVar), ZVar);
231 nErr = AdsSyncReadWriteReq(pAddr, ADSIGRP_SYM_HNDBYNAME, 0x0, sizeof      ↗
    (lHdlVarAngelX), &lHdlVarAngelX, sizeof(AngelXVar), AngelXVar);
232 nErr = AdsSyncReadWriteReq(pAddr, ADSIGRP_SYM_HNDBYNAME, 0x0, sizeof      ↗
    (lHdlVarAngelY), &lHdlVarAngelY, sizeof(AngelYVar), AngelYVar);
233 nErr = AdsSyncReadWriteReq(pAddr, ADSIGRP_SYM_HNDBYNAME, 0x0, sizeof      ↗
    (lHdlVarAngelZ), &lHdlVarAngelZ, sizeof(AngelZVar), AngelZVar);
234 nErr = AdsSyncReadWriteReq(pAddr, ADSIGRP_SYM_HNDBYNAME, 0x0, sizeof      ↗
    (lHdlVarpop), &lHdlVarpop, sizeof(popVar), popVar);
235 nErr = AdsSyncReadWriteReq(pAddr, ADSIGRP_SYM_HNDBYNAME, 0x0, sizeof      ↗
    (lHdlVarxrob), &lHdlVarxrob, sizeof(xrobVar), xrobVar);
236 nErr = AdsSyncReadWriteReq(pAddr, ADSIGRP_SYM_HNDBYNAME, 0x0, sizeof      ↗
    (lHdlVaryrob), &lHdlVaryrob, sizeof(yrobVar), yrobVar);
237 nErr = AdsSyncReadWriteReq(pAddr, ADSIGRP_SYM_HNDBYNAME, 0x0, sizeof      ↗
    (lHdlVaryzrob), &lHdlVaryzrob, sizeof(zrobVar), zrobVar);
238 nErr = AdsSyncReadWriteReq(pAddr, ADSIGRP_SYM_HNDBYNAME, 0x0, sizeof      ↗
    (lHdlVaraxrob), &lHdlVaraxrob, sizeof(axrobVar), axrobVar);
239 nErr = AdsSyncReadWriteReq(pAddr, ADSIGRP_SYM_HNDBYNAME, 0x0, sizeof      ↗
    (lHdlVarayrob), &lHdlVarayrob, sizeof(ayrobVar), ayrobVar);
240 nErr = AdsSyncReadWriteReq(pAddr, ADSIGRP_SYM_HNDBYNAME, 0x0, sizeof      ↗
    (lHdlVarazrob), &lHdlVarazrob, sizeof(azrobVar), azrobVar);
241 nErr = AdsSyncReadWriteReq(pAddr, ADSIGRP_SYM_HNDBYNAME, 0x0, sizeof      ↗
    (lHdlVarwallpos), &lHdlVarwallpos, sizeof(wallposVar), wallposVar);
242 if (nErr) cerr << "Error: AdsSyncReadWriteReq: " << nErr << '\n';
243
244 // ----- Pylon image-----
245 // Automagically call PylonInitialize and PylonTerminate to ensure the      ↗
    pylon runtime system
246 // is initialized during the lifetime of this object.
247 Pylon::PylonAutoInitTerm autoInitTerm;
248
249 // Create an instant camera object with the camera device found first.
250 CInstantCamera camera(CTLFactory::GetInstance().CreateFirstDevice());
251
252 // Print the model name of the camera.
253 cout << "Using device " << camera.GetDeviceInfo().GetVendorName() << " "      ↗
    << camera.GetDeviceInfo().GetModelName() << endl;
254
255 // Get a camera nodemap in order to access camera parameters.
256 GenApi::INodeMap& nodemap = camera.GetNodeMap();
257 // Open the camera before accessing any parameters.
```



```

258 camera.Open();
259 // Create pointers to access the camera Width and Height parameters.
260 GenApi::CIntegerPtr width = nodemap.GetNode("Width");
261 GenApi::CIntegerPtr height = nodemap.GetNode("Height");
262
263 // The parameter MaxNumBuffer can be used to control the count of buffers
264 // allocated for grabbing. The default value of this parameter is 10.
265 camera.MaxNumBuffer = 5;
266
267 // Create a pylon ImageFormatConverter object.
268 CImageFormatConverter formatConverter;
269 // Specify the output pixel format.
270 formatConverter.OutputPixelFormat = PixelType_Mono8; // ↗
    PixelType_Mono12;//PixelFormat_BGR8packed; // Mono 8 format
271 // Create a ↗
    PylonImage that will be used to create OpenCV images ↗
    later.
272 CPylonImage pylonImage;
273 // Declare an integer variable to count the number of grabbed images
274 // and create image file names with ascending number.
275 int grabbedImages = 0;
276
277
278 VideoWriter cvVideoCreator; ↗
    // Create an OpenCV video creator
279 std::string videoFileName = "openCvVideo.avi"; ↗
    // Define the video file name
280 cv::Size frameSize = Size((int)width->GetValue(), (int)height->GetValue ↗
    ()); // Define the video frame size
281
282 ↗
    // Set the codec type and the frame rate. You have 3 codec options ↗
    here.
283 ↗
    // The frame rate should match or be lower than the camera ↗
    acquisition frame rate.
284 cvVideoCreator.open(videoFileName, CV_FOURCC('D', 'I', 'V', 'X'), 14, ↗
    frameSize, true);
285 //cvVideoCreator.open(videoFileName, CV_FOURCC('M','P','4','2'), 20, ↗
    frameSize, true);
286 //cvVideoCreator.open(videoFileName, CV_FOURCC('M','J','P','G'), 20, ↗
    frameSize, true);
287
288 cout << "Vision inializing complete" << endl << "" << endl;
289 while (1 == 1) {
290 // Read start variabel
291 nErr = AdsSyncReadReq(pAddr, ADSIGRP_SYM_VALBYHND, lHdlVar, sizeof ↗
    (nData), &nData);
292 nErr = AdsSyncReadReq(pAddr, ADSIGRP_SYM_VALBYHND, lHdlVarpop, sizeof ↗
    (nDatapop), &nDatapop);
293 nErr = AdsSyncReadReq(pAddr, ADSIGRP_SYM_VALBYHND, lHdlVarxrob, ↗
    sizeof(xrob), &xrob);
294 nErr = AdsSyncReadReq(pAddr, ADSIGRP_SYM_VALBYHND, lHdlVaryrob, ↗
    sizeof(yrob), &yrob);
295 nErr = AdsSyncReadReq(pAddr, ADSIGRP_SYM_VALBYHND, lHdlVarzrob, ↗
    sizeof(zrob), &zrob);

```

```

...PPGAVE PROGRAMMER\Master_vision_Remi\baslerToOpenCV.cpp 7
296     nErr = AdsSyncReadReq(pAddr, ADSIGRP_SYM_VALBYHND, lHdlVaraxrob, 7
        sizeof(axrob), &axrob); 7
297     nErr = AdsSyncReadReq(pAddr, ADSIGRP_SYM_VALBYHND, lHdlVarayrob, 7
        sizeof(ayrob), &ayrob); 7
298     nErr = AdsSyncReadReq(pAddr, ADSIGRP_SYM_VALBYHND, lHdlVarazrob, 7
        sizeof(azrob), &azrob); 7
299     nErr = AdsSyncReadReq(pAddr, ADSIGRP_SYM_VALBYHND, lHdlVarwallpos, 7
        sizeof(wallpos), &wallpos); 7
300     if (nErr) {
301         cerr << "Error: AdsSyncReadReq: " << nErr << '\n';
302         return exitCode;
303     }
304
305
306     if (nData == 1) {
307         //std::cout << "Proseing" << std::endl;
308         std::cout<<" " <<std::endl;
309         destroyAllWindows();
310
311         double t = getTickCount(); //to time the undistort function
312         try
313         {
314             // Start the grabbing of c_countOfImagesToGrab images.
315             // The camera device is parameterized with a default 7
                configuration which 7
316             // sets up free-running continuous acquisition. 7
317             camera.StartGrabbing(c_countOfImagesToGrab, 7
                GrabStrategy_LatestImageOnly); 7
318
319             // This smart pointer will receive the grab result data.
320             CGrabResultPtr ptrGrabResult;
321
322             // Camera.StopGrabbing() is called automatically by the 7
                RetrieveResult() method 7
323             // when c_countOfImagesToGrab images have been retrieved.
324             while (camera.IsGrabbing())
325             {
326                 // Wait for an image and then retrieve it. A timeout of 7
                5000 ms is used. 7
327                 camera.RetrieveResult(5000, ptrGrabResult, 7
                TimeoutHandling_ThrowException); 7
328
329                 // Image grabbed successfully?
330                 if (ptrGrabResult->GrabSucceeded())
331                 {
332                     // Access the image data.
333                     imageSizeX = ptrGrabResult->GetWidth();
334                     imageSizeY = ptrGrabResult->GetHeight();
335
336
337                     imagecount = imagecount + 1;
338                     cout << "Image counter: " << imagecount << endl;
339
340
341                     LOG("Image sizeX: ", ptrGrabResult->GetWidth());
342                     LOG("Image sizeY: " , ptrGrabResult->GetHeight());

```

```

343
344
345         // Convert the grabbed buffer to a pylon image.
346         formatConverter.Convert(pylonImage, ptrGrabResult);
347
348         // Create an OpenCV image from a pylon image.
349         //openCvImage = cv::Mat(ptrGrabResult->GetHeight(), ↵
ptrGrabResult->GetWidth(), CV_8UC1, (uint8_t *) ↵
pylonImage.GetBuffer()); //CV_8UC1 - 8 bit unsigned ↵
integer with 1 channel, use if mono 8
350         // the above line creates the image container and ↵
puts in the pixels in same operations and the ↵
camerapointer is locket
351         openCvImage = cv::Mat(ptrGrabResult->GetHeight(), ↵
ptrGrabResult->GetWidth(), CV_8UC1); //create the image ↵
container
352         memcpy(openCvImage.ptr(), pylonImage.GetBuffer(), ↵
(ptrGrabResult->GetHeight())*(ptrGrabResult->GetWidth ↵
())); //putts the pixels in the image container
353
354
355         // Set saveImages to '1' to save images.
356         if (saveImages) {
357             // Create the current image name for saving.
358             std::ostringstream s;
359             // Create image name files with ascending grabbed ↵
image numbers.
360             s << "image_" << grabbedImages << ".jpg";
361             std::string imageName(s.str());
362             // Save an OpenCV image.
363             imwrite(imageName, openCvImage);
364             grabbedImages++;
365         }
366     }
367     else
368     {
369         cout << "Error: " << ptrGrabResult->GetErrorCode() << ↵
" " << ptrGrabResult->GetErrorDescription() << endl;
370     }
371 }
372
373 }
374 catch (GenICam::GenericException &e)
375 {
376     // Error handling.
377     cerr << "An exception occurred." << endl
378         << e.GetDescription() << endl;
379     exitCode = 1;
380 }
381
382 t = ((double)getTickCount() - t) / getTickFrequency();
383 LOGtime("Time for image collection = ");
384
385 // ----- Vision prosseing -----
386 img = openCvImage; //img used past this point
387 t = getTickCount(); //to time the undistort function

```

```

388     undistort(img, imgUndistorted, intrinsic,
389              distortionCoefficients); // undistorts the img
390     t = ((double)getTickCount() - t) / getTickFrequency();
391     LOGtime("Time for undistortion = ");
392     // -----Threshold demo -----
393
394     if (visualThreshold) {
395         char* window_name = "Threshold Demo";
396         char* trackbar_type = "Type: \n 0: Binary \n 1: Binary
397                               Inverted \n 2: Truncate \n 3: To Zero \n 4: To Zero
398                               Inverted";
399         char* trackbar_value = "Value";
400         // Create a window to display results
401         namedWindow(window_name, CV_WINDOW_NORMAL);
402         resizeWindow(window_name, 800, 600);
403         // Create Trackbar to choose type of Threshold
404         createTrackbar(trackbar_type, window_name, &threshold_type,
405                       max_type, Threshold_Demo);
406         createTrackbar(trackbar_value, window_name, &threshold_value,
407                       max_value, Threshold_Demo);
408         // Call the function to initialize
409         Threshold_Demo(0, 0);
410         // Wait until user finishes program
411         while (true)
412         {
413             int c;
414             c = waitKey(20);
415             if ((char)c == 27)
416             {
417                 break;
418             }
419         }
420     }
421
422     // ----- Image processing -----
423     t = getTickCount(); //to time the image processing
424
425     //Checks if robot is at wall or at pallet
426     // Different threshold value because of different light
427     conditions
428
429     if (wallpos == 1) {
430         thresholdValue = thresholdWall;
431         centeroffset = 595;
432         LOG("Wallpos = ", wallpos);
433         std::cout << "Position: Wall" << std::endl;
434         Mat imgblur;
435         cv::GaussianBlur(imgUndistorted, imgblur, Size(15, 15), 0,
436                          0);
437         threshold(imgblur, imgThreshold, 0, 255, THRESH_BINARY |
438                  THRESH_OTSU);
439         //showimg("OTSU", imgThreshold);
440         //showimg("blur", imgblur);
441     }
442     else {

```

```
436         thresholdValue = thresholdPlateStorage;
437         centeroffset = 0;
438         LOG("Wallpos = ", wallpos);
439         std::cout << "Position: Plate Storage" << std::endl;
440         threshold(imgUndistorted, imgThreshold, thresholdValue,
441                 maxBINARYValue, thresholdType);
442         //showimg("Threshold", imgThreshold);
443     }
444     // find contours collected from: https://stackoverflow.com/
445     // questions/26583649/opencv-c-rectangle-detection-which-has-
446     // irregular-side
447     // find contours(if always so easy to segment as your image, you
448     // could just add the black / rect pixels to a vector)
449     findContours(imgThreshold, contours, CV_RETR_EXTERNAL,
450                 CV_CHAIN_APPROX_SIMPLE);
451     vector<Vec4i> hierarchy;
452     Mat drawing = Mat::zeros(imgUndistorted.size(), CV_8UC3);
453     drawing.setTo(cv::Scalar(white));
454     // Draw contours and find biggest contour (if there are other
455     // contours in the image, we assume the biggest one is the desired
456     // rect)
457     // drawing here is only for demonstration!
458     int biggestContourIdx = -1;
459     float biggestContourArea = 0;
460     for (int i = 0; i < contours.size(); i++)
461     {
462         if (imgShow)
463         {
464             drawContours(drawing, contours, i, gray, 2, 8, hierarchy,
465                         0, Point());
466         }
467         float ctArea = contourArea(contours[i]);
468         if (ctArea > biggestContourArea)
469         {
470             biggestContourArea = ctArea;
471             biggestContourIdx = i;
472         }
473     }
474     // if no contour found
475     if (biggestContourIdx < 0)
476     {
477         cout << "no contour found" << std::endl;
478         return 1;
479     }
480     // compute the rotated bounding rect of the biggest contour!
481     // (this is the part that does what you want/need)
482     RotatedRect boundingBox = minAreaRect(contours
483     [biggestContourIdx]);
484     // one thing to remark: this will compute the OUTER boundary box,
485     // so maybe you have to erode/dilate if you want something
486     // between the ragged lines
487     center = boundingBox.center;
488     // draw the rotated rect
```

```
480     Point2f corners[4];
481     boundingBox.points(corners);
482     std::vector<cv::Point2f> corners2;
483     corners2.push_back(corners[0]);
484     corners2.push_back(corners[1]);
485     corners2.push_back(corners[2]);
486     corners2.push_back(corners[3]);
487
488     // Angel of rect tangel, openCV only use -90 to 0
489     if (boundingBox.size.width < boundingBox.size.height) {
490         angel = (90 + boundingBox.angle);
491         LOG("Angle along longer side: ", angel);
492     }
493     else {
494         angel = (boundingBox.angle);
495         LOG("Angle along longer side: ", angel);
496     }
497
498     if (solvePnPMethod) {
499         //// TEST av solve PNP
500
501         double hight = 295;
502         double width = 595;
503         std::vector<cv::Point3f> objectPoints;
504
505         if (boundingBox.size.height < boundingBox.size.width) {
506
507             objectPoints.push_back(cv::Point3f(0, 0, 0));
508             objectPoints.push_back(cv::Point3f(0, hight, 0));
509             objectPoints.push_back(cv::Point3f(width, hight, 0));
510             objectPoints.push_back(cv::Point3f(width, y, 0));
511             plateoffsetx = width / 2;
512             plateoffsety = hight / 2;
513         }
514         else {
515             objectPoints.push_back(cv::Point3f(0, 0, 0));
516             objectPoints.push_back(cv::Point3f(width, 0, 0));
517             objectPoints.push_back(cv::Point3f(width, hight, 0));
518             objectPoints.push_back(cv::Point3f(0, hight, 0));
519             plateoffsetx = width / 2;
520             plateoffsety = hight / 2;
521         }
522
523         cv::Mat cameraMatrix(3, 3, cv::DataType<double>::type);
524         cv::setIdentity(cameraMatrix);
525         cameraMatrix.at<double>(0, 0) = fx;
526         cameraMatrix.at<double>(0, 2) = cx;
527         cameraMatrix.at<double>(1, 1) = fy;
528         cameraMatrix.at<double>(1, 2) = cy;
529
530         cv::Mat distCoeffs(5, 1, cv::DataType<double>::type);
531         distCoeffs.at<double>(0) = 0; //k1; // Because the function ↗
532             solvePnP already undistort the imagePoints
533         distCoeffs.at<double>(1) = 0; //k2;
534         distCoeffs.at<double>(2) = 0; //p1;
535         distCoeffs.at<double>(3) = 0; //p2;
```

```

535     distCoeffs.at<double>(4) = 0; //k3;
536
537     //std::cout << "World points" << std::endl << objectPoints << ↵
538     //std::cout << "Image points" << std::endl << corner << ↵
539     //std::endl;
540
541     cv::Mat RotMat(3, 3, cv::DataType<double>::type);
542
543     cv::solvePnP(objectPoints, corners2, cameraMatrix, ↵
544     distCoeffs, rvec, tvec); // , false, CV_ITERATIVE);
545     //std::cout << tvec << std::endl;
546     //std::cout << rvec << std::endl;
547
548     cv::Rodrigues(rvec, RotMat);
549     LOG("RotMat", RotMat);
550     X = tvec.at<double>(0);
551     Y = tvec.at<double>(1);
552     Z = tvec.at<double>(2);
553     Xrob = X;
554     Yrob = Y;
555     Zrob = Z;
556
557     cv::cv2eigen(RotMat, RotMatEigen);
558     LOG("RotMatEigen", RotMatEigen);
559
560     double pi = 3.141592;
561     // H0
562     // values for r0 and t0 gadderd from robot,
563     //since it tacke picture from samme position every time this ↵
564     // is constant
565
566     /*
567     Rotation matrix from base to TCP
568     Euler angels, roll, pitch and yaw
569     rz = -90, ry = 0, rx -180
570     */
571     Matrix3d r0 = Matrix3d::Zero();
572     double angle1 = azrob* pi / 180;//angel; // z-rotation
573     double angle2 = ayrob* pi / 180;
574     double angle3 = axrob* pi / 180;
575
576     r0 = AngleAxisd(angle1, Vector3d::UnitZ())
577     * AngleAxisd(angle2, Vector3d::UnitY())
578     * AngleAxisd(angle3, Vector3d::UnitX());
579
580     /*Position of TCP with respect to base of robot*/
581     Vector3d t0;
582     t0[0] = xrob;
583     t0[1] = yrob;
584     t0[2] = zrob;
585
586     Matrix4d h0 = Matrix4d::Zero();
587     h0(0, 0) = r0(0, 0); h0(0, 1) = r0(0, 1); h0(0, 2) = r0(0, ↵

```

```

2);
587     h0(1, 0) = r0(1, 0); h0(1, 1) = r0(1, 1); h0(1, 2) = r0(1, 2);
2);
588     h0(2, 0) = r0(2, 0); h0(2, 1) = r0(2, 1); h0(2, 2) = r0(2, 2);
2);
589     h0(0, 3) = t0(0); h0(1, 3) = t0(1); h0(2, 3) = t0(2); h0(3, 3) = 1;
590
591     /* -----h1 = [r1 t1]-----
592     From TCP to camera center
593     Camera has samme rotation than TCP
594     */
595     Matrix3d r1 = Matrix3d::Identity();
596     Vector3d t1;
597     t1[0] = 0;//0;//10.02;//5.07; //2.42; //
598     // transpaltion of camera compered to TCP in Xaxis
599     t1[1] = -160.2;//-196.7;//-161.5;//-196.9;//-200.2;//-147.5 -
600     // 50;//50; // transpaltion of camera compered to TCP in
601     Yaxis
602     t1[2] = -30;//-30.23;// // transpaltion of camera
603     compered to TCP in Zaxis
604
605     Matrix4d h1 = Matrix4d::Zero();
606     h1(0, 0) = r1(0, 0); h1(0, 1) = r1(0, 1); h1(0, 2) = r1(0, 2);
607     2);
608     h1(1, 0) = r1(1, 0); h1(1, 1) = r1(1, 1); h1(1, 2) = r1(1, 2);
609     2);
610     h1(2, 0) = r1(2, 0); h1(2, 1) = r1(2, 1); h1(2, 2) = r1(2, 2);
611     2);
612     h1(0, 3) = t1(0); h1(1, 3) = t1(1); h1(2, 3) = t1(2); h1(3, 3) = 1;
613
614     /* -----h2 = [r2 t2]-----
615     From Camera frame to Plate position
616     Only rotation about Z axis
617     */
618     Vector3d t2;
619     t2[0] = X; // x-pos of plate from camera frame
620     t2[1] = Y; //+centeroffset; // y-pos of plate from
621     camera frame
622     t2[2] = Z; // z- pos of plate from camera frame
623
624     Matrix4d h2 = Matrix4d::Identity();
625     h2(0, 0) = RotMatEigen(0, 0); h2(0, 1) = RotMatEigen(0, 1);
626     h2(0, 2) = RotMatEigen(0, 2);
627     h2(1, 0) = RotMatEigen(1, 0); h2(1, 1) = RotMatEigen(1, 1);
628     h2(1, 2) = RotMatEigen(1, 2);
629     h2(2, 0) = RotMatEigen(2, 0); h2(2, 1) = RotMatEigen(2, 1);
630     h2(2, 2) = RotMatEigen(2, 2);
631     h2(0, 3) = t2(0); h2(1, 3) = t2(1); h2(2, 3) = t2(2); h2(3, 3) = 1;
632     LOG("h2", h2);
633
634     //H4

```



```
626
627         Matrix3d r4 = Matrix3d::Zero();
628         Vector3d t4;
629         if (boundingBox.size.width < boundingBox.size.height){
630             r4(0, 0) = -1;
631             r4(1, 1) = -1;
632             r4(2, 2) = 1;
633             LOG("r4", r4);
634         }
635         else {
636             r4(0, 0) = 1;
637             r4(1, 1) = -1;
638             r4(2, 2) = -1;
639             LOG("r4", r4);
640         }
641
642
643         t4[0] = plateoffsetx; //plateoffsetx;
644         t4[1] = plateoffsety; // plateoffsety;
645         t4[2] = 0; //0;
646
647         Matrix4d h4 = Matrix4d::Zero();
648         h4(0, 0) = r4(0, 0);
649         h4(0, 1) = r4(0, 1);
650         h4(0, 2) = r4(0, 2);
651
652         h4(1, 0) = r4(1, 0);
653         h4(1, 1) = r4(1, 1);
654         h4(1, 2) = r4(1, 2);
655
656         h4(2, 0) = r4(2, 0);
657         h4(2, 1) = r4(2, 1);
658         h4(2, 2) = r4(2, 2);
659
660         h4(0, 3) = t4(0);
661         h4(1, 3) = t4(1);
662         h4(2, 3) = t4(2);
663         h4(3, 3) = 1;
664
665         LOG("h4", h4);
666
667
668         /*-----h3 = h0 * h1* h2 -----
669         Representation of plate from base frame
670         */
671         Matrix4d h3;
672         h3 = h0*h1*h2*h4;
673         Matrix3d r3;
674         r3(0, 0) = h3(0, 0); r3(0, 1) = h3(0, 1); r3(0, 2) = h3(0, 2);
675         r3(1, 0) = h3(1, 0); r3(1, 1) = h3(1, 1); r3(1, 2) = h3(1, 2);
676         r3(2, 0) = h3(2, 0); r3(2, 1) = h3(2, 1); r3(2, 2) = h3(2, 2);
677
678         // Position of plate according to base frame
```

```

679         X = h3(0, 3);
680         Y = h3(1, 3);
681         Z = h3(2, 3);
682         //cout << "h3" << h3 << endl;
683
684         // Rotation of plate according to base frame in Euler angles
685
686
687         // Rotation matrix to Euler angles
688         //https://www.geometrictools.com/Documentation/           ↗
689         EulerAngles.pdf
690         if (r3(2, 0) < 1)
691         {
692             if (r3(2, 0) > -1)
693             {
694                 rotY = asin(-r3(2, 0));
695                 rotZ = atan2(r3(1, 0), r3(0, 0));
696                 rotX = atan2(r3(2, 1), r3(2, 2));
697             }
698             else // r20 = -1
699             {
700                 // Not a unique solution: thetaX - thetaZ
701                 // thetaZ = atan2(-r12, r11)
702                 rotY = pi / 2;
703                 rotZ = -atan2(-r3(1, 2), r3(1, 1));
704                 rotX = 0;
705             }
706         }
707         else // r20 = +1
708         {
709             // Not a unique solution: thetaX + thetaZ
710             // thetaZ = atan2(-r12, r11)
711             rotY = -pi / 2;
712             rotZ = atan2(-r3(1, 2), r3(1, 1));
713             rotX = 0;
714         }
715
716         rotZ = rotZ * 180 / pi;
717         rotY = rotY * 180 / pi;
718         rotX = rotX * 180 / pi;
719
720         // Project 3D points onto 2D image
721         std::vector<cv::Point3f> p3d;
722         std::vector<cv::Point2f> p2d;
723         cv::Point3f p0, pX, sX, sY, sZ;
724
725         // Origo
726
727         p0.x = 0; // hcpMatrix.at<double>(0, 3);
728         p0.y = 0; // hcpMatrix.at<double>(1, 3);
729         p0.z = 0; // hcpMatrix.at<double>(2, 3);
730
731         // Local vector s
732         sX.x = 100.0;

```

```
732         sX.y = 0.0;
733         sX.z = 0.0;
734
735         sY.x = 0.0;
736         sY.y = 100.0;
737         sY.z = 0.0;
738
739         sZ.x = 0.0;
740         sZ.y = 0.0;
741         sZ.z = 100.0;
742
743         p3d.push_back(p0);
744         p3d.push_back(sX);
745         p3d.push_back(sY);
746         p3d.push_back(sZ);
747
748         cv::projectPoints(p3d, rvec, tvec, cameraMatrix, distCoeffs, ↗
           p2d);
749
750         cv::arrowedLine(drawing, p2d[0], p2d[1], red, 5, 8); //xline
751         cv::arrowedLine(drawing, p2d[0], p2d[2], green, 5, 8); // ↗
           yline
752         cv::arrowedLine(drawing, p2d[0], p2d[3], blue, 5, 8); //zline
753
754         Eigen::Matrix4d h5 = h2* h4;
755         cv::Mat h5cv = cv::Mat(4, 4, CV_64F);
756         cv::eigen2cv(h5, h5cv);
757         LOG("h5cv", h5cv);
758
759         rvecc = cv::Mat::zeros(cv::Size(3, 3), CV_64FC1);
760         rvecc.at<double>(0, 0) = h5cv.at<double>(0, 0);
761         rvecc.at<double>(0, 1) = h5cv.at<double>(0, 1);
762         rvecc.at<double>(0, 2) = h5cv.at<double>(0, 2);
763
764         rvecc.at<double>(1, 0) = h5cv.at<double>(1, 0);
765         rvecc.at<double>(1, 1) = h5cv.at<double>(1, 1);
766         rvecc.at<double>(1, 2) = h5cv.at<double>(1, 2);
767
768         rvecc.at<double>(2, 0) = h5cv.at<double>(2, 0);
769         rvecc.at<double>(2, 1) = h5cv.at<double>(2, 1);
770         rvecc.at<double>(2, 2) = h5cv.at<double>(2, 2);
771         LOG("rvecc", rvecc);
772
773         tvecc.at<double>(0) = h5cv.at<double>(0, 3); //plateoffsetx;
774         tvecc.at<double>(1) = h5cv.at<double>(1, 3); //plateoffsety;
775         tvecc.at<double>(2) = h5cv.at<double>(2, 3);
776         LOG("tvecc", tvecc);
777         std::vector<cv::Point2f> p2dc;
778         cv::projectPoints(p3d, rvecc, tvecc, cameraMatrix, ↗
           distCoeffs, p2dc);
779         cv::arrowedLine(drawing, p2dc[0], p2dc[1], red, 5, 8); // ↗
           xline
780         cv::arrowedLine(drawing, p2dc[0], p2dc[2], green, 5, 8); // ↗
           yline
781         cv::arrowedLine(drawing, p2dc[0], p2dc[3], blue, 5, 8); // ↗
           zline
```

```

782
783         t = ((double)getTickCount() - t) / getTickFrequency();
784         LOGtime("Time for img prosssing = ");
785     }
786
787     //-----
788     UDP-----
789     std::cout << "" << std::endl;
790     udp();
791     zMeasured = zMeasured - 105-22; // differens to TCP and stationary
792     diviation
793     std::cout << "Distance from tool to plate" << std::endl;
794     cout << "Measured: " << zMeasured << " mm" << endl;
795
796     t = ((double)getTickCount() - t) / getTickFrequency();
797     LOGtime("Time for reading Arduino sensor = ");
798
799     // -----Position estimation
800     -----
801     u = boundingBox.center.x;
802     v = boundingBox.center.y;
803     x = u - (imageSizeX / 2);
804     y = v - (imageSizeY / 2);
805     Z = zMeasured + 17 - 6 * (1 - imagecount + 1); //953
806     nDatapop - imagecount + 1)
807     X = (x / fx) *Z; // X pos of center of plate
808     Y = (y / fy) *Z; // Y pos of center of plate
809     LOG("x ", x);
810     LOG("y ", y);
811     kinematics();
812 }
813
814 if (wallpos == 1) {
815     Z = Z - 306;
816     X = X + 3;
817     std::cout << "Estimated: " << Yrob - Y << " mm"<< std::endl;
818 }
819 if (wallpos == 0) {
820     std::cout << "Estimated: " << Zrob - Z << " mm" << std::endl;
821     //if (Z > 90) Z = 85;
822     //else if (Z < 80) Z = 85;
823     //else Z;
824 }
825
826 std::cout << "" << std::endl;
827 std::cout << "Angel of plate: " << angel << std::endl;
828
829 std::cout << "" << std::endl;
830 std::cout << "Position of plate relative to robot base" <<
831     std::endl;
832 nDataX = X;
833 nDataY = Y;
834 nDataZ = Z;
835 nDataAngelX = rotX;
836 nDataAngelY = rotY;

```

```
833     nDataAngelZ = rotZ;
834     nData = 0;
835     nErr = AdsSyncWriteReq(pAddr, ADSIGRP_SYM_VALBYHND, lHdlVarX,      ↗
        sizeof(nDataX), &nDataX);
836     nErr = AdsSyncWriteReq(pAddr, ADSIGRP_SYM_VALBYHND, lHdlVarY,      ↗
        sizeof(nDataY), &nDataY);
837     nErr = AdsSyncWriteReq(pAddr, ADSIGRP_SYM_VALBYHND, lHdlVarZ,      ↗
        sizeof(nDataZ), &nDataZ);
838     nErr = AdsSyncWriteReq(pAddr, ADSIGRP_SYM_VALBYHND,                ↗
        lHdlVarAngelX, sizeof(nDataAngelX), &nDataAngelX);
839     nErr = AdsSyncWriteReq(pAddr, ADSIGRP_SYM_VALBYHND,                ↗
        lHdlVarAngelY, sizeof(nDataAngelY), &nDataAngelY);
840     nErr = AdsSyncWriteReq(pAddr, ADSIGRP_SYM_VALBYHND,                ↗
        lHdlVarAngelZ, sizeof(nDataAngelZ), &nDataAngelZ);
841
842     nErr = AdsSyncWriteReq(pAddr, ADSIGRP_SYM_VALBYHND, lHdlVar,      ↗
        sizeof(nData), &nData);
843     if (nErr) cerr << "Error: AdsSyncWriteReq: " << nErr << '\n';
844
845     LOG("u ", u);
846     LOG("v ", v);
847
848     LOG("xrob ", xrob);
849     LOG("yrob ", yrob);
850     LOG("zrob ", zrob);
851     LOG("axrob ", axrob);
852     LOG("ayrob ", ayrob);
853     LOG("azrob ", azrob);
854
855     cout << "X " << X << endl;
856     cout << "Y " << Y << endl;
857     cout << "Z " << Z << endl;
858     cout << "rotZ " << rotZ << endl;
859     cout << "rotY " << rotY << endl;
860     cout << "rotX " << rotX << endl;
861
862     std::cout << "" << std::endl; //<< "Finished" << std::endl <<      ↗
        "" << std::endl;
863
864     foutsave << X << "," << Y << "," << Z << "," << rotX << "," <<      ↗
        rotY << "," << rotZ << "," << angel << endl;
865
866
867     LOG("Corner 0: ", corners[0]);
868     LOG("Corner 1: ", corners[1]);
869     LOG("Corner 2: ", corners[2]);
870     LOG("Corner 3: ", corners[3]);
871     LOG("Rectangel width: ", boundingBox.size.width);
872     LOG("Rectangel high: ", boundingBox.size.height);
873
874
875     if (imgShow) {
876
877         //draw center of img
878         //circle(drawing, Point(imageSizeX / 2, imageSizeY / 2), 4,      ↗
            Scalar(255, 255, 255), -1, 8, 0);
```

```
879         //putText(drawing, "center of img", Point(imageSizeX / 2 + 5, ↵
            imageSizeY / 2), FONT_HERSHEY_SIMPLEX, 1, Scalar(0, 200, ↵
            200), 4);
880         circle(drawing, Point(center), 4, black, 8, 0);
881         for (int i = 0; i < 4; i++) {
882             line(drawing, corners[i], corners[(i + 1) % 4], black, 5, ↵
                CV_AA);
883             stringstream Cornertext; Cornertext << "Corner: " << i;
884             //putText(drawing,Cornertext.str(), (Point(corners[i])), ↵
                FONT_HERSHEY_SIMPLEX, 1, black, 4);
885             waitKey(1);
886             showing("Draw img", drawing);
887             showing("Undistorted image", imgUndistorted);
888             //showing("Original img", img);
889             cv::moveWindow("Draw img", 650, 440);
890             cv::moveWindow("Undistorted image", 650, 0);
891             waitKey(1);
892         }
893
894
895     }
896     if (imageHold){
897
898
899         while (true)
900         {
901             int c;
902             c = waitKey(20);
903             if ((char)c == 27)
904             {
905                 break;
906             }
907         }
908
909
910     }
911 }
912
913 }
914 // Close the communication port
915 nErr = AdsPortClose();
916 foutsave.close();
917 if (nErr) cerr << "Error: AdsPortClose: " << nErr << '\n';
918
919 return exitCode;
920 }
921
922
923 void Threshold_Demo(int, void*)
924 {
925     /* 0: Binary
926        1: Binary Inverted
927        2: Threshold Truncated
928        3: Threshold to Zero
929        4: Threshold to Zero Inverted
930     */
```

```
931
932     Mat dst;
933     threshold(imgUndistorted, dst, threshold_value, max_BINARY_value, ↗
           threshold_type);
934     imshow("Threshold Demo", dst);
935 }
936
937 void udp(void)
938 /* This function opens a udp connection to the arduino and reads the ↗
           position 10 times and takes the average
939 This function is based on:
940 https://social.msdn.microsoft.com/Forums/en-US/ ↗
           f7402dfa-405c-4b6d-95d8-3d10530d8120/using-server-and-a-client-with-udp? ↗
           forum=Vsexpressvc
941 and modified by:
942 Remi Askeland
943 */
944 {
945 #define SERVER "192.168.1.3" //ip address of udp server
946 #define BUFLen 512 //Max length of buffer
947 #define PORT 5000 //The port on which to listen for incoming data
948
949     struct sockaddr_in si_other;
950     int s, slen = sizeof(si_other);
951     char buf[BUFLen];
952     char message[BUFLen];
953     float max = 0;
954     WSADATA wsa;
955     //Initialise winsock
956     //printf("\nInitialising Winsock...");
957     if (WSAStartup(MAKEWORD(2, 2), &wsa) != 0)
958     {
959         cout << "Failed. Error Code: " << WSAGetLastError() << endl;
960         exit(EXIT_FAILURE);
961     }
962     //printf("Initialised.\n");
963
964     //create socket
965     //printf("\nInitialising socket...");
966     if ((s = socket(AF_INET, SOCK_DGRAM, IPPROTO_UDP)) == SOCKET_ERROR)
967     {
968         printf("socket() failed with error code : %d", WSAGetLastError());
969         exit(EXIT_FAILURE);
970     }
971     //printf("Initialised.\n");
972
973     //setup address structure
974     memset((char *)&si_other, 0, sizeof(si_other));
975     si_other.sin_family = AF_INET;
976     si_other.sin_port = htons(PORT);
977     si_other.sin_addr.S_un.S_addr = inet_addr(SERVER);
978
979     //start communication
980     const int udpcounter = 10;
981     float i = 0;
982     double input[udpcounter];
```

```
983     int numOfInputs = 0;
984     double sum = 0;
985     while (i < udpcounter)
986     {
987         //send the message
988         if (sendto(s, "zpos", strlen(message), 0, (struct sockaddr *)
989             &si_other, slen) == SOCKET_ERROR)
990         {
991             printf("sendto() failed with error code : %d", WSAGetLastError
992                 ());
993             exit(EXIT_FAILURE);
994         }
995         //receive a reply and print it
996         //clear the buffer by filling null, it might have previously received
997         data
998         memset(buf, '\0', BUFLen);
999         //try to receive some data, this is a blocking call
1000         if (recvfrom(s, buf, BUFLen, 0, (struct sockaddr *) &si_other, &slen)
1001             == SOCKET_ERROR)
1002         {
1003             printf("recvfrom() failed with error code : %d", WSAGetLastError
1004                 ());
1005             exit(EXIT_FAILURE);
1006         }
1007         max = atof(buf);
1008         //puts(buf);
1009         //cout << buf << endl;
1010         input[numOfInputs] = atof(buf);
1011         sum += input[numOfInputs];
1012         numOfInputs++;
1013         i = i + 1;
1014     }
1015     zMeasured = sum / numOfInputs;
1016     //cout << "The sum is " << sum << endl;
1017     //cout << "Number of inputs " << numOfInputs << endl;
1018     //cout << "Average of zinputs " << zMeasured << endl;
1019     closesocket(s);
1020     WSACleanup();
1021 }
1022
1023 void showing(string windowName, Mat imgVariabel) {
1024
1025     namedWindow(windowName, CV_WINDOW_NORMAL);
1026     resizeWindow(windowName, 600, 400);
1027     imshow(windowName, imgVariabel);
1028     waitKey(1);
1029 }
1030
```



```

MODULE platehandler_h2017
  ! TOOL and objects
  TASK PERS tooldata Bachelor_data_modified:=[TRUE,[[60.863,5.254,292.718505896],
[0.661754661,-0.283826324,0.26264135,-0.642295032]], [1,[0,0,1],[1,0,0,0],0,0,0]];
  TASK PERS wobjdata Small_pallet:=[FALSE,TRUE,"",[[593.35,-1260,70.5],
[0,-0.707106781,0.707106781,0]], [[0,0,0],[1,0,0,0]]];
  TASK PERS tooldata Tool:=[TRUE,[[51.632026529,-0.940509669,197.87948077],
[0.382684336,-0.00000314,-0.923879158,-0.000002319]], [1,[0,0,1],[1,0,0,0],0,0,0]];
  TASK PERS tooldata Calibrated_data:=[TRUE,[[152.449,-5.788,144.658],
[0.499889488,0.714129269,-0.489899498,-0.011329988]], [1,[0,0,1],[1,0,0,0],0,0,0]];
  TASK PERS tooldata Bachelor_data:=[TRUE,[[60.863,5.254,292.718505896],
[0.922102381,-0.014980039,0.386410998,0.013760036]], [1,[0,0,1],[1,0,0,0],0,0,0]];
  TASK PERS wobjdata Big_pallet:=[FALSE,TRUE,"",[[1660.85,-1255,89.5],
[0,-0.707106781,0.707106781,0]], [[0,0,0],[1,0,0,0]]];
  TASK PERS tooldata Tooldata_1711:=[TRUE,[[175.571,192.0081,171.4725],
[0.484496568,0.713500625,-0.505914514,-0.015180221]], [10,[0,0,1],[1,0,0,0],0,0,0]];
  TASK PERS tooldata Tooldata_1711withorientation:=[TRUE,
[[85.402642691,4.133520763,236.967231212],[0.661754661,-0.283826324,0.26264135,-0.642295032]], [1,
[0,0,1],[1,0,0,0],0,0,0]];
  TASK PERS tooldata Tooldata_2011:=[TRUE,[[121.626434098,-18.142853011,297.675631922],
[0.665475549,-0.274988922,0.25406496,-0.645735536]], [10,[0,0,1],[1,0,0,0],0,0,0]];
  TASK PERS wobjdata Turntool:=[FALSE,TRUE,"",[[1705.85,-141,1374.5],
[0,-0.707106781,0.707106781,0]], [[0,0,0],[1,0,0,0]]];
  TASK PERS wobjdata Wall:=[FALSE,TRUE,"",[[245.85,1400,2167.5],[0.707106781,-0.707106781,0,0]],
[[0,0,0],[1,0,0,0]]];
  TASK PERS tooldata Tool2911_modrot:=[TRUE,[[55.083309317,4.806686265,268.901010755],
[0.665475549,-0.274988922,0.25406496,-0.645735536]], [10,[0,0,1],[1,0,0,0],0,0,0]];
  ! Targets
  CONST robtarget homehome:=[[1547.954,-1028.131,1809.932],[0,-0.707106781,0.707106781,0],
[-1,0,-1,0],[9E+09,9E+09,9E+09,9E+09,9E+09,9E+09]];
  CONST robtarget p1:=[[0,0,-1500],[1,0,0,0],[-1,0,-1,0],[9E+09,9E+09,9E+09,9E+09,9E+09,9E+09]];
  CONST robtarget p2:=[[0,0,-1000],[1,0,0,0],[-1,0,-2,0],[9E+09,9E+09,9E+09,9E+09,9E+09,9E+09]];
  CONST robtarget p3:=[[0,157.5,-1000],[1,0,0,0],[-1,0,-1,0],[9E+09,9E+09,9E+09,9E+09,9E+09,9E
+09]];
  CONST robtarget p4:=[[0,157.5,-857.5],[1,0,0,0],[-1,0,-1,0],[9E+09,9E+09,9E+09,9E+09,9E+09,9E
+09]];
  CONST robtarget p5:=[[0,0,-500],[1,0,0,0],[-1,0,-2,0],[9E+09,9E+09,9E+09,9E+09,9E+09,9E+09]];
  CONST robtarget p6:=[[0,500,-500],[1,0,0,0],[-1,0,-1,0],[9E+09,9E+09,9E+09,9E+09,9E+09,9E+09]];
  CONST robtarget p7:=[[0,0,-500],[1,0,0,0],[-1,0,-1,0],[9E+09,9E+09,9E+09,9E+09,9E+09,9E+09]];
  CONST robtarget p8:=[[0,0,-200],[1,0,0,0],[-1,0,-1,0],[9E+09,9E+09,9E+09,9E+09,9E+09,9E+09]];
  CONST robtarget p9:=[[0,0,0],[1,0,0,0],[-1,0,-1,0],[9E+09,9E+09,9E+09,9E+09,9E+09,9E+09]];
  CONST robtarget p10:=[[0,500,-500],[0,0,1,0],[-1,1,0,0],[9E+09,9E+09,9E+09,9E+09,9E+09,9E+09]];
  CONST robtarget p11:=[[0,500,-200],[0,0,1,0],[-1,1,0,0],[9E+09,9E+09,9E+09,9E+09,9E+09,9E+09]];
  CONST robtarget p12:=[[0,500,0],[0,0,1,0],[-1,1,0,0],[9E+09,9E+09,9E+09,9E+09,9E+09,9E+09]];
  CONST robtarget p13:=[[0,0,200],[0,0,1,0],[-1,1,-1,0],[9E+09,9E+09,9E+09,9E+09,9E+09,9E+09]];
  CONST robtarget p14:=[[0,0,6],[0,0,1,0],[-1,1,0,0],[9E+09,9E+09,9E+09,9E+09,9E+09,9E+09]];
  CONST robtarget p15:=[[0.000048162,-0.000046612,-133.00000186],
[0.000000037,0.000000071,1,0.000000057],[-1,1,0,0],[9E+09,9E+09,9E+09,9E+09,9E+09,9E+09]];
  CONST robtarget p16:=[[0,0,-500],[0,0,1,0],[-1,1,0,0],[9E+09,9E+09,9E+09,9E+09,9E+09,9E+09]];
  CONST robtarget p17:=[[0,500,-500],[0,0,1,0],[-1,1,0,0],[9E+09,9E+09,9E+09,9E+09,9E+09,9E+09]];
  CONST robtarget p18:=[[0,500,-500],[0.707106781,0,-0.707106781,0],[-1,1,-1,0],[9E+09,9E+09,9E
+09,9E+09,9E+09,9E+09]];
  CONST robtarget wall1:=[[300,150,-700],[1,0,0,0],[0,1,-2,0],[9E+09,9E+09,9E+09,9E+09,9E+09,9E
+09]];
  CONST robtarget pSmallBottom:=[[0,0,-6],[1,0,0,0],[-1,1,-3,0],[9E+09,9E+09,9E+09,9E+09,9E+09,9E
+09]];
  CONST robtarget pSmallBottom_2:=[[0,0,-12],[1,0,0,0],[-1,1,-3,0],[9E+09,9E+09,9E+09,9E+09,9E
+09,9E+09]];

```

```

CONST robtarget pSmallBottom_3:=[[0,0,-18],[1,0,0,0],[-1,1,-3,0],[9E+09,9E+09,9E+09,9E+09,9E+09,9E+09]];
CONST robtarget pSmallBottom_4:=[[0,0,-24],[1,0,0,0],[-1,1,-3,0],[9E+09,9E+09,9E+09,9E+09,9E+09,9E+09]];
CONST robtarget pSmallBottom_5:=[[0,0,-30],[1,0,0,0],[-1,1,-3,0],[9E+09,9E+09,9E+09,9E+09,9E+09,9E+09]];
CONST robtarget pSmallBottom_6:=[[0,0,-36],[1,0,0,0],[-1,1,-3,0],[9E+09,9E+09,9E+09,9E+09,9E+09,9E+09]];
CONST robtarget pSmallBottom_7:=[[0,0,-42],[1,0,0,0],[-1,1,-3,0],[9E+09,9E+09,9E+09,9E+09,9E+09,9E+09]];
CONST robtarget pSmallBottom_8:=[[0,0,-48],[1,0,0,0],[-1,1,-3,0],[9E+09,9E+09,9E+09,9E+09,9E+09,9E+09]];
CONST robtarget pSmallBottom_9:=[[0,0,-54],[1,0,0,0],[-1,1,-3,0],[9E+09,9E+09,9E+09,9E+09,9E+09,9E+09]];
CONST robtarget pSmallBottom_10:=[[0,0,-60],[1,0,0,0],[-1,1,-3,0],[9E+09,9E+09,9E+09,9E+09,9E+09,9E+09]];
CONST robtarget towall:=[[1047.954,-528.131,1809.932],[0,-0.707106781,0.707106781,0],[-1,0,-1,0],[9E+09,9E+09,9E+09,9E+09,9E+09,9E+09]];
CONST robtarget towall2_2:=[[1147.954,371.869,1809.932],[0,0,0.707106781,0.707106781],[-1,0,0,0],[9E+09,9E+09,9E+09,9E+09,9E+09,9E+09]];
CONST robtarget towallpic1:=[[520,577.5,1942.7],[0,0,0.707106781,0.707106781],[0,0,1,0],[9E+09,9E+09,9E+09,9E+09,9E+09,9E+09]];

```

```
! Sockets definition
```

```

VAR socketdev tempSocket;
VAR socketdev clientSocket;
VAR string receivedString;

```

```
!receiveCoordinates variables
```

```
!Position in the string
```

```

VAR num xSpos;
VAR num ySpos;
VAR num zSpos;
VAR num angleXSpos;
VAR num angleYSpos;
VAR num angleZSpos;
VAR num turnSpos;
VAR num numbPlateSpos;

```

```
! Variables for reading coordinates
```

```

VAR String xNew;
VAR String yNew;
VAR String zNew;
VAR String angleXNew;
VAR String angleYNew;
VAR String angleZNew;
VAR String turnNew;
VAR String numbPlateNew;

```

```
! String to number conversation variables
```

```

VAR bool xBool;
VAR num xPlate;
VAR bool yBool;
Var num yPlate;
VAR bool zBool;
VAR num zPlate;
VAR bool angleXBool;
VAR num angleXPlate;
VAR bool angleYBool;

```

```

VAR num    angleYPlate;
VAR bool   angleZBool;
VAR num    angleZPlate;
VAR bool   turnBool;
VAR num    turnPlateVar;
VAR bool   numbPlateBool;
VAR num    numbPlate;
VAR orient  plateOrient;

Var robtarget MyPosition;
Var num myX;
Var num myY;
Var num myZ;
Var num angleX;
Var num angleY;
Var num angleZ;
VAR String sendCoord;

VAR bool WallposBool;

TASK PERS tooldata tool2:=[TRUE,[[175.571,192.008,171.473],
[0.484497,0.713501,-0.505915,-0.0151802]], [10,[0,0,0],[1,0,0,0],0,0,0]];
TASK PERS tooldata tool2911:=[TRUE,[[168.438,7.1398,159.578],[1,0,0,0]], [1,[0,0,0],
[1,0,0,0],0,0,0]];

PROC platehandler_main ()
!=====initialize=====
DeActUnit M7DM1;           ! disconests the external axis
TPERase;                   ! used to clear the display of the FlexPendant.
TCPCreateConnection;      ! Connects the TCP/IP connection
TPWrite "Connected to Beckhoff CX2040";
WaitTime (1);
!=====Main-program=====

WHILE NOT receivedString = "Stop" DO
MsgReceive ;               ! Wait for message from client

!Picture position small pallet
IF receivedString = "Home" THEN
SocketSend clientSocket\Str:=receivedString;
home1;
WaitTime (1);
SocketSend clientSocket\Str:=receivedString;
receivedString:="";
ENDIF

!Picture position small pallet
IF receivedString = "Go to small pallet" THEN
SocketSend clientSocket\Str:=receivedString;
hometosmall;
WaitTime (1);

```

```

    SocketSend clientSocket\Str:=receivedString;
    receivedString:="";
ENDIF

!Picture position 2 big pallet
IF receivedString = "Go to big pallet" THEN
    SocketSend clientSocket\Str:=receivedString;
    hometobig;
    WaitTime (1);
    SocketSend clientSocket\Str:=receivedString;
    WallposBool := FALSE;
    receivedString:="";
ENDIF

!Pick plate
IF receivedString = "Pick plate" THEN
    SocketSend clientSocket\Str:=receivedString;
    pickPlate;
    WaitTime (1);
    SocketSend clientSocket\Str:=receivedString;
    receivedString:="";
ENDIF

!Wall
IF receivedString = "Wall" THEN
    SocketSend clientSocket\Str:=receivedString;
    toWall1;
    WaitTime (1);
    SocketSend clientSocket\Str:=receivedString;
    WallposBool := TRUE;
    receivedString:="";
ENDIF

!Wall Away
IF receivedString = "Wall away" THEN
    SocketSend clientSocket\Str:=receivedString;
    MoveL [[xPlate,yPlate-50,zPlate],plateOrient,[0,0,1,0],[9E+09,9E+09,9E+09,9E+09,9E+09,9E
+09]],v20,fine,Tool2911_modrot\WObj:=wobj0;
    WaitTime (1);
    SocketSend clientSocket\Str:=receivedString;
    receivedString:="";
ENDIF

! Home to turn, place plate on turn tool
IF receivedString = "Turn1" THEN
    SocketSend clientSocket\Str:="Turn1";
    hometoturn;
    WaitTime (1);
    receivedString:="";
    SocketSend clientSocket\Str:="Turn1";
ENDIF

! Dismount from plate and turns tool
IF receivedString = "Turn2" THEN
    SocketSend clientSocket\Str:="Turn2";
    turntoturn;
    WaitTime (1);

```

```

    receivedString:="";
    SocketSend clientSocket\Str:="Turn2";
ENDIF

! Dismount from plate and turns tool
IF receivedString = "Turn3" THEN
    SocketSend clientSocket\Str:="Turn3";
    turntoturn2;
    WaitTime (1);
    receivedString:="";
    SocketSend clientSocket\Str:="Turn3";
ENDIF

! Coordinats fom client
IF receivedString = "Coordinates" THEN
    SocketSend clientSocket\Str:="Coordinates";
    WaitTime(1);
    SocketSend clientSocket\Str:="Coordinates";
    receiveCoordinates;
    WaitTime (1);
    SocketSend clientSocket\Str:=receivedString;
    WaitTime (1);
    SocketSend clientSocket\Str:=receivedString;
    receivedString:="";
ENDIF

IF receivedString = "Robot position" THEN
    SocketSend clientSocket\Str:=receivedString;
    WaitTime(1);
    sendcoordinats;
    WaitTime(1);
    receivedString:="";
ENDIF

ENDWHILE

! Stop sequence
WHILE receivedString = "Stop" DO
    SocketSend clientSocket\Str:="Stop";
    StopMove ;
    SocketSend clientSocket\Str:="Stop";
    TCPShutdown ;
    WaitTime (1);
    receivedString:="";
    RETURN ;
ENDWHILE
!=====Main-END=====
ENDPROC

PROC TCPCreateConnection()
    ! setup socket
    SocketCreate tempSocket;
    SocketBind tempSocket,"192.168.1.4",5000;
    SocketListen tempSocket;

```

```

! Waiting for a connection request
SocketAccept tempSocket,clientSocket\Time:=WAIT_MAX;

! Communication
!SocketSend clientSocket\Str:="Connected";

ENDPROC

PROC msgReceive()
receivedString:="";
SocketReceive clientSocket\Str:=receivedString\Time:=WAIT_MAX;
TPWrite receivedString;

ENDPROC

PROC TCPShutdown()
! Close sockets
TPWrite "Client wrote - "+receivedString;
receivedString:="";
SocketSend clientSocket\Str:="Shutdown";
WaitTime 5;
SocketClose clientSocket;
SocketClose tempSocket;
ENDPROC

PROC TCPManualShutdown()
SocketClose clientSocket;
SocketClose tempSocket;
ENDPROC

PROC receiveCoordinates()

receivedString:="";
SocketReceive clientSocket\Str:=receivedString\Time:=WAIT_MAX;
!Find start and endpoint in xyz-string
xSpos:=StrFind(receivedString,1,"x");
ySpos:=StrFind(receivedString,1,"y");
zSpos:=StrFind(receivedString,1,"z");
angleXSpos:=StrFind(receivedString,1,"a");
angleYSpos:=StrFind(receivedString,1,"b");
angleZSpos:=StrFind(receivedString,1,"c");
turnSpos:=StrFind(receivedString,1,"t");
numbPlateSpos:=StrFind(receivedString,1,"n");
!found_ack:=StrFind(receivedString,1,"q");

!Finds xyz in string
xNew:=strPart(receivedString,(xSpos+1),(ySpos-xSpos-1));
yNew:=strPart(receivedString,(ySpos+1),(zSpos-ySpos-1));
zNew:=strPart(receivedString,(zSpos+1),(angleXSpos-zSpos-1));
angleXNew:=strPart(receivedString,(angleXSpos+1),(angleYSpos-angleXSpos-1));
angleYNew:=strPart(receivedString,(angleYSpos+1),(angleZSpos-angleYSpos-1));
angleZNew:=strPart(receivedString,(angleZSpos+1),(turnSpos-angleZSpos-1));
turnNew:=strpart(receivedString,(turnSpos+1),(numbPlateSpos-turnSpos-1));
numbPlateNew:=strpart(receivedString,(numbPlateSpos+1),1);
!ack:=strpart(received_string,(found_ack+1),1);

!convets string to num

```

```

xBool:=StrToVal(xnew,xPlate);
TPWrite "X= "\Num:=xPlate;
yBool:=StrToVal(yNew,yPlate);
TPWrite "Y= "\Num:=yPlate;
zBool:=StrToVal(znew,zPlate);
TPWrite "Z= "\Num:=zPlate;

angelZBool:=StrToVal(angleZNew,angleZPlate);
TPWrite "AngleZ= "\Num:=angleZPlate;
angelYBool:=StrToVal(angleYNew,angleYPlate);
TPWrite "AngleY= "\Num:=angleYPlate;
angelXBool:=StrToVal(angleXNew,angleXPlate);
TPWrite "AngleX= "\Num:=angleXPlate;

turnBool:=StrToVal(turnNew,turnPlateVar);
TPWrite "Turn= "\Num:=turnPlateVar;
numbPlateBool:=StrToVal(numbPlateNew,numbPlate);
TPWrite "Number of plates= "\Num:=numbPlate;
!ok_ack:=StrToVal(ack,plate_ack);
!TPWrite "ack = "\Num:=plate_ack;

!z_distance := Cpos (\Tool:=NewToolpoint\WObj:=Pallet);
!z_distance:=410-plate_z;
!orientation of plate
plateOrient:=OrientZYX(angleZPlate,angleYPlate,angleXPlate);
!received_string:="";

```

ENDPROC

PROC pickPlate()

```

DeActUnit M7DM1;
IF WallposBool = FALSE THEN
    MoveL [[xPlate,yPlate,zPlate+100],plateOrient,[-1,1,-2,0],[9E+09,9E+09,9E+09,9E+09,9E+09,9E+09],v200,fine,Tool2911_modrot\WObj:=wobj0;
    MoveL [[xPlate,yPlate,zPlate],plateOrient,[-1,1,-2,0],[9E+09,9E+09,9E+09,9E+09,9E+09,9E+09],v20,fine,Tool2911_modrot\WObj:=wobj0;
ELSEIF WallposBool = True THEN
    MoveL [[xPlate,yPlate-50,zPlate],plateOrient,[0,0,1,0],[9E+09,9E+09,9E+09,9E+09,9E+09,9E+09],v200,fine,Tool2911_modrot\WObj:=wobj0;
    MoveL [[xPlate,yPlate,zPlate],plateOrient,[0,0,1,0],[9E+09,9E+09,9E+09,9E+09,9E+09,9E+09],v20,fine,Tool2911_modrot\WObj:=wobj0;
ENDIF

```

ENDPROC

! Kan slettes seiner

PROC home1()

```

DeActUnit M7DM1;
MoveJ homehome,v500,fine,Tool2911_modrot\WObj:=wobj0;

```

ENDPROC

PROC hometosmall()

```

DeActUnit M7DM1;
!MoveJ homehome,v100,fine,Tooldata_2011\WObj:=wobj0;
!MoveL p1,v100,fine,Tooldata_2011\WObj:=Small_pallet;
MoveJ p2,v500,fine,Tool2911_modrot\WObj:=Small_pallet;
IF numbPlate = 1 THEN
    MoveL pSmallBottom,v200,fine,Tool2911_modrot\WObj:=Small_pallet;

```

```

ELSEIF numbPlate = 2 THEN
    MoveL pSmallBottom_2,v200,fine,Tool2911_modrot\WObj:=Small_pallet;
ELSEIF numbPlate = 3 THEN
    MoveL pSmallBottom_3,v200,fine,Tool2911_modrot\WObj:=Small_pallet;
ELSEIF numbPlate = 4 THEN
    MoveL pSmallBottom_4,v200,fine,Tool2911_modrot\WObj:=Small_pallet;
ELSEIF numbPlate = 5 THEN
    MoveL pSmallBottom_5,v200,fine,Tool2911_modrot\WObj:=Small_pallet;
ELSEIF numbPlate = 6 THEN
    MoveL pSmallBottom_6,v200,fine,Tool2911_modrot\WObj:=Small_pallet;
ELSEIF numbPlate = 7 THEN
    MoveL pSmallBottom_7,v200,fine,Tool2911_modrot\WObj:=Small_pallet;
ELSEIF numbPlate = 8 THEN
    MoveL pSmallBottom_8,v200,fine,Tool2911_modrot\WObj:=Small_pallet;
ELSEIF numbPlate = 9 THEN
    MoveL pSmallBottom_9,v200,fine,Tool2911_modrot\WObj:=Small_pallet;
ELSEIF numbPlate = 10 THEN
    MoveL pSmallBottom_10,v200,fine,Tool2911_modrot\WObj:=Small_pallet;
ENDIF

```

ENDPROC

PROC sendcoordinats()

```

MyPosition := CRobt(\Tool:=Tool2911_modrot\Wobj:=wobj0);
myX := MyPosition.trans.x;
myY := MyPosition.trans.y;
myZ := MyPosition.trans.z;
angleX := EulerZYX(\X, MyPosition.rot);
angleY := EulerZYX(\Y, MyPosition.rot);
angleZ := EulerZYX(\Z, MyPosition.rot);
TPWrite "My xPos= "\Num:=myX;
TPWrite "My yPos= "\Num:=myY;
TPWrite "My zPos= "\Num:=myZ;
TPWrite "My zAngle= "\Num:=angleZ;
TPWrite "My yAngle= "\Num:=angleY;
TPWrite "My xAngle= "\Num:=angleX;
sendCoord := "x"+ NumToStr(myX,4)+ "y"+ NumToStr(myY,4)+"z"+NumToStr(myZ,4)+"ax"+NumToStr
(angleX,4)+"ay"+NumToStr(angleY,4)+"az"+NumToStr(angleZ,4) ;
!TPWrite "sendCoord= "+ sendCoord;
SocketSend clientSocket\Str:=sendCoord;

```

ENDPROC

PROC hometobig()

```

DeActUnit M7DM1;
!MoveJ homehome,v100,fine,Tooldata_2011\WObj:=wobj0;
MoveJ p3,v500,fine,Tool2911_modrot\WObj:=Big_pallet;
MoveL p4,v300,fine,Tool2911_modrot\WObj:=Big_pallet;
!MoveL p5,v100,fine,Tooldata_2011\WObj:=Big_pallet;

```

ENDPROC

PROC hometoturn()

```

DeActUnit M7DM1;
MoveJ homehome,v100,fine,Tooldata_2011\WObj:=wobj0;
MoveL p6,v100,fine,Tooldata_2011\WObj:=Turntool;
MoveL p7,v100,fine,Tooldata_2011\WObj:=Turntool;
MoveL p8,v100,fine,Tooldata_2011\WObj:=Turntool;
MoveL p9,v100,fine,Tooldata_2011\WObj:=Turntool;

```


ENDPROC

PROC turntoturn()

```
DeActUnit M7DM1;  
MoveL p8,v100,fine,Tooldata_2011\WObj:=Turntool;  
MoveL p7,v100,fine,Tooldata_2011\WObj:=Turntool;  
MoveL p6,v100,fine,Tooldata_2011\WObj:=Turntool;  
MoveJ p10,v100,fine,Tooldata_2011\WObj:=Turntool;  
MoveL p11,v100,fine,Tooldata_2011\WObj:=Turntool;  
MoveL p12,v100,fine,Tooldata_2011\WObj:=Turntool;  
MoveL p13,v100,fine,Tooldata_2011\WObj:=Turntool;  
MoveL p14,v100,fine,Tooldata_2011\WObj:=Turntool;  
MoveL p15,v100,fine,Tooldata_2011\WObj:=Turntool;
```

ENDPROC

PROC turntoturn2()

```
DeActUnit M7DM1;  
MoveL p16,v100,fine,Tooldata_2011\WObj:=Turntool;  
MoveL p17,v100,fine,Tooldata_2011\WObj:=Turntool;  
MoveJ wall1,v100,fine,Tooldata_2011\WObj:=Wall;
```

ENDPROC

PROC toWall1()

```
DeActUnit M7DM1;  
MoveJ towall,v500,fine,Tool2911_modrot\WObj:=wobj0;  
MoveJ towall2_2,v500,fine,Tool2911_modrot\WObj:=wobj0;  
MoveL towallpic1,v500,fine,Tool2911_modrot\WObj:=wobj0;
```

ENDPROC

ENDMODULE

Arduino kode

Avstandsmåling med VL53L0X sensor
Kommunikasjon med UDP

```
#include <Ethernet.h> //Load Ethernet Library
#include <EthernetUdp.h> //Load UDP Library
#include <SPI.h> //Load the SPI Library

byte mac[] = { 0xDE, 0xAD, 0xBE, 0xEF, 0xFE, 0xEE}; //Assign a mac address
IPAddress ip(192, 168, 1, 3); //Assign my IP adress
unsigned int localPort = 5000; //Assign a Port to talk over
char packetBuffer[UDP_TX_PACKET_MAX_SIZE];
String datReq; //String for our data
int packetSize; //Size of Packet
EthernetUDP Udp; //Define UDP Object

#include <Wire.h>
#include <VL53L0X.h>
VL53L0X sensor;

void setup() {

  Serial.begin(9600); //Turn on Serial Port
  Ethernet.begin(mac, ip); //Initialize Ethernet
  Udp.begin(localPort); //Initialize Udp
  delay(1500); //delay
  Wire.begin();
  sensor.init();
  sensor.setTimeout(500);
  // Start continuous back-to-back mode (take readings as fast as possible). To use
  // continuous timed mode instead, provide a desired inter-measurement period in
  // ms (e.g. sensor.startContinuous(100)).
  sensor.startContinuous();
}

void loop() {
  packetSize = Udp.parsePacket(); //Read the packetSize

  if (packetSize > 0) { //Check to see if a request is present

    Udp.read(packetBuffer, UDP_TX_PACKET_MAX_SIZE); //Reading the data request on the Udp
    String datReq(packetBuffer); //Convert packetBuffer array to string datReq

    if (datReq == "zpos") { //See if Red was requested

      Udp.beginPacket(Udp.remoteIP(), Udp.remotePort()); //Initialize Packet send
      Udp.print(sensor.readRangeContinuousMillimeters()); //Send string back to client
      if (sensor.timeoutOccurred()) {
        Udp.print(" TIMEOUT");
      }
      Udp.endPacket(); //Packet has been sent
    }
  }
  memset(packetBuffer, 0, UDP_TX_PACKET_MAX_SIZE);
}
```